

530.182

САМООРГАНИЗАЦИЯ В АКТИВНЫХ РАСПРЕДЕЛЕННЫХ СРЕДАХ

(Сценарии спонтанного образования и эволюции диссипативных структур)

Б. С. Кернер, В. В. Осипов

СОДЕРЖАНИЕ

Введение	2
1. Теория диссипативных структур (ДС) малой амплитуды. 2. Теория ДС большой амплитуды в активных распределенных средах. 3. Динамическая перестройка ДС. 4. Самоорганизация и автосолитоны. 5. Турбулентность и автосолитоны.	
1. Структуры вблизи точки расслоения однородного состояния	5
1.1. Неустойчивость Тьюринга. 1.2. Условия расслоения активных систем с «перекрестной» диффузией. 1.3. Классификация активных распределенных сред. 1.4. Диссипативные структуры малой амплитуды. 1.5. Кинетика образования одномерных ДС — страт.	
2. Эффекты, определяющие перестройку страт	16
2.1. Локальный пробой в стратах. 2.2. «Перекачка» активатора между стратами. 2.3. Гофрировка стенок и дробление страт.	
3. Сценарии самоорганизации в идеально однородных одномерных системах	23
3.1. Эволюция широких страт. 3.2. Эволюция узких пиковых страт.	
4. Сценарии самоорганизации в реальных одномерных системах	27
4.1. Спонтанное образование и эволюция автосолитонов. 4.2. Эволюция страт. 4.3. Экспериментальные результаты.	
5. Самоорганизация в дву- и трехмерных системах	31
5.1. О форме и эволюции ДС в идеально однородных системах. 5.2. Эволюция узких пиковых ДС. 5.3. Сценарии самоорганизации в реальных системах. 5.4. Самодостройка ДС при локальном возбуждении среды.	
6. Особенности самоорганизации в бистабильных (триггерных) системах	36
7. Активные среды с разделенными по пространству областями активации и ингибирования	37
7.1. Светящиеся нити лавинного тока в р—п-структурах. 7.2. Многошнуровые состояния в полупроводниковой пленке с перегревной неустойчивостью. 7.3. «Горячие пятна» в транзисторных структурах. 7.4. Структуры со «скрытой» S- или N-образной вольт-амперной характеристикой (ВАХ).	
8. Активные системы с «перекрестной» диффузией	44
8.1. Термодиффузионные ДС в электронно-дырочной плазме (ЭДП). 8.2. Многодоменные состояния в полупроводниках с однозначной ВАХ. 8.3. Многошнуровые состояния в «плотной» ЭДП. 8.4. «Горячие пятна» в полупроводниковой пленке. 8.5. ДС в химических реакциях с «перекрестной» диффузией.	

9. Турбулентность в активных распределенных средах	47
9.1. Условия возникновения и сценарии развития турбулентности. 9.2. Турбулентность в электронно-дырочной плазме.	
10. Системы с конвективными потоками	49
11. О спонтанном образовании и эволюции пульсирующих ДС и автоволн	50
12. Параметры и устойчивость периодических страт	52
12.1. Построение формы страт. 12.2. Условия локального пробоя в стратах.	
12.3. Страты малого периода. 12.4 Устойчивость страт.	
Заключение	66
Список основных аббревиатур и обозначений	67
Примечания к тексту	67
Список литературы	69

Введение. К наиболее ярким явлениям нелинейной физики относится спонтанное или вынужденное образование пространственно неоднородных состояний в неравновесных системах (см., например [1—25]). Такие состояния сейчас принято называть диссипативными структурами (ДС) или автоструктурами ⁽¹⁾. При изменении уровня возбуждения вид ДС плавно или скачкообразно меняется. Спонтанное образование и эволюцию ДС Пригожин предложил называть самоорганизацией ⁽²⁾. Самоорганизация связана с проявлением коллективных (кооперативных) эффектов, реализующихся в неравновесных системах. Хакен предложил называть эту область науки синергетикой [5, 6].

Классическим примером образования и эволюции ДС являются страты в газовом разряде [14]. Образование ионизационных страт, по-видимому, наблюдал еще Фарадей в XIX в. [146]. Другим классическим примером самоорганизации является образование и эволюция ячеек Бенара, возникающих в подогреваемой снизу вязкой жидкости [3, 4]. Самоорганизация наблюдается во многих неравновесных системах совершенно различной природы, в том числе гидродинамических [2], химических и биологических [3—8, 10—12, 16, 17], в полупроводниковой плазме [31, 32], при распространении фронта пламени [13, 20], в полупроводниковых [33—35] и газоразрядных структурах [14, 15, 36, 37], композитных сверхпроводниках [19, 38], при плавлении и кристаллизации твердых тел [39], в химических реакциях, протекающих на их поверхности [40], а также в нелинейных оптических средах [41].

В идеально однородных распределенных средах спонтанное образование ДС обусловлено расслоением их однородного состояния, т. е. нарастанием флуктуаций с некоторым выделенным волновым числом $k_0 \neq 0$. В рассматриваемых в данном обзоре активных распределенных средах расслоение связано с тем, что в них по одному из параметров — активатору — осуществляется положительная обратная связь, приводящая к нарастанию активатора. Процесс нарастания активатора контролируется другим параметром системы — ингибитором, по которому осуществляется отрицательная обратная связь ⁽³⁾. Естественно, что в различных физических, химических и биологических активных системах, как процессы активации, так и ингибирования, имеют совершенно различную природу (см. разделы 1, 7, 8).

Стационарные ДС обычно образуются в активных распределенных средах, в которых процесс ингибирования по сравнению с активацией является более дальнедействующим [3, 5, 8, 11, 12]. Иными словами, характерная длина изменения ингибитора L в них намного превышает характерную длину изменения активатора l . Расслоение однородного состояния связано с тем, что благодаря $L \gg l$ ингибитор не может эффективно подавлять локальные нарастания активатора в области размера $d \approx (lL)^{1/2}$ (п. 1.1).

На возможность расслоения фронта пламени по существу за счет того, что $L \gg l$, еще в 1944 г. обратил внимание Зельдович [43]. В 1952 г. условие расслоения однородного состояния проанализировал Тьюринг

на основе аксиоматической модели морфогенеза [44]. Из анализа этой модели следует общий вывод о том, что условие расслоения выполняется тем легче, чем меньше величина $\varepsilon = l/L$ (п. 1.1). В дальнейшем стало ясно, что именно с короткодействующим процессом активации и далекодействующим процессом ингибиции, т. е. с условием $l \ll L$, связано образование ДС в широком классе активных распределенных сред, в том числе в газовом разряде [45, 46], в ряде химических и биологических систем [3, 5, 8, 11, 12], в разогретой полупроводниковой и газовой плазме [47—51], в однородных полупроводниках и полупроводниковых структурах (транзисторных, $p-n$, $p-i-n$ и др.) [33б, 34, 35, 52—58], в неравновесной смеси газов [59—61], в F-слое атмосферы [62].

К настоящему времени развиты различные подходы к анализу эволюции ДС малой амплитуды, которые при определенных условиях (п. 1.4) могут образовываться вблизи точки расслоения однородного состояния системы. Цель этих подходов состоит в том, чтобы, используя малость амплитуды ДС, получить более простые (по сравнению с исходными) уравнения, описывающие процессы самоорганизации.

1. Теория диссипативных структур (ДС) малой амплитуды. Еще в 1944 г. Ландау обосновал уравнение, описывающее возникновение ДС малой амплитуды в движущейся вязкой жидкости при числах Рейнольдса, близких к критическому [1]. В дальнейшем упрощенные уравнения для описания свойств малоамплитудных ДС в разных системах, в том числе и в гидродинамических, выведены многими авторами, в том числе Курамото и Цудзуки [63], Нитзаном и Ортолевой [64], Сивашинским [13], Ньюэлом и Уайтхедом [65], Зегелем [66], Сиджией и Циппелиусом [67], Свифтом и Хоэнбергом [68], Гербергом и Сивашинским [69], Маломедом [70]. Хакен предложил метод, позволяющий за счет определенного выбора «параметра порядка» системы и использования «принципа подчинения» затухающих мод выводить уравнения эволюции «параметров порядка» — так называемые обобщенные уравнения Гинзбурга — Ландау [5, 6]. Из анализа этих и многих других уравнений, описывающих ДС малой амплитуды, следует, что образование и эволюция ДС связана с их флуктуационной перестройкой, т. е. с нарастанием определенного вида флуктуаций при некоторых критических уровнях возбуждения системы. Иными словами, флуктуациям отводится решающая роль в выборе одного из возможных устойчивых состояний системы [3—9] — «к упорядоченности через флуктуации» [3]. Картина самоорганизации, основанная на анализе различных уравнений, описывающих ДС малой амплитуды, изложена в монографиях Николиса и Пригожина [3], Хакена [5, 6] и во многих обзорах (см., например [9, 13, 71—74]).

Как уже отмечалось, в основе методов, используемых для вывода уравнений, описывающих свойства ДС малой амплитуды, лежит предположение о том, что при уровнях возбуждения, близких к критическому, отвечающему точке расслоения однородного состояния $A = A_c$, амплитуда ДС мала в меру малости надкритичности, т. е. величины $\beta = (A - A_c) \times \times A_c^{-1} \ll 1$ [1, 3, 5, 6, 9, 13, 63—74]. Вместе с тем это, казалось бы, естественное предположение часто оказывается неоправданным. Во многих реальных активных распределенных средах в результате расслоения их однородного состояния, т. е. уже в точке $A = A_c$, скачкообразно возникают ДС большой амплитуды, величина которой не зависит от малости надкритичности (величины β), а определяется нелинейностями системы. Этот эффект непосредственно связан с далекодействующим характером процесса ингибиции по сравнению с активацией, т. е. с малостью величины $\varepsilon = l/L$. Скачкообразное возникновение ДС большой амплитуды в точке $A = A_c$ связано с тем, что благодаря $L \gg l$ при расслоении прсисходит

лавинообразное нарастание активатора в некоторых областях системы размера $d \approx (lL)^{1/2} \ll L$. При этом в некоторых системах амплитуда образующихся ДС оказывается тем больше, чем меньше величина $\varepsilon = l/L$ (п. 1.5.2).

2. Теория ДС большой амплитуды в активных распределенных средах, в рамках которой изучена форма, устойчивость и эволюция различного вида ДС большой амплитуды, разработана в [75—77] авторами данного обзора. В этой теории не предполагается малость надкритичности, т. е. величины $\beta = (A - A_c)/A_c$, а используется малость отношения $\varepsilon = l/L$. Это позволяет проанализировать явления самоорганизации в активных системах при любых уровнях их возбуждения (разделы 2—6, 12). Из такого анализа, в частности, следует, что самоорганизация в реальных системах, как правило, происходит в результате не флуктуационной, а динамической перестройки ДС [78].

3. Динамическая перестройка ДС происходит благодаря тому, что при некоторых критических уровнях возбуждения системы исчезает решение, описывающее ДС данного вида (п. 12.2). Динамическая перестройка ДС не связана с наличием в системе флуктуаций, а происходит детерминировано в результате локального пробоя [78] в некоторых областях ДС (п. 2.1). Иными словами, флуктуации могут не играть существенной роли в выборе вида образующейся ДС. Наличие флуктуаций в реальных системах приводит к конечной вероятности возникновения локального пробоя, не доходя до соответствующих критических уровней возбуждения системы.

4. Самоорганизация и автосолитоны. В реальных системах образование ДС, как правило, не определяется расслоением состояния, близкого к однородному, а связано со спонтанным образованием автосолитонов (АС). АС представляют собой локализованные ДС в виде уединенных статических, пульсирующих или бегущих неравновесных областей. Теория и свойства АС рассмотрены нами в обзоре [25]. Спонтанное образование АС в реальных системах связано с локальным пробоем, который реализуется вблизи малых локальных неоднородностей [78, 79], всегда присутствующих в реальных системах (п. 4.1). Спонтанное образование АС и их последующая эволюция и определяет сценарии самоорганизации, наблюдаемые в эксперименте (раздел 4).

5. Турбулентность и автосолитоны. В активных распределенных средах даже в отсутствие течений (конвективных потоков) может возникать турбулентность в виде хаотических во времени и по пространству неоднородных колебаний. Такая турбулентность в одних системах может быть связана с взаимодействием автоволн, например, спиральных [7, 8, 10, 11, 17], а в других — со сложным характером взаимодействия статических или пульсирующих автосолитонов (в одномерном случае — страт) [80, 81]. В последнем случае картина турбулентности может представлять собой случайное исчезновение и зарождение АС в различных точках пространства [79, 82, 83] (раздел 9).

В последние годы явления самоорганизации были экспериментально изучены во многих физических системах. Так, были обнаружены и изучены ДС в виде: светящихся сгустков горячей электронно-дырочной плазмы (ЭДП) в GaAs [31]; термодиффузионных страт в фотогенерируемой разогретой ЭДП в Ge [84]; резистивных доменов в композитных сверхпроводниках [38]; светящихся многошнуровых нитей, образующихся при примесном пробое GaAs [32], лавинном пробое α -SiC p—n-переходов [34] и Si p—i—n-структур [35]; нитей тока в прямосме-

Однородное состояние моностабильных активных систем может спонтанно расслаиваться. Линеаризуя уравнения (1.1), (1.2) вблизи однородного состояния относительно флуктуаций $\delta\theta$, $\delta\eta \propto \exp(-\gamma t + i\mathbf{k}\mathbf{r})$, получим дисперсионное уравнение, из которого следует, что устойчивость нарушается ($\text{Re } \gamma < 0$), если выполнено одно из неравенств⁽⁴⁾

$$\tau_\eta(q'_\theta + k^2 l^2) + \tau_\theta(Q'_\eta + k^2 L^2) < 0, \quad (1.6)$$

$$k^4 l^2 L^2 + k^2 l^2 Q'_\eta + k^2 L^2 q'_\theta + q'_\theta Q'_\eta - q'_\eta Q'_\theta < 0. \quad (1.7)$$

Первое из них согласно (1.3) выполняется в системах с $\alpha = \tau_\theta/\tau_\eta \ll 1$ относительно флуктуаций с $k=0$ и выделенной частотой

$$\Omega \equiv \text{Im } \gamma = \omega_0 = (\tau_\theta \tau_\eta)^{-1/2} (q'_\theta Q'_\eta - q'_\eta Q'_\theta)^{1/2}. \quad (1.8)$$

Условие (1.7) вблизи порога его выполнения удовлетворяется для флуктуаций с $\text{Im } \gamma \equiv \omega = 0$ и с выделенными волновыми числами, близкими к⁽⁵⁾

$$k = k_0 = (lL)^{-1/2} (q'_\theta Q'_\eta - q'_\eta Q'_\theta)^{1/4}, \quad (1.9)$$

когда

$$q'_\theta < -\varepsilon^2 Q'_\eta - 2\varepsilon (q'_\theta Q'_\eta - q'_\eta Q'_\theta)^{1/2}. \quad (1.10)$$

Условие расслоения (1.10), т. е. неустойчивости однородного состояния системы относительно аperiodического нарастания флуктуаций с $k=k_0$, согласно (1.3) и (1.5) выполняется благодаря $q'_\theta < 0$ и тем легче, чем меньше величина $\varepsilon = l/L$.

Условие расслоения активных систем с диффузией было получено Тьюрингом [44] при анализе аксиоматической модели, объясняющей процесс формообразования (морфогенеза). Идеи Тьюринга послужили толчком к аналитическим и численным исследованиям различных аксиоматических моделей биологических и химических систем, описываемых уравнениями (1.1), (1.2) [3—8, 10—12, 17]. К ним, в частности, относятся классическая модель морфогенеза Гирера—Майнхарда [92, 93], для которой

$$q = \theta - B - A\theta^2\eta^{-1}, \quad Q = \eta - C\theta^2, \quad (1.11)$$

широко используемая модель, предложенная Брюссельской школой Пригожина (брюсселятор) [3], для которой

$$q = \theta - (B + \theta^2\eta)(1 + A)^{-1}, \quad Q = \eta\theta^2 - A\theta, \quad (1.12)$$

модель с «кубической нелинейностью» [116] типа⁽⁶⁾

$$q = \theta^3 - \theta - \eta, \quad Q = \theta + \eta + \frac{2}{3^{3/2}} - A. \quad (1.13)$$

Для этих моделей выполняются условия (1.3). Второе из условий (1.3) для модели (1.11) выполняется при $A > A_0 = CB$, для модели (1.12) — при $A > A_0 = 1$, а для модели (1.13) — в ограниченном диапазоне изменения управляющего параметра A : $A_0 < A < A'_0$; значения $A = A_0$ или $A = A'_0$ отвечают точкам, где $q'_\theta = 0$. В химических и биологических реакциях положительная обратная связь по активатору означает самопроизводство вещества активатора. Реальные процессы самопроизводства вещества и описывающие их уравнения чрезвычайно сложны и весьма дискуссионны [3—6, 76, 8, 11]. Уравнения (1.1), (1.2), в которых используются выражения (1.11)—(1.13), представляют собой простейшие аксиоматические модели таких реакций.

щенных легированных золотом Si p—i—n-структурах [33a]; светящихся нитей тока в различных структурах, содержащих газоразрядные слои [36, 37, 57], в том числе в структуре, содержащей высокоомный компенсированный полупроводник [85], а также в виде неоднородно светящейся картины в электронном аналоге модели активной распределенной среды с диффузией [86, 87]. В экспериментальных [31, 34, 36, 38, 57, 85—87], а также при аналитических [116, 17, 88—91] и численных исследованиях [86, 116, 17, 57, 92—113] были весьма детально изучена форма ДС ч их эволюция. Результаты этих исследований полностью согласуются с выводами, вытекающими из теории самоорганизации в активных распределенных средах, развитой в [75—78].

Рассмотрению этой весьма нетривиальной картины самоорганизации в активных распределенных средах различной природы и посвящен данный обзор. В нем основное внимание уделяется тем явлениям самоорганизации, которые не зависят от размера системы и условий на ее границах, а определяются объемными свойствами достаточно протяженной (хотя бы в одном из направлений) распределенной среды. Иными словами, такие простейшие явления самоорганизации, как образование и эволюция шнура тока или домена поля в системах с S-или N-образной ВАХ, в данном обзоре не рассматриваются, так как их свойства принципиально зависят от размера системы, условий на ее границах и параметров внешней цепи [21—24].

1. Структуры вблизи точки расслоения однородного состояния.

1.1. Неустойчивость Тьюринга. Во многих физических, химических и биологических распределенных средах дальное действие ингибитора и активатора определяется диффузионными процессами. Поэтому такие среды называются активными системами с диффузией [3, 7, 8, 11, 12, 25]. Свойства ДС в таких системах описываются уравнениями типа

$$\tau_\theta \frac{\partial \theta}{\partial t} = l^2 \Delta \theta - q(\theta, \eta, A), \quad (1.1)$$

$$\tau_\eta \frac{\partial \eta}{\partial t} = L^2 \Delta \eta - Q(\theta, \eta, A), \quad (1.2)$$

где θ и η — значения активатора и ингибитора, а τ_θ , τ_η и l , L — характерные времена и длины их изменения, A — управляющий (бифуркационный) параметр, в физических системах характеризующий уровень их возбуждения. Наличие отрицательной обратной связи по ингибитору и положительной по активатору θ формально означает, что в определенном диапазоне изменения A

$$Q'_\eta \equiv \frac{\partial Q}{\partial \eta} > 0, \quad \text{а} \quad q'_\theta \equiv \frac{\partial q}{\partial \theta} < 0. \quad (1.3)$$

При выполнении условий (1.3) из уравнений (1.1), (1.2) следует, что при $\theta = \text{const}$ флуктуации $\delta \eta$ затухают, а при $\eta = \text{const}$ — флуктуации $\delta \theta$ нарастают.

Однородное состояние системы ($\theta = \theta_h$ и $\eta = \eta_h$) согласно (1.1), (1.2) определяется из уравнений

$$q(\theta_h, \eta_h, A) = 0, \quad Q(\theta_h, \eta_h, A) = 0. \quad (1.4)$$

Самоорганизация может происходить в моностабильных активных системах, в которых зависимости $\eta_h(A)$ и $\theta_h(A)$ являются однозначными. Последнее согласно (1.3) и (1.4) справедливо, когда

$$q'_\theta Q'_\eta - q'_\eta Q'_\theta > 0. \quad (1.5)$$

Независимо развивались исследования процессов, приводящих к расслоению однородного состояния физических систем. Так, в 50—60-е годы была выяснена физическая причина расслоения газового разряда [14]. Оказалось, что расслоение газового разряда и образование в нем страт с общих позиций можно рассматривать [45] как следствие неустойчивости Тьюринга. Уравнения типа (1.1), (1.2) описывают ДС и во многих других реальных физических системах [25], в том числе «горячие пятна» в полупроводниковых структурах [52] (п. 7.2, 7.3), нити лавинного тока в p — n -переходах [34] (п. 7.1), p — i — n - и газоразрядных структурах [57, 112, 113], а также многонуровые или многодоменные состояния в различного рода композитных структурах со «скрытой» S -или N -образной вольт-амперной характеристикой (ВАХ), в том числе содержащих активный слой из полупроводника, сверхпроводника, материала с фазовым переходом металл — диэлектрик или другого типа (раздел 7).

Порог выполнения условия (1.10) при заданном значении ε определяет критический уровень возбуждения $A=A_c$, при котором реализуется расслоение однородного состояния системы. При $\varepsilon \rightarrow 0$ условие (1.10) совпадает со вторым из условий (1.3), т. е. выполняется при $A_c \rightarrow A_0$, при котором $q'_0 = 0$. Существует некоторое максимальное значение $\varepsilon = \varepsilon_m$, выше которого условие (1.10) не выполняется ни при каких значениях параметра A (рис. 1, а, б). Для модели (1.11) из (1.10) следует, что связь между A_c и ε определяется соотношением [115]

$$A_c = (1 + \varepsilon)^2 (1 - 2\varepsilon - \varepsilon^2)^{-1} A_0 \quad (A_0 = CB) \quad (1.14)$$

и имеет вид, изображенный на рис. 1, а. Из (1.14) видно, что при $\varepsilon > \varepsilon_m = \sqrt{2} - 1 \approx 0,41$ условие расслоения Тьюринга (1.10) не реализуется. Для модели (1.12) связь ε с A_c определяется уравнением

$$\varepsilon = (A_c^{1/2} - 1)(1 + A_c)^{-1/2} B^{-1} \quad (1.15)$$

и совпадает с изображенной на рис. 1, а. Из (1.15) следует, что величина $\varepsilon_m = B^{-1}$. Для модели (1.13) связь между ε и A имеет вид, изображенный на рис. 1, б. Зависимости ε от A (рис. 1, а, б), установленные для моделей (1.11) — (1.13), являются характерными для всего класса моностабильных активных систем.

1.2. Условия расслоения активных систем с «перекрестной» диффузией. В п. 1.1 рассматривались активные системы с диффузией, описываемые уравнениями (1.1) и (1.2), в которых положительная обратная связь по активатору, приводящая к расслоению, определяется нелинейностями системы, т. е. видом функции $q(\theta, \eta)$ в (1.1). В более общем случае активные распределенные среды описываются уравнениями типа

$$\frac{\partial X_i}{\partial t} = \sum_{j=1}^N \nabla (D_{ij} \nabla X_j) - g_i(X_1, \dots, X_i, \dots, X_N, A), \quad (1.16)$$

где X_i — концентрации химических веществ, частиц газа, электронов, дырок или ионов, температура и т. п. [3, 5, 8, 17, 25]. Особый класс составляют физические [47, 59, 60, 61, 62, 75, 76] и химические [86, 108, 116] активные системы, в которых расслоение определяется диффузионными процессами, точнее зависимостью перекрестных коэффициентов диффузии D_{ij} с $i \neq j$ от параметров системы X_i .

Примерами таких систем с «перекрестной» диффузией являются разогретые электромагнитным излучением или электрическим полем газовая и электронно-дырочная плазма (ЭДП) в полупроводниках [47—

51]. Распределение концентрации горячих электронов n и их эффективной температуры T описываются уравнениями баланса числа частиц

$$\frac{\partial n}{\partial t} = -\operatorname{div} \mathbf{j}_e + G - n\tau_r^{-1} \quad (1.17)$$

и их средней энергии

$$\frac{3}{2} \frac{\partial nT}{\partial t} = -\operatorname{div} \mathbf{j}_e + W_j - P, \quad (1.18)$$

в которых \mathbf{j}_e и \mathbf{j}_e — плотности потоков частиц и их энергии; G и τ_r — скорость генерации и время жизни электронов; W_j — мощность, поступающая к электронам от внешнего источника; $P = n(T - T_l)\tau_e^{-1}$ — мощность,

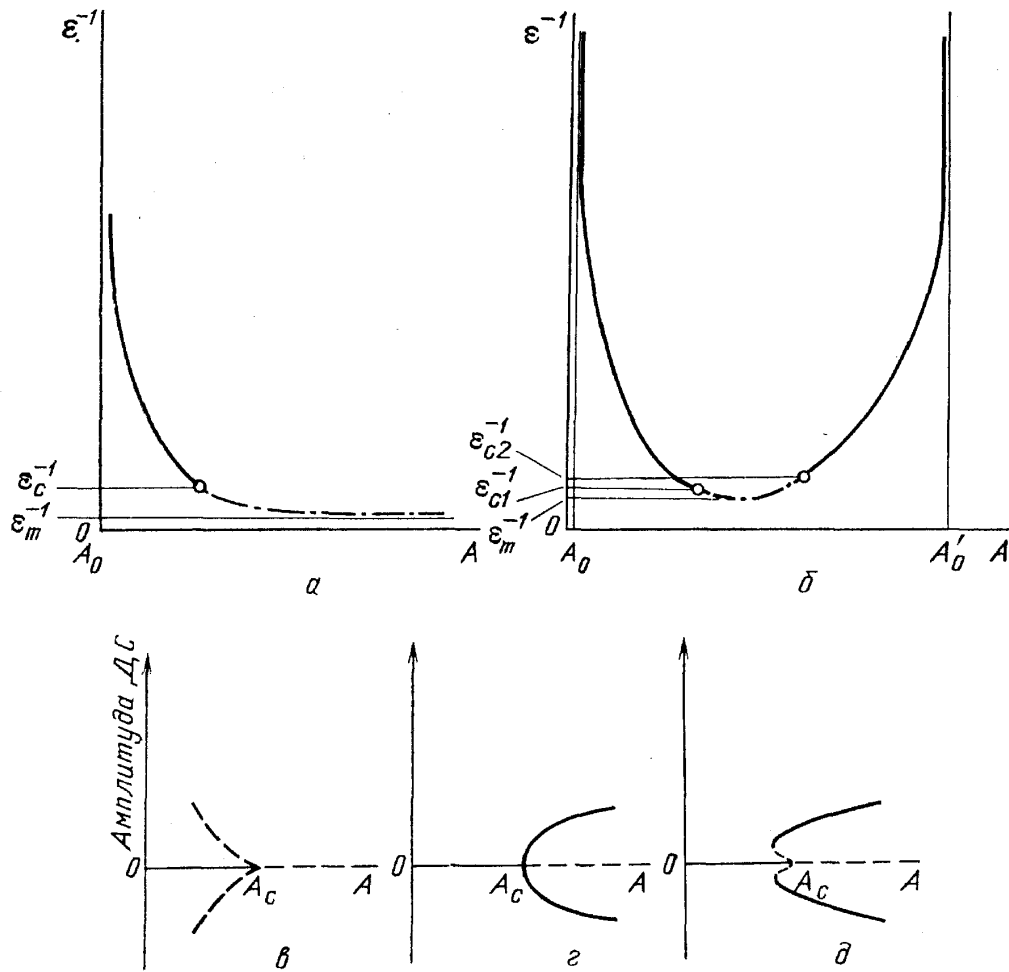


Рис. 1. Зависимости критического уровня возбуждения ($A=A_c$) от величины $\varepsilon=l/L$ (а, б) и вид бифуркационных диаграмм (в—д), а — для V- и Λ-систем, б — для N- и И-систем. Сплошные участки кривых на рис. а, б отвечают докритическому ветвлению решений (в), реализующемуся при $\varepsilon < \varepsilon_c$, штрихпунктирные — закритическому ветвлению решений (г), реализующемуся при $\varepsilon > \varepsilon_c$. Диаграмма на рис. д отвечает значениям ε близким к ε_c , но $\varepsilon < \varepsilon_c$ (соответствующие малые области символически показаны кружками на рис. а, б). На рис. в—д штриховой линией изображены участки кривых, отвечающие неустойчивым состояниям

отводимая от электронов в решетку или к атомам газа; τ_e — характерное время релаксации энергии электронов, T_l — температура решетки полупроводника или атомов газа. Подчеркнем, что уравнения (1.17), (1.18) можно строго получить из кинетического уравнения Больцмана [117—119].

Для пояснения физики расслоения однородного состояния систем с «перекрестной» диффузией рассмотрим симметричную ЭДП, в которой

параметры электронов и дырок совпадают. В этом случае [47, 51]

$$\mathbf{j}_e = -\nabla(nD(T)) = -D\nabla n - (1 + \alpha)DnT^{-1}\nabla T, \quad (1.19)$$

$$\mathbf{j}_e = -\left(\frac{5}{2} + \alpha\right)\nabla(TnD(T)) = -\left(\frac{5}{2} + \alpha\right)[TD\nabla n + (2 + \alpha)Dn\nabla T], \quad (1.20)$$

где $D(T) \propto T^{1+\alpha}$, D — коэффициент диффузии электронов и дырок. Используя (1.19), (1.20), запишем уравнения (1.17), (1.18) в виде⁽⁷⁾ [76]

$$\tau_r \frac{\partial n}{\partial t} = L^2 \Delta \frac{nD(T)}{D^0} + G\tau_r - n, \quad (1.21)$$

$$\frac{3}{2} \tau_e^0 \frac{\partial nT}{\partial t} = l^2 \Delta \frac{TnD(T)}{D^0} + W_j \tau_e^0 - n(T - T_l) \frac{\tau_e^0}{\tau_e(T)}, \quad (1.22)$$

где $D^0 = D(T_l)$, $\tau_e^0 = \tau_e(T_l)$, $L = (D^0 \tau_r)^{1/2}$ — диффузионная длина носителей, $l = [(5/2 + \alpha) D^0 \tau_e^0]^{1/2}$ — длина релаксации энергии горячих носителей. В случае, когда G и $\tau_r = \text{const}$, а W_j не зависит от n и T (см. п. 8.1), однородное состояние ЭДП, как следует из (1.21) и (1.22), определяется из уравнений

$$n = n_h = G\tau_r, \quad T = T_h = T_l + W_j \tau_e (G\tau_r)^{-1}, \quad (1.23)$$

т. е. является единственным. Это связано с тем, что в полупроводниках τ_e не может возрасти сильнее, чем $T^{1/2}$, т. е. $s = \partial \ln \tau_e / \partial \ln T \leq 1/2$ [21]. Линеаризуя уравнения (1.21), (1.22) относительно флуктуаций δn , $\delta T \propto \exp(-\gamma t + i\mathbf{k}\mathbf{r})$, получим дисперсионное уравнение [47]

$$\begin{aligned} & \gamma^2 \cdot \frac{3}{2} \tau_r \tau_e - \gamma \left[k^2 L^2 \tau_e (5 + 3\alpha + \alpha^2) + \right. \\ & \left. + \frac{3\tau_e}{2} + \tau_r \left(1 - s + s \frac{T_l}{T} \right) \right] + k^4 l^2 L^2 + \\ & \left. + k^2 \left\{ L^2 \left[(1 + \alpha + s) \frac{T_l}{T} - (\alpha + s) \right] + l^2 (2 + \alpha) \right\} + s \frac{T_l}{T} + 1 - s = 0. \right. \end{aligned} \quad (1.24)$$

Из (1.24) следует, что относительно однородных флуктуаций (с $k=0$) ЭДП устойчива. Это означает, что в отличие от систем, рассмотренных в п. 1.1, в данном случае без учета пространственных производных в уравнениях (1.21), (1.22) неустойчивость не возникает.

Вместе с тем однородное состояние ЭДП может расслаиваться благодаря тому, что в полупроводниках, как правило, $\varepsilon = l/L \approx (\tau_e/\tau_r)^{1/2} \ll 1$. Из (1.24) следует, что неустойчивость реализуется⁽⁸⁾ при $\alpha + s > 0$ относительно аperiodического нарастания флуктуаций с $k = k_0 \approx (lL)^{-1/2}$, когда $T > T_l(1 + \alpha + s)(\alpha + s)^{-1}$. Расслоение ЭДП связано с наличием в уравнении (1.21) члена, отвечающего последнему слагаемому в (1.19), которое описывает «перекрестную» диффузию, точнее влияние распределения температуры носителей на распределение их концентрации. Более подробно физика расслоения ЭДП рассмотрена в [47, 76].

Таким образом, механизм расслоения однородного состояния систем с «перекрестной» диффузией принципиально отличается от механизма расслоения Тьюринга в активных системах с диффузией (п. 1.1). Вместе с тем, формально их можно описать на едином языке, используя понятия активатора и ингибитора. В данном случае роль активатора играет температура, а ингибитора — некоторая функция концентрации и температуры носителей:

$$\theta = \frac{T}{T_l}, \quad \eta = \frac{nD(\theta)}{n_h D^0} \equiv n\varphi^{-1}(\theta). \quad (1.25)$$

Учитывая (1.25), уравнения (1.21), (1.22) можно записать в виде [75, 76]

$$\frac{3}{2} \tau_e^0 \frac{\partial \eta \varphi(\theta)}{\partial t} = l^2 \Delta (\eta \theta) - q(\theta, \eta, A), \quad (1.26)$$

$$\tau_r \frac{\partial \eta \varphi(\theta)}{\partial t} = L^2 \Delta \eta - Q(\theta, \eta), \quad (1.27)$$

где

$$q = \eta(\theta - 1) \varphi(\theta) \frac{\tau_e^0}{\tau_e(\theta)} - A, \quad (1.28)$$

$$Q = \eta \varphi(\theta) - 1, \quad A = \frac{W_f \tau_e^0}{n_h T_l}.$$

Используя (1.28), легко убедиться, что условия расслоения (1.9), (1.10) с точностью до $\varepsilon^2 \ll 1$ совпадают с соответствующими условиями, вытекающими из (1.24).

1.3. Классификация активных распределенных сред. Из анализа активных систем с диффузией следует, что тип реализующихся в них неустойчивостей зависит от величин $\alpha = (\tau_\theta / \tau_\eta)$ или $\varepsilon = l/L$ (п. 1.1), т. е. от степени инерционности и дальнего действия активатора по сравнению с ингибитором.

При $\varepsilon \ll 1$ и $\alpha > 1$ не выполняется условие (1.6) возникновения однородных колебаний, но выполняется условие расслоения (1.10), т. е. неустойчивости однородного состояния системы относительно нарастания флуктуаций с выделенным волновым числом $k = k_0$ (1.9). Поэтому системы, в которых процесс ингибирования (торможения) по сравнению с активацией (возбуждением) является менее инерционным, но более дальнего действия, называются К-системами [25, 120].

В системах с $\varepsilon > 1$, но $\alpha \ll 1$ условие (1.10) расслоения однородного состояния не выполняется, но выполняется условие (1.6) возникновения однородных колебаний с выделенной частотой $\omega = \omega_0$ (1.8). Поэтому системы, в которых процесс ингибирования по сравнению с активацией оказывается короткодействующим, но более инерционным, называются Ω -системами ⁽⁹⁾.

Системы с $\varepsilon \ll 1$ и $\alpha \ll 1$, точнее системы, в которых процесс ингибирования является более инерционным и дальнего действия, называются К Ω -системами.

Важной характеристикой, определяющей свойства как автосолиитонов (АС) [25], так и более сложного вида ДС, является кривая локальной связи (ЛС), т. е. зависимость $\eta(\theta)$, удовлетворяющая уравнению

$$q(\theta, \eta, A) = 0 \text{ при } A = \text{const}, \quad (1.29)$$

а также кривая «уравнения состояний» (УС), т. е. зависимость $\eta(\theta)$, вытекающая из уравнения

$$Q(\theta, \eta, A) = 0 \text{ при } A = \text{const}. \quad (1.30)$$

Точки пересечения этих кривых согласно (1.4) определяют однородное состояние системы ($\theta = \theta_h$, $\eta = \eta_h$). В случае, когда кривые ЛС и УС пересекаются в одной точке, системы называются моностабильными. В случае же, когда существуют три такие точки, системы называются триггерными или бистабильными, поскольку две из этих точек, как правило, отвечают устойчивым однородным состояниям. Особенности ДС и самоорганизации в таких системах обсуждаются в разделе 6.

Из условий (1.3) и (1.5) следует [25], что кривая ЛС в активных системах имеет N-, Λ -, И- или V-образный вид (рис. 2). По виду кривой ЛС системы называют N-, Λ -, И- или V-системами. Полное название систем в зависимости от инерционности и дальнего действия активатора и ингибитора и вида кривой ЛС приведено в табл. I, а реализующиеся в них ДС и эффекты, определяющие их перестройку, т. е. сценарии самоорганизации, обобщены в табл. II.

Таблица I

Вид кривой локальной связи	Название систем		
	К-системы: дальнее действующее и безынерционное (по сравнению с активацией) ингибирование	Ω-системы: короткодействующее и инерционное (по сравнению с активацией) ингибирование	КΩ-системы: дальнее действующее и инерционное (по сравнению с активацией) ингибирование
N (рис. 2, а)	KN-системы	ΩN-системы	КΩN-системы
И (рис. 2, в)	КИ-системы	ΩИ-системы	КΩИ-системы
Λ (рис. 2, б)	КΛ-системы	ΩΛ-системы	КΩΛ-системы
V (рис. 2, г)	KV-системы	ΩV-системы	КΩV-системы

Таблица II

Названия систем	Вид диссипативных структур (ДС)	Эффекты, определяющие перестройку ДС	Сценарии самоорганизации рассмотрены в пунктах
KN, KI	Статические широкие	I—VI	3.1, 4.1—4.3, 5.1, 5.3, 5.4
КΛ, KV	Статические пиковые	I—III, V, VI	3.2, 4.1—4.3, 5.2, 5.3, 5.4
ΩN, ΩИ	Бегущие АС и другие автоволны	II, VI	11.1
КΩN, КΩИ	Широкие статические, пульсирующие; бегущие АС и другие автоволны	I—VI	3.1, 4.1—4.3, 5.1, 5.3, 5.4, 11.2—11.6
КΩΛ, КΩV	Пиковые статические, пульсирующие, бегущие	I—III, V, VI	3.2, 4.1—4.3, 5.2, 5.3, 5.4, 11.2—11.6

I — локальный пробой в статическом, пульсирующем или бегущем автосолитоне (АС), в стратах или в некоторых областях более сложного вида ДС (п. 2.1.1, 5.1) и автоволн; II — локальный пробой в осциллирующем «хвосте» статического (п. 1.2, 5.3), пульсирующего или бегущего АС; III — «перекачка» активатора между стратами (п. 2.2), пятнами, сгустками или другими фрагментами ДС (п. 5.1) и автоволн; IV — «гофрировка» стенок статических (п. 2.3), пульсирующих страт или других протяженных областей ДС (п. 5.1—5.3) и автоволн в дву- или трехмерных системах; V — дробление статических (п. 2.3), пульсирующих страт или других протяженных областей ДС (п. 5.1—5.3) и автоволн в дву- или трехмерных системах; VI — спонтанное возникновение у малой локальной неоднородности статического (п. 4.1), пульсирующего, бегущего АС или более сложного вида ДС и автоволн

В N- и И-системах производная $q'_0 = 0$ в двух точках $\theta = \theta_0$ и θ'_0 (рис. 2, а, в), а в Λ - и V-системах — в одной точке $\theta = \theta_0$ (рис. 2, б, г). Значения A , при которых $\theta_h = \theta_0$ или θ'_0 обозначим соответственно A_0 или A'_0 . Из (1.10) или (1.6) видно, что величины A_c и A'_c , определяющие границы выполнения условий неустойчивости однородного состояния системы, с точностью до $\epsilon \ll 1$ или $\alpha \ll 1$ совпадают соответственно с A_0 и A'_0 .

Свойства реализующихся в различных активных распределенных средах ДС являются общими, т. е. не зависят от конкретных механизмов

активации (возбуждения) и ингибирования (торможения), а также от процессов, определяющих их инерционность и дальноедействие. Распределения активатора и ингибитора в пространстве могут определяться не только диффузионными процессами (п. 1.1 и 1.2), но и дальнедействующими связями другой природы, которые могут описываться интегральными операторами [125—130]. Для моделирования явлений в активных системах с дальнедействующими связями, в частности, используются уравнения типа [9, 125, 131—133]

$$\tau_\theta \frac{\partial \tilde{\theta}}{\partial t} = -\tilde{\theta} + H \left(\int_{-\infty}^{\infty} \Phi(x' - x) \tilde{\theta}(x', t) dx' - A - a\tilde{\eta} \right), \quad (1.31)$$

$$\tau_\eta \frac{\partial \tilde{\eta}}{\partial t} = \tilde{\theta} - \tilde{\eta}, \quad (1.32)$$

где $H(y) = 1$ при $y \geq 0$ и $H(y) = 0$ при $y < 0$; а функция $\Phi(x)$ описывает короткодействующую активацию и дальнедействующее ингибирование [25]; слагаемое $a\tilde{\eta}$ в аргументе функции $H(y)$ описывает процесс изменения порога возбуждения среды, инерционность которого определяется уравнением (1.32). Поэтому при $\alpha = \tau_\theta/\tau_\eta > 1$ уравнения (1.31), (1.32) описывают распределенные среды, которые относятся к К-системам, а при $\alpha \ll 1$ — к КΩ-системам (см. табл. II).

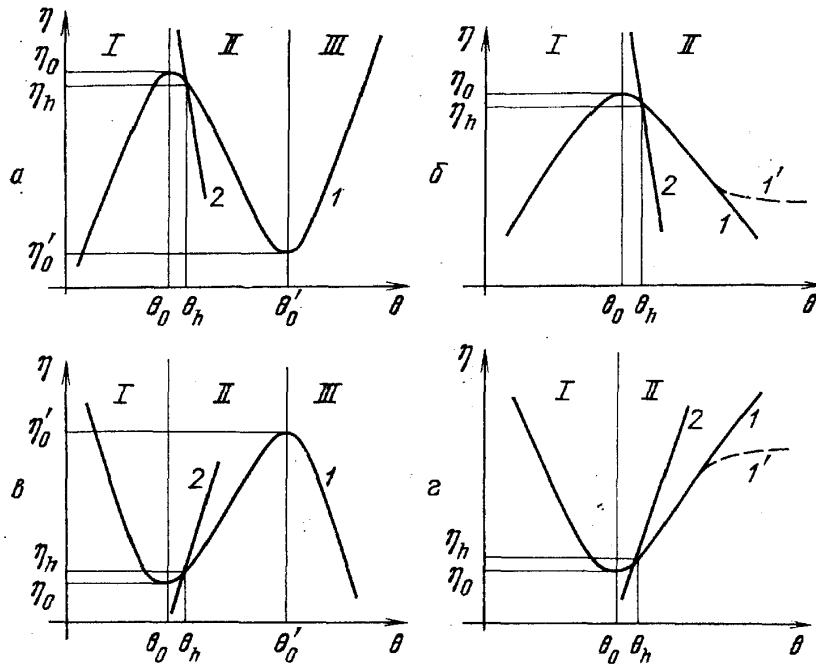


Рис. 2. Основные типы кривых локальной связи (ЛС) (кривые 1) и уравнения состояния (УС) (2). Штриховыми кривыми 1' на рис. б, г показаны системы с «вырожденными» кривыми ЛС [25]

В нелинейных оптических резонаторах, возбуждаемых внешним излучением, образуются дифракционные ДС в виде одиночных или взаимодействующих АС [107]. Процесс активации здесь связан с ростом интенсивности электромагнитного излучения за счет нелинейности коэффициента поглощения или показателя преломления среды в резонаторе. Процесс ингибирования связан с осцилляциями поля, вызванными дифракционными эффектами. Осцилляции дифракционной картины распространяются на расстояние, значительно превышающее ширину основного максимума, который определяет характерный пространственный масштаб изменения излучения в резонаторе. Иными словами, здесь процесс ингибирования оказывается более дальнедействующим, чем про-

цесс активации. Поэтому такие системы [107] относятся к К-или к КΩ-системам.

В системах с «перекрестной» диффузией, как отмечалось в п. 1.2, однородное состояние расслаивается при $\epsilon \ll 1$. Поэтому такие системы относятся, как правило, к К-системам (раздел 8 и табл. II), а при определенных условиях — к КΩ-системам. Последнее справедливо, например, когда в рассмотренной в п. 1.2 невырожденной ЭДП время рекомбинации электронов и дырок оказывается падающей функцией температуры или возрастающей функцией концентрации носителей [51].

Для того чтобы установить тип конкретной системы, а следовательно свойства ДС и возможные сценарии самоорганизации, необходимо явно выделить величины θ и η , играющие роль активатора и ингибитора. Подчеркнем, что в определенных случаях эти величины могут быть весьма сложными функциями реальных физических параметров системы (см., например, п. 1.2 и [506, 51]). Затем следует определить характерные времена и длины изменения параметров θ и η и соотношения между ними. Далее необходимо проанализировать вид кривой ЛС, определяемой из соотношения (1.29), которое вытекает из уравнения для активатора для стационарного и однородного случая. Для некоторых физических систем такая процедура проведена в разд. 7 и 8 (см. также [25, 506, 51]).

1.4. Диссипативные структуры малой амплитуды. Вблизи точки расслоения $A = A_c$ уравнения (1.1), (1.2) в одномерном случае допускают квазигармонические решения малой амплитуды. Их основная гармоника равна [3]⁽⁵⁾

$$\theta(x) - \theta_h = \Delta\theta_m \cos(k_0 x), \quad \Delta\theta_m^2 = \kappa^{-1}(A - A_c), \quad (1.33)$$

где κ — величина, зависящая от вида функций $q(\theta, \eta, A)$, $Q(\theta, \eta, A)$ и от величины ϵ [3, 134, 135]. При $\epsilon \rightarrow 0$ выражение для κ имеет вид [135]

$$\kappa = (q''_{\theta\theta})^2 \left[(Q')^2 (q'_\theta Q'_\eta - q'_\eta Q'_\theta) (-q'_\eta Q'_\theta) \frac{dq'_\theta}{dA} \right]^{-1}. \quad (1.34)$$

Как отмечалось в п. 1.3, при $\epsilon \rightarrow 0$ величина $A_c \rightarrow A_0$, т. е. к значению $A = A_0$, при котором $q'_\theta = 0$. Отсюда следует, что при A , близких к A_c , производная $dq'_\theta/dA < 0$. Учитывая это, а также условия (1.3) и (1.5), из (1.34) следует, что при малых значениях ϵ величина $\kappa < 0$. Из (1.33) видно, что при $\kappa < 0$ неоднородные состояния существуют при $A < A_c$, т. е. реализуется докритическое ветвление решений (рис. 1, в), при котором малоамплитудные состояния неустойчивы [3]. При некотором $\epsilon = \epsilon_c$ докритическое ветвление может смениться на закритическое (рис. 1, г). Например, для модели (1.12) при $B = 2$ величина $\epsilon_c \sim 0,1$, но уже при $\epsilon > \epsilon_m = 0,5$ расслоение однородного состояния не реализуется ни при каких значениях A (рис. 1, а) (п. 1.1). Для модели ЭДП, рассмотренной в п. 8.2, значение $\epsilon_m \approx 0,31$, а закритическое ветвление решений (рис. 1, г) реализуется при $\epsilon > \epsilon_{c1}$ или $\epsilon > \epsilon_{c2}$, где $\epsilon_{c1} \approx 0,27$, $\epsilon_{c2} \approx 0,23$ (рис. 1, б).

Из приведенных примеров следует, что закритическое ветвление решений (рис. 1, г), при котором малоамплитудные ДС устойчивы, реализуется в весьма узком диапазоне значений ϵ , т. е. параметров системы, и при уровнях возбуждения A , близких к критическому A_c . Поскольку при $\epsilon = \epsilon_c$ закритическое ветвление решений (рис. 1, г) сменяется на докритическое (рис. 1, в), то ясно, что при ϵ близких к ϵ_c , но меньших ϵ_c , бифуркационная диаграмма имеет вид, изображенный на рис. 1, д.

Как отмечалось во введении, исследованию свойств малоамплитудных ДО в моделях различных физических систем, в том числе гидродинамических, посвящено очень много работ (см., например [26, 3, 5, 6, 9, 63—

74, 136]. Теория таких ДС основывается на том, чтобы, используя малость амплитуды ДС, получить более простые уравнения по сравнению с исходной системой фундаментальных нелинейных уравнений, описывающих конкретную физическую систему. Такими упрощенными уравнениями, в частности, являются [6, 9, 72, 74, 136, 137]

$$\tau \frac{\partial u}{\partial t} = \beta u + c |u|^2 u - \mu |u|^4 u + \gamma \Delta u \quad (1.35)$$

или

$$\tau \frac{\partial u}{\partial t} = \beta u + cu^2 - \mu u^3 - \gamma (k_0^2 + \Delta)^2 u, \quad (1.36)$$

где $\beta = (A - A_c) A_c^{-1}$, а $\operatorname{Re} \gamma > 0$. Уравнение (1.35) с $c > 0$ и $\mu > 0$ было предложено Петвиашвили и Сергеевым [137]. Вывод уравнения (1.36) дан в монографии Хакена [6]. При $c = 0$ и $\mu > 0$ оно переходит в уравнение Свифта — Хоэнберга, выведенное ими для описания проблемы Бенара [68]. Заметим, что уравнения типа (1.35), (1.36) называют обобщенными уравнениями Гинзбурга — Ландау [6, 74], поскольку при действительных коэффициентах (c, μ, γ) они вытекают из уравнения

$$\tau \frac{\partial u}{\partial t} = - \frac{\delta F}{\delta u^*}, \quad (1.37)$$

где «свободная энергия» F имеет смысл функционала Ляпунова. При этом задача отыскания устойчивых стационарных состояний, т. е. устойчивых малоамплитудных ДС, сводится к отысканию минимумов F [74].

Подчеркнем, что уравнения типа (1.35), (1.36) описывают свойства только малоамплитудных ДС, в том числе и АС, которые могут образовываться при уровнях возбуждения, близких к критическому, т. е. при $|\beta| = |A - A_c| A_c^{-1} \ll 1$. При этом малоамплитудные АС, которые иногда называют локализованными автоструктурами или «частицами» [74], реализуются лишь в системах, когда бифуркационная диаграмма близка к изображенной на рис. 1, *д*, точнее, когда, несмотря на докритическое ветвление, в точке $A = A_c$ в результате расслоения образуются ДС малой амплитуды. Вместе с тем, в начале этого пункта было показано, что такая ситуация (рис. 1, *д*) реализуется лишь при $\varepsilon = l/L$ меньших ε_c , но очень близких к ε_c . В свою очередь, величина ε_c определяется нелинейностями системы, точнее видом функций $q(\theta, \eta)$ и $Q(\theta, \eta)$ в (1.1), (1.2). Отсюда следует, что решения в виде малоамплитудных АС допускают модели, описывающие свойства активных систем в малой окрестности вблизи $A = A_c$ и при очень жестком подборе их параметров. Такие жесткие требования в эксперименте выполнить трудно.

В п. п. 1.1 и 1.2 подчеркивалось, что условия неустойчивости однородного состояния выполняются тем легче, чем меньше величины ε или α . Из качественной теории дифференциальных уравнений известно [26], что при $\tau_0 \ll \tau_\eta$ малоамплитудные квазигармонические колебания с частотой $\omega = \omega_0$ (1.8) неустойчивы и в системе при $A = A_c$ скачкообразно возникают релаксационные колебания большой амплитуды. Эти колебания представляют собой последовательные сочетания отрезков медленных и быстрых движений с характерными временами соответственно τ_η и τ_0 [26].

В начале данного пункта отмечалось, что при $\varepsilon \ll 1$ реализуется жесткий режим спонтанного образования ДС (рис. 1, *а—в*), когда в точке расслоения скачкообразно возникают ДС большой амплитуды (п. 1.5). В таких ДС ингибитор η плавно (с характерной длиной L) меняется по пространству, а распределение активатора θ представляет собой контрастную картину: в некоторых областях размера порядка l активатор

резко меняется (раздел 12). Теория таких ДС большой амплитуды, в основе которой лежит малость $\varepsilon = l/L$, развита нами в [75—77]. Эта теория/основанная на анализе исходной системы фундаментальных уравнений, типа приведенных в п. 1.1 и 1.2, описывает форму, устойчивость и эволюцию ДС при произвольных уровнях возбуждения и реальном виде нелинейностей системы. Основные результаты этой теории и вытекающие из нее основные сценарии самоорганизации излагаются ниже.

1.5. Кинетика образования одномерных ДС — страт. В п. 1.1 и 1.2 отмечалось, что расслоение однородного состояния в точке $A = A_c$ связано с апериодическим нарастанием флуктуации периода $\mathcal{L}_0 = 2\pi k_0^{-1} \approx 2\pi (lL)^{1/2}$.

1.5.1. В КН- и КИ-системах благодаря $\varepsilon \ll 1$ в точке расслоения $A = A_c$ скачкообразно образуется ДС большой амплитуды (рис. 3, а, $t > t_3$), в которых ингибитор η слабо меняется вблизи $\eta = \eta_s \neq \eta_h$, а распределение активатора имеет, как правило, вид широких страт [76], в которых

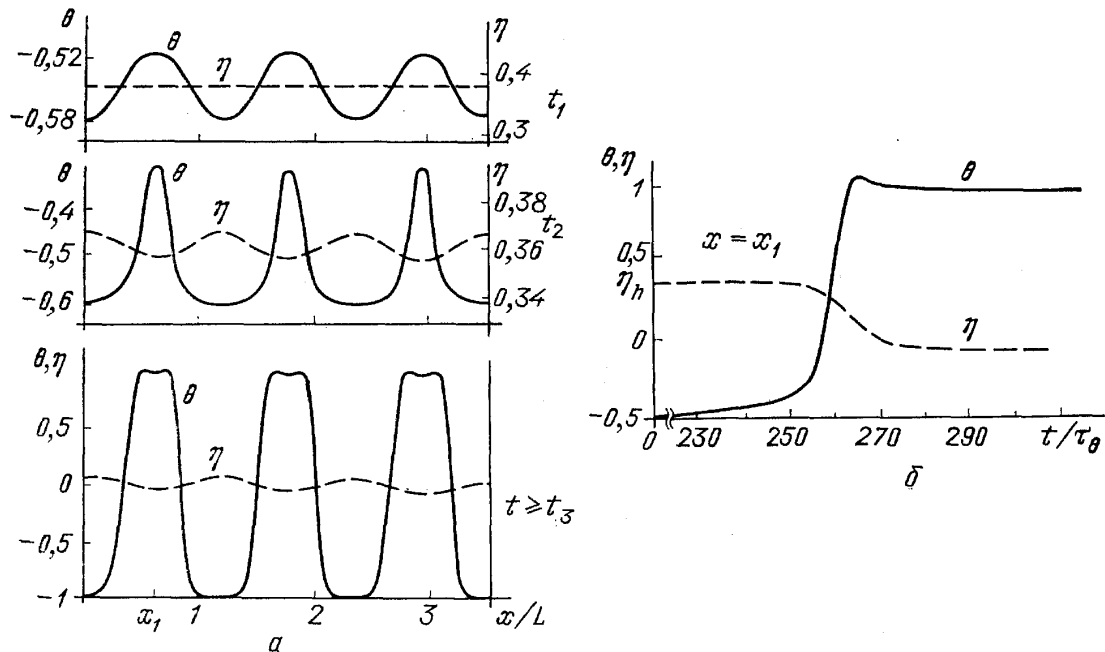


Рис. 3. Кинетика спонтанного образования широких страт. а — Распределения θ и η в различные моменты времени ($t_1 = 220 \tau_0$, $t_2 = 250 \tau_0$, $t_3 = 370 \tau_0$). б — Зависимость $\theta(t)$ в центре образующихся страт ($x = x_1$). Результаты численного решения уравнений (1.1), (1.2), (1.13) при $A = 0,21$, $\varepsilon = 0,033$, $\alpha = 1$, выполненного авторами работы [100]

$\theta(x)$ в некоторых областях размера $\sim l$ — стенках страт, резко меняется от $\theta_{\min} \approx \theta_{s1}$ до $\theta_{\max} \approx \theta_{s3}$. (Уравнения, определяющие значения ингибитора в стенках страт η_s , а также величины θ_{s1} и θ_{s3} и функции $\theta(x)$ и $\eta(x)$ в стратах приведены в разд. 12.)

Иными словами, форма образующейся при расслоении ДС принципиально отличается от квазигармонической, т. е. от вида критической флуктуации (моды с $k \approx k_0$), нарастание которой приводит к формированию ДС. Это означает, что при $\varepsilon \ll 1$ даже вблизи критической точки ($A = A_c$) при анализе возникающей ДС нельзя ограничиваться малым числом взаимодействующих мод, выбирая в качестве главной нарастающую флуктуацию⁽¹⁰⁾ с $k \approx k_0$. Это связано с весьма нетривиальным нелинейным эффектом, проявляющимся в процессе формирования ДС в точке расслоения однородного состояния системы. Сильно затухающие в линейной теории коротковолновые моды с $k \gg k_0$ с учетом нелинейного взаимодействия мод по мере возрастания критической флуктуации с $k \approx$

$\approx k_0$ начинают нарастать, причем их инкремент, начиная с некоторого момента времени, превосходит инкремент нарастания критической флуктуации. Этот эффект наблюдается при численных исследованиях (рис. 3) и вытекает, в частности, из аналитического исследования кинетики расслоения тока в транзисторе [138].

1.5.2. В КЛ- и КV-системах ДС имеют принципиальные особенности. В таких системах при расслоении их однородного состояния образуются пиковые страты большой амплитуды двух типов: узкие (рис. 4, а) [75]

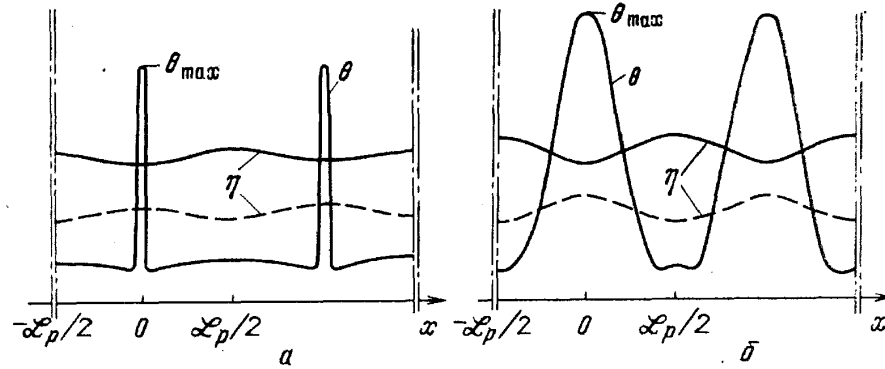


Рис. 4. Два типа пиковых страт: а — узкие, б — широкие. Сплошные и штриховые кривые η отвечают соответственно Л- и V-системам

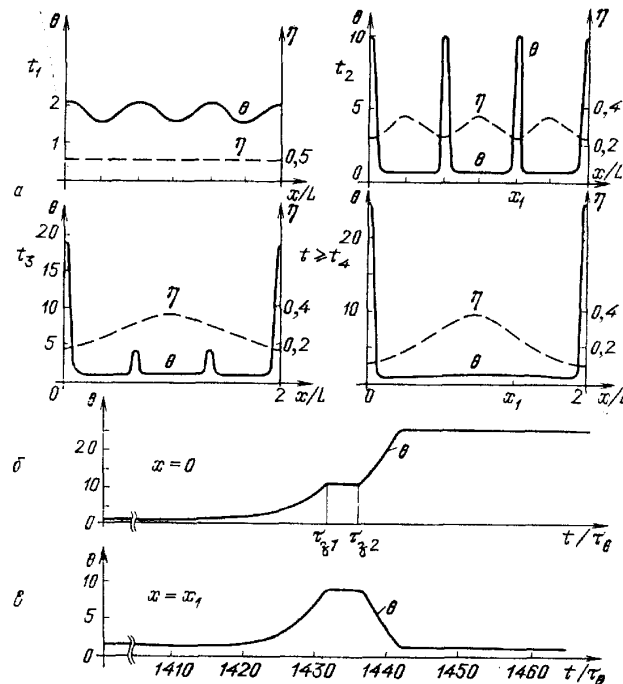


Рис. 5. Кинетика спонтанного образования узких пиковых страт. а — Распределения θ и η в различные моменты времени ($t_1=1324 \tau_\theta$, $t_2=1433 \tau_\theta$, $t_3=1439 \tau_\theta$, $t_4=1460 \tau_\theta$). б, в — Зависимость $\theta(t)$ в точках $x=0$ и $x=x_1$. Результаты численного решения уравнений (1.1), (1.2), (1.12) при $A=1,1$; $B=2$, $\epsilon=2,24 \cdot 10^{-2}$, $\alpha=1$, выполненного авторами работы [82]

или широкие (рис. 4, б) [98, 139]. Независимо от малости $\epsilon=l/L \ll 1$ ширина узких пиковых страт составляет величину порядка l , а широких — порядка L . Амплитуда пиковых страт (величина θ_{\max}) тем больше, чем меньше значение ϵ [75, 81, 140, 141], причем амплитуда пиковых широких страт может достигать гигантской величины уже при не очень малом значении ϵ [98]. Широкие пиковые страты могут реализовываться в системах, в которых $Q(\theta, \eta, A)$ в (1.2) не является достаточно сильно возрастающей функцией θ [98, 139].

Узкие пиковые страты, периода $\mathcal{L}_p = \mathcal{L}_0$ во многих случаях оказываются неустойчивыми [75] (п. 3.2). Поэтому период образующихся при расслоении устойчивых пиковых страт может заметно превышать величину $\mathcal{L}_0 = 2\pi k_0^{-1}$. Отметим особенность формирования узких пиковых страт. Пусть в момент времени $t \geq 0$ уровень возбуждения системы превышает критическое значение $A = A_c$ на малую величину. В результате нарастания критической флуктуации периода $\mathcal{L}_0 = 2\pi k_0^{-1}$ через время задержки τ_{31} в системе формируются пиковые страты периода \mathcal{L}_0 (рис. 5, $t = t_2$). Такая ДС представляет собой некоторое метастабильное состояние. Это состояние в результате неустойчивости типа «перекачки» (п. 2.2) [75] через некоторое время ($\tau_{32} - \tau_{31}$; рис. 5, б), связанное с нарастанием флуктуации большего периода, приобретает вид пиковых страт периода $\mathcal{L}_p > \mathcal{L}_0$ (рис. 5, $t = t_4$). Увеличение периода страт в процессе их спонтанного формирования происходит до тех пор, пока не образуются устойчивые страты¹¹⁾. Последние представляют собой периодическую последовательность относительно слабо взаимодействующих пиковых автосолитонов (АС), форма которых (см. рис. 4) проанализирована в [75, 98, 139] и рассмотрена в обзоре [25].

Вывод о неустойчивости страт периода $\mathcal{L}_0 = 2\pi k_0^{-1}$ в большей мере относится к Δ - и V -системам, в которых образуются широкие пиковые страты (рис. 4, б) [98], так как уже их ширина, составляющая величину $\sim L$, при $\varepsilon \ll 1$ превышает значение \mathcal{L}_0 .

2. Эффекты, определяющие перестройку страт.

2.1. Локальный пробой в стратах [75, 76, 78]. Периодические страты периода $\mathcal{L}_p > L$ по существу представляют собой периодическую последовательность взаимодействующих АС (рис. 6, а). При

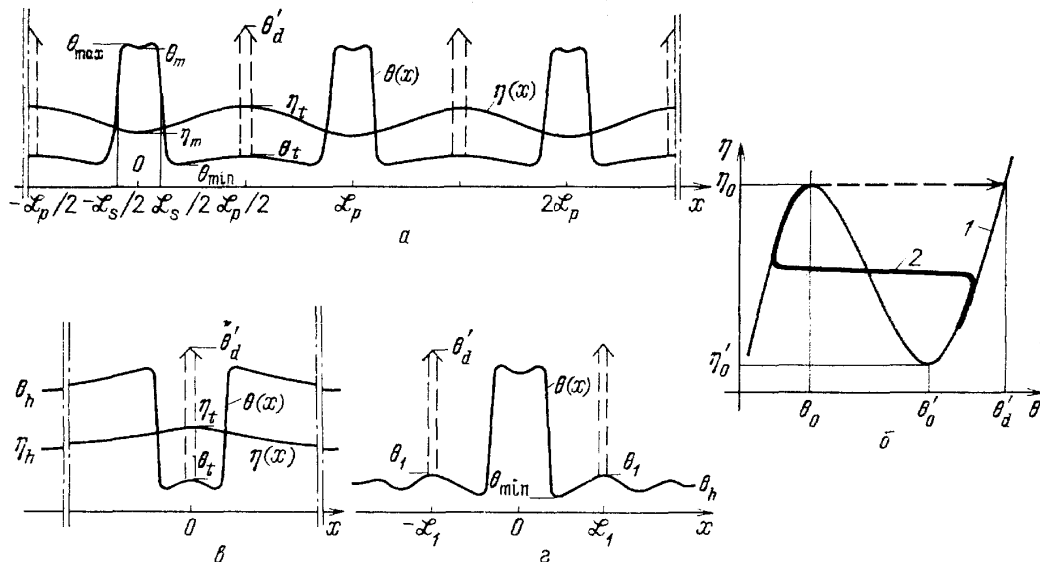


Рис. 6. К пояснению эффекта локального пробоя между стратами периода $\mathcal{L}_p \geq L$ (а), в центре холодного автосолитона (АС) (б), в «хвостах» горячего АС (в). На рис. б показан вид кривой ЛС (кривая 1) для N -систем и истинная зависимость $\eta(\theta)$ (2) в стратах (а) и АС (б, в) вблизи критических уровней возбуждения системы соответственно $A_d^{(N)}$, A'_d и \tilde{A}_c . Стрелками символически иллюстрируется локальный пробой, т. е. лавинообразное локальное увеличение активатора от $\theta \approx \theta_0$ до $\theta \approx \theta'_d$ (рис. б)

определенных значениях уровня возбуждения в стратах, так же как и в АС [25], может происходить локальный пробой, т. е. резкое изменение активатора в некоторых локальных областях ДС, приводящее к увеличению количества страт в системе.

2.1.1. В N- и И-системах локальный пробой может происходить между стратами (рис. 6, а) или в центре страт (рис. 7, а), т. е. в областях плавного изменения $\eta(x)$ и $\theta(x)$. В этих областях связь между η и θ определяется соотношением (1.29), т. е. отвечает кривой ЛС (п. 12.1). Соответствующая кривой ЛС (рис. 2, а, в) зависимость $\theta(\eta)$ имеет S-образный вид (рис. 6, б, и 7, б). Локальный пробой связан с тем, что в процессе эволюции страт при изменении уровня возбуждения A значение ингибитора η_m в центре страт достигает экстремальной величины η'_0 (рис. 7, б) или значение ингибитора η_t между стратами становится равным экстремальной величине η_0 (рис. 6, б).

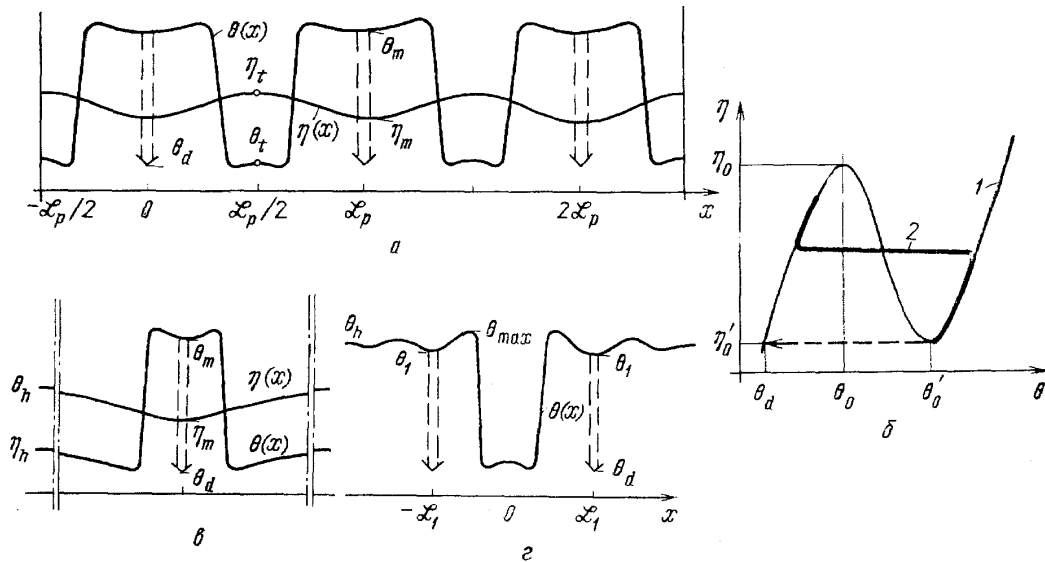


Рис. 7. К пояснению эффекта локального пробоя в центре страт периода $\mathcal{L}_p \geq L$ (а), в центре горячего АС (б), в «хвостах» холодного АС (в). На рис. б показан вид кривой ЛС (кривая 1) для N-систем и истинная зависимость $\eta(\theta)$ (2) в стратах (а) и АС (б, в) вблизи критических уровней возбуждения системы соответственно $A_d^{(N)}$, A_d и \tilde{A}_c . Стрелками символически иллюстрируется локальный пробой, т. е. лавинообразное локальное уменьшение активатора от $\theta \approx \theta_0'$ до $\theta \approx \theta_d$ (рис. б)

В первом случае при дальнейшем изменении A в центре страт при практически неизменном значении $\eta_m \approx \eta_0$, происходит резкое уменьшение активатора от величины $\theta_m \approx \theta_0$ до величины $\theta \approx \theta_d$ (рис. 7, а, б). В результате такого локального пробоя (символически показанного стрелками на рис. 7, а, б) происходит деление страт. Такого же типа локальный пробой (символически изображенный стрелкой на рис. 7, в) приводит к делению горячего АС, рассмотренного в п. 3.5 обзора [25].

Во втором случае дальнейшее изменение A приведет к локальному пробую между стратами, т. е. к резкому увеличению активатора от значения $\theta_t \approx \theta_0$ до $\theta \approx \theta_d$ при $\eta_t \approx \eta_0$ (символически такой локальный пробой показан стрелками на рис. 6, а, б).

Аналогичный локальный пробой (символически показанный стрелкой на рис. 6, в) приводит к делению холодного АС (см. [25]).

Рассмотренные эффекты локального пробоя в центре страт или между ними являются следствием того, что при некоторых критических значениях $A = A_d^{(N)}$ или $A_d^{(N)}$ решение в виде N страт в образце размера \mathcal{L} , т. е. страт периода $\mathcal{L}_p = \mathcal{L}/N$, исчезает. Формально это непосредственно следует из процедуры построения периодических страт, изложенной в разделе 12, где также приведены формулы, которые с точностью до $\varepsilon \ll 1$ определяют значения $A = A_d^{(N)}$ и $A_d^{(N)}$ и критическую ширину страт в этих точках. Из процедуры построения страт также следует, что одному значению A отвечает множество решений в виде страт различного периода.

Период страт ограничен сверху некоторой величиной \mathcal{L}_{\max} , значение которой зависит от A . Эту зависимость для конкретной системы можно найти по формулам, приведенным в п. 12.2.

Качественный вид зависимости⁽¹²⁾ $\mathcal{L}_{\max}(A)$ (рис. 8, а) вытекает из того факта, что при $A < A_c$ или $A > A_c$ в системе можно возбудить АС [25], т. е. уединенное состояние, которое можно рассматривать как страты периода $\mathcal{L}_p = \infty$. Вместе с тем существуют системы, в которых АС в виде уединенной горячей страты (рис. 6, в) реализуется лишь при $A < A_d < A_c$, а также системы, в которых АС в виде уединенной холодной страты (рис. 6, в), можно возбудить лишь при $A > A'_d > A_c$. В точках $A = A_d$ (или $A = A'_d$) происходит деление горячего (или холодного АС) (п. 3.5 в [25]). Для таких систем зависимости $\mathcal{L}_{\max}(A)$ имеют вид, изображенный соответственно на рис. 8, б и в. Для систем, где АС можно возбудить лишь при $A < A_d$ и $A > A'_d$, зависимость $\mathcal{L}_{\max}(A)$ отвечает изображенной на рис. 8, г. Заметим, что величины $A = A_d$ и A'_d и отвечающие им значения максимально возможной ширины горячей и холодной АС с точностью до $\varepsilon \ll 1$ определяются соответственно по формулам (3.37) — (3.39) в обзоре [25].

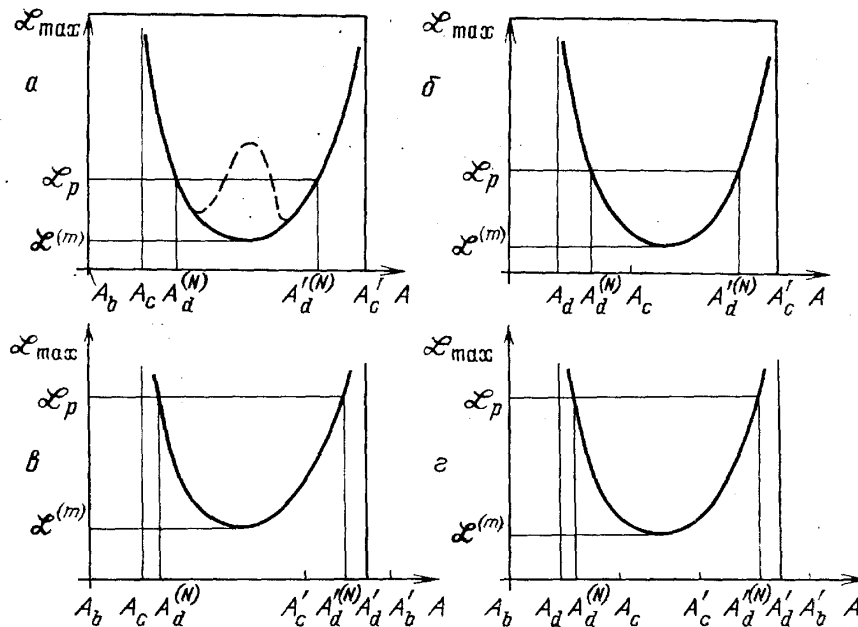


Рис. 8. Вид возможных зависимостей максимального периода страт \mathcal{L}_{\max} от уровня возбуждения A (см. п. 12.2 и примечание к тексту⁽¹²⁾)

Как подчеркивалось во введении, локальный пробой приводит к динамической перестройке ДС, которая не связана с наличием в системе флуктуаций. При динамической перестройке время образования новой ДС определяется значениями характерных времен изменения активатора и ингибитора и величиной превышения A над соответствующим критическим значением A_d , A'_d , $A_d^{(N)}$ или $A_d'^{(N)}$. Наличие флуктуаций приводит лишь к конечной вероятности возникновения локального пробоя, не доходя до этих точек, а также может ускорить начальную фазу развития локального пробоя при A , превышающем, но очень близком к соответствующему критическому значению. Такая кинетика развития локального пробоя, приводящего к делению АС и страт, наблюдалась в модели ЭДП [100, 104, 109]. По-видимому, с рассмотренным эффектом локального пробоя связано деление АС и страт, наблюдаемое при численных и экспериментальных исследованиях композитных сверхпроводников [19, 97, 142] и структур с газоразрядной областью (см. рис. 5 в [876]).

2.1.2. Локальный пробой может происходить не только в центре, но и на периферии, т. е. в «хвостах» АС [110]. Такой эффект связан с тем, что при A , близких к A_c , монотонный спад $\theta(x)$ и $\eta(x)$ к θ_h и η_h на периферии АС может смениться на осциллирующий [25]. Возникновение осцилляции на периферии АС при $A \rightarrow A_c$ можно связать с тем, что «хвост» АС можно рассматривать как реакцию системы на вызванное АС локальное уменьшение активатора в точке, где $\theta = \theta_{\min}$ (рис. 6, з). В свою очередь, отклик однородной устойчивой системы на малую локальную неоднородность параметров среды при A , близких к A_c , представляет собой затухающее по амплитуде вне неоднородности осциллирующее⁽¹³⁾ распределение $\theta(x)$.

Чем ближе значение A к A_c , тем больше амплитуды наиболее ярко выраженных максимумов $\theta = \theta_1$ в осциллирующих распределениях $\theta(x)$ в «хвостах» АС (рис. 6, з). При некотором значении $A = \tilde{A}_c$, близком к A_c , когда величина θ_1 в точках этого максимума превышает величину θ_0 (рис. 6, б) на некоторое критическое значение, в этих местах происходит локальный пробой, т. е. резкое локальное нарастание активатора (символически показанное стрелками на рис. 6, б, з) от величины $\theta_1 \approx \theta_0$ до $\theta \approx \theta_d$. Локальный пробой связан с тем, что при $A \rightarrow A_c$ значение η_h близко к η_0 , а локальная зависимость $\theta(\eta)$ имеет S-образный вид (рис. 6, б). Таким образом, находящиеся от центра АС на расстоянии \mathcal{L}_1 ближайшие два максимума в осциллирующем распределении $\theta(x)$ (рис. 6, з) проявляются как затравки для скачкообразного возникновения в них страт. В «хвостах» страт, в свою очередь, происходит локальный пробой и образование новых страт.

Локальный пробой может возникать и в «хвостах» холодного АС при $A \rightarrow A'_c$. Такой пробой, т. е. лавинообразное локальное уменьшение активатора от $\theta_1 \approx \theta'_0$ до $\theta \approx \theta'_a$, возникает в ближайших к центру холодного АС минимумах осциллирующего распределения $\theta(x)$ на периферии АС (рис. 7, з). Он реализуется при некотором значении $A = \tilde{A}'_c$, близком к A'_c , когда значение θ_1 в этих минимумах оказывается меньше θ'_0 на некоторую критическую величину (символически локальный пробой показан стрелками на рис. 7, б, з).

2.2. «Перекачка» активатора между стратами [75, 76]. Из теории устойчивости страт (п. 12.4) следует, что при некоторых значениях $A = A_p^{(N)}$ или $A_p'^{(N)}$ состояние в виде N страт периода $\mathcal{L}_p = \mathcal{L}/N$ (рис. 9, а) становится неустойчивым относительно нарастания флуктуации активатора $\delta\theta \approx \delta\theta_{N/2,0}$ удвоенного периода. Из вида критической флуктуации (рис. 9, з), следует, что ее нарастание приводит к увеличению ширины (или амплитуды) одной страты и сужению соседней, т. е. описывает перекачку активатора между стратами. В результате число страт в системе может уменьшиться вдвое (рис. 10) [109].

Неустойчивость типа перекачки реализуется при значениях $A = A_p^{(N)} > A_b$ или $A_p'^{(N)} < A_b$, т. е. не доходя до точек $A = A_b$ и A_b' , определяющих границу устойчивости АС (см. п. 4.2 в [25]). Этот результат связан с тем, что нарастание флуктуации активатора $\delta\theta \approx \delta\theta_{0,0}$, имеющей период \mathcal{L}_p и являющейся четной функцией x относительно центра страт (рис. 9, в), подавляется знакопостоянным изменением ингибитора (рис. 9, в) вплоть до точки $A = A_b$ (или $A = A_b'$), где $d\mathcal{L}_s/dA = \infty$ и $d\eta_s/dA = \infty$. Нарастание флуктуации $\delta\theta \approx \delta\theta_{N/2,0}$ периода $2\mathcal{L}_p$ демпфируется знакопеременным изменением ингибитора $\delta\eta$ того же периода (рис. 9, з). Демпфирующее действие такого изменения ингибитора уменьшается вследствие его диффузионного расплывания, которое тем сильнее, чем меньше расстояние между стратами \mathcal{L}_p . Отсюда следует, что чем мень-

ше период страт, тем в меньшем диапазоне изменения A они устойчивы (п. 12.4).

Критическая ширина страт (см. п. 12.4) периода $\mathcal{L}_p < L$ в точке $A = A_p^{(N)}$ приближенно равна [79]:

$$\mathcal{L}_s(A_p^{(N)}) \equiv \mathcal{L}_c^{(N)} \sim l \ln \frac{L^2}{l \mathcal{L}_p}. \quad (2.1)$$

Из изложенной картины неустойчивости страт вытекает, что период страт, реализующихся при заданном значении A , ограничен снизу некоторой величиной \mathcal{L}_{\min} . Страты периода $\mathcal{L}_p < \mathcal{L}_{\min}$ неустойчивы относительно нарастания флуктуации $\delta\theta \approx \delta\theta_{N/2,0}$ (рис. 9, з), описывающей перекачку активатора.

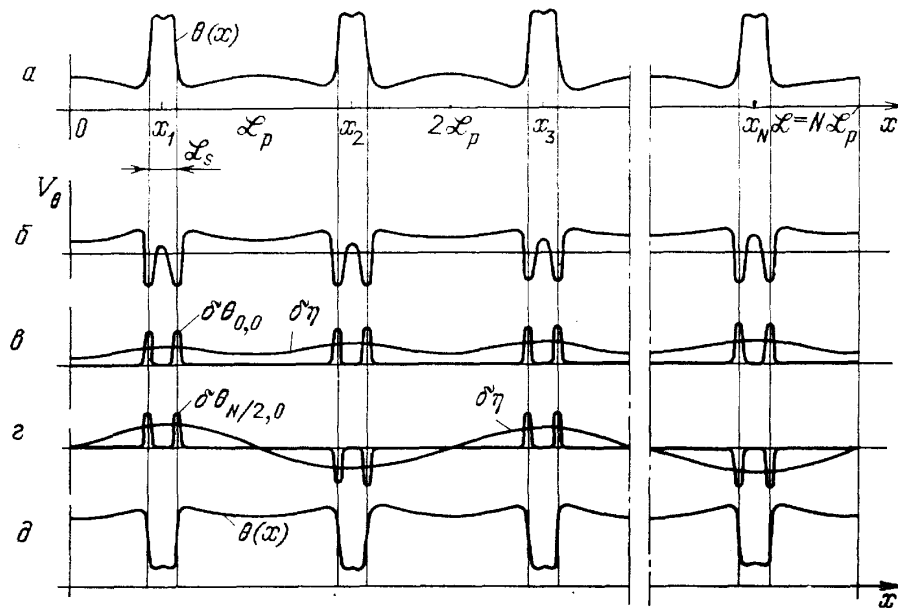


Рис. 9. К анализу устойчивости периодических страт (а, д), б — Вид «потенциала» V_θ (см. п. 12.4). в, г — Вид критических функций $\delta\theta_{0,0}$ (в) и $\delta\theta_{N/2,0}$ (г) и возмущений ингибитора $\delta\eta$, демпфирующих опасные флуктуации активатора $\delta\theta \approx \delta\theta_{0,0}$, $\delta\theta \approx \delta\theta_{N/2,0}$ в стратах (а, д)

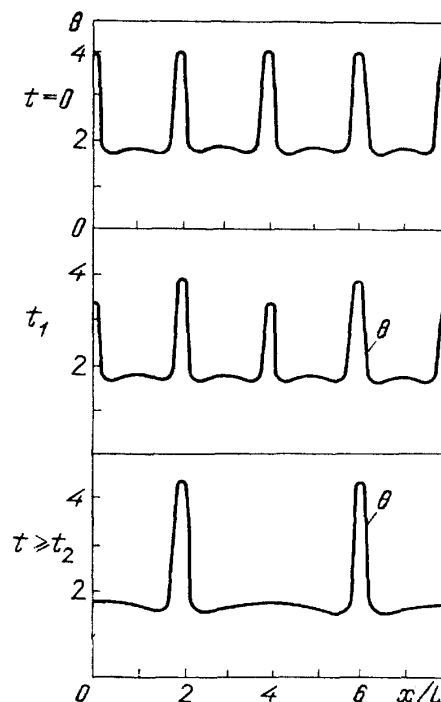


Рис. 10. Численное моделирование кинетики эффекта «перекачки» активатора (температуры носителей) между стратами в «плотной» ЭДП [109]; $t_1 = 20 \tau_r$, $t_2 = 135 \tau_r$

2.3. Гофрировка стенок и дробление страт [77]. Страты в дву- и трехмерных системах могут терять устойчивость относительно нарастания флуктуаций активатора $\delta\theta(x, y, z)$, неоднородных в плоскости стенок страт, т. е. в областях резкого изменения $\theta(x)$ (рис. 11, а). Критическая флуктуация $\delta\theta = \delta\theta(x) \exp(ik_{\perp} r_{\perp})$ (рис. 11, а) локализована в области стенок страт, поэтому ее нарастание может приводить в

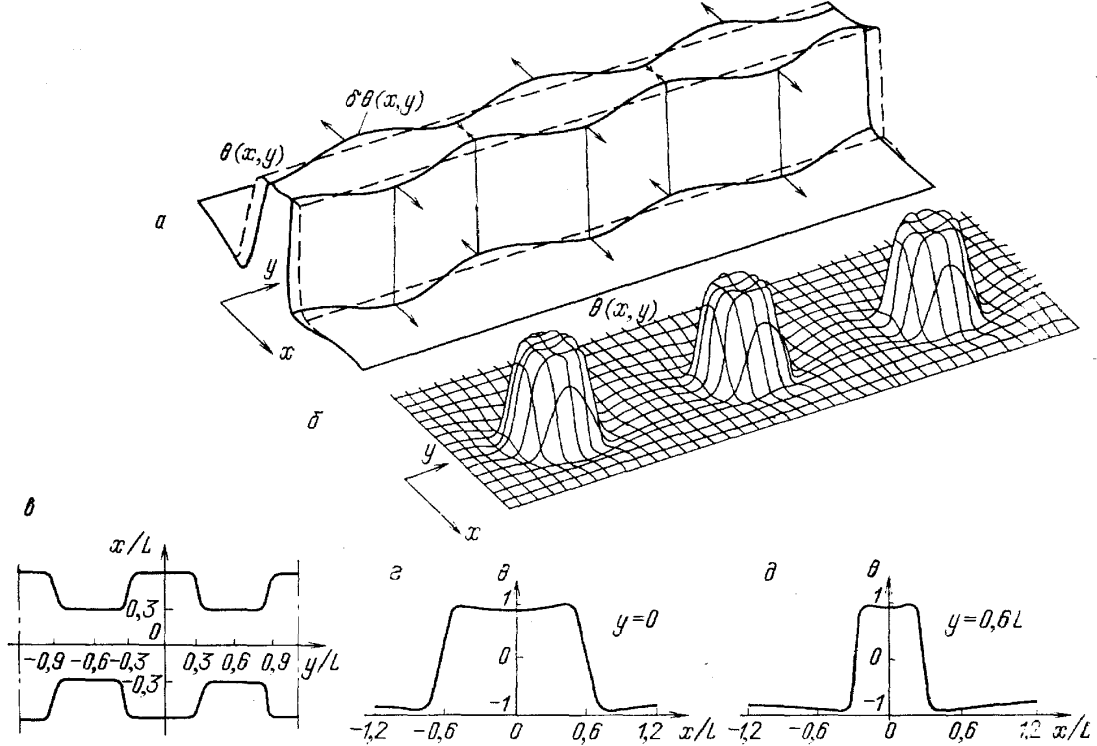


Рис. 11. К пояснению эффекта «гофрировки» и дробления страт. а — Вид локализованных в стенках страт критических флуктуаций активатора $\delta\theta(x, y)$, нарастание которых (символически показанные стрелками) приводит к дроблению страт и образованию множества взаимодействующих автосолионов (б) или же к образованию страты с гофрированными стенками (в). г, д — Распределения активатора в сечениях страты (г) — $y=0$ (г) и $y=0,6L$ (д) (результаты численного решения уравнений (1.1), (1.2), (1.13) при $A=0,35$, $\varepsilon=0,033$, $\alpha=1$, выполненного авторами работы [100]). Штриховыми линиями на рис. а показано исходное распределение $\theta(x, y)$ в стратах

двумерной системе к гофрировке стенок страт (рис. 11, в—д) (в трехмерной — появлению на стенках страт ячеистой структуры) или же разбиению страт на более мелкие области в виде взаимодействующих АС (рис. 11, б), по виду близких к радиально-симметричным АС (см. рис. 11 в [25]). Критические значения ширины страт в КН- и КИ-системах можно оценить из выражения (12.52), положив в нем $\gamma=0$. Из этого критерия следует [79], что условие неустойчивости страт выполняется относительно флуктуаций с $k_{\perp} \sim (l/\mathcal{L}_p)^{1/4} (lL)^{-1/2}$, когда ширина (\mathcal{L}_s) горячих страт (рис. 6, а) $\mathcal{L}_s < \mathcal{L}_{b1}^{(N)}$ или $\mathcal{L}_s > \mathcal{L}_{c1}^{(N)}$, где [79]

$$\mathcal{L}_{b1}^{(N)} \equiv \mathcal{L}_s(A_{b1}^{(N)}) \sim l \ln \left[\varepsilon^{-1} \left(\frac{\mathcal{L}_p}{l} \right)^{1/2} \right], \quad (2.2)$$

$$\mathcal{L}_{c1}^{(N)} \equiv \mathcal{L}_s(A_{c1}^{(N)}) \sim (lL)^{1/2} \left(\frac{L}{\mathcal{L}_p} \right)^{1/2}.$$

Иными словами, в дву- и трехмерном случае ширина устойчивых страт заключена в пределах $\mathcal{L}_{b1}^{(N)} < \mathcal{L}_s < \mathcal{L}_{c1}^{(N)}$, т. е. они, как правило, устойчивы в меньшем диапазоне $[A_{b1}^{(N)}, A_{c1}^{(N)}]$ изменений A , чем в одномерном случае (п. 3.1). Численные исследования показывают, что сужающиеся при уменьшении A горячие страты (при $A = A_{b1}^{(N)}$), как правило, дробятся

на более мелкие области; при увеличении A (в точке $A = A_{cl}^{(N)}$) в зависимости от параметров системы может происходить как дробление (рис. 11, б), так и «гофрировка» стенок страт (рис. 11, в—г). Страты с «гофрированными» (или «ячеистыми» стенками) могут представлять собой метастабильное состояние.

3. Сценарии самоорганизации в идеально однородных одномерных системах [75, 76].

3.1. Эволюция широких страт. Результаты, приведенные в п. п. 2.1 и 2.2, позволяют сделать вывод о том, что в одномерных КН- и КИ-системах размера $\mathcal{L} \gg L$ при заданном значении A может существовать множество устойчивых ДС в виде страт периода от \mathcal{L}_{\max} до \mathcal{L}_{\min} .

Величина \mathcal{L}_{\max} определяет максимально возможный период страт, при превышении которого число страт возрастает вдвое в результате локального пробоя в центре страт или между ними (п. 2.1).

Величина \mathcal{L}_{\min} определяет минимальный период страт, при котором страты при данном A теряют устойчивость (п. 2.2). Значение \mathcal{L}_{\min} определяется по формулам, приведенным в разд. 12. Как уже отмечалось, при $A \rightarrow A_b$ или A_b страты конечного периода теряют устойчивость и устойчивым остается лишь АС, т. е. состояние, которое можно рассматривать как страты периода $\mathcal{L}_p = \infty$. Отсюда вытекает, что зависимость $\mathcal{L}_{\min}(A)$ качественно имеет вид, изображенный на рис. 12, а.

Зависимости $\mathcal{L}_{\max}(A)$ (рис. 8) и $\mathcal{L}_{\min}(A)$ (рис. 12, а) по существу и определяют различные сценарии самоорганизации, реализующиеся в идеально однородных системах в одномерном случае. Эволюцию страт при изменении A удобно также анализировать, используя одну из бифуркационных характеристик системы: зависимость значения $\eta = \eta_s$ в стенке страт от A (рис. 12, б), ширины страт \mathcal{L}_s от A и т. п. [25].

1) В точке $A = A_c$ однородное состояние системы расслаивается относительно нарастания флуктуаций периода $\mathcal{L}_0 = 2\pi k_0^{-1} \approx 2\pi (lL)^{1/2}$ (п. п. 1.1 и 1.2). В результате нарастания такой флуктуации, т. е. флуктуационной перестройки однородного состояния, в рассматриваемых системах скачкообразно (скачок $0 \rightarrow 1$ на рис. 12, а, б) образуются страты большой амплитуды. Ширина страт $\mathcal{L}_s(A_c)$ периода \mathcal{L}_0 существенным образом зависит от нелинейности системы. Она определяется формулами, приведенными в п. 12.1. Период образующихся страт будет совпадать с величиной \mathcal{L}_0 , если $\mathcal{L}_0 > \mathcal{L}_{\min}(A_c)$, т. е. когда их ширина $\mathcal{L}_s(A_c)$ превышает критическую ширину устойчивых страт $\mathcal{L}_c^{(N)}$ периода \mathcal{L}_0 . Оценка для $\mathcal{L}_c^{(N)}$ следует из формулы (2.1), если в ней положить $\mathcal{L}_p = \mathcal{L}_0$.

В противоположном случае, когда $\mathcal{L}_0 < \mathcal{L}_{\min}(A_c)$, страты периода \mathcal{L}_0 неустойчивы относительно перекачки, и в точке $A = A_c$ возникнут страты периода $\mathcal{L}_p > \mathcal{L}_0$.

Образующиеся в КН- и КИ-системах в точке $A = A_c$ горячие страты при увеличении уровня возбуждения расширяются (рис. 12, в) и трансформируются в холодные страты того же периода (рис. 12, д). В точке $A = A_p^{(N)}$ холодные страты становятся неустойчивыми, когда их ширина \mathcal{L}_s (рис. 12, д) достигает значения $\tilde{\mathcal{L}}_c^{(N)}$, по порядку величины совпадающего со значением для величины $\mathcal{L}_c^{(N)}$, даваемой (2.1). Такая неустойчивость (типа перекачки) холодных страт (рис. 12, д) связана с нарастанием критической флуктуации активатора, имеющей удвоенный период. В результате аperiодического нарастания такой флуктуации может происходить скачкообразное (скачок $2' \rightarrow 3'$ на рис. 12, а, б) уменьшение вдвое числа холодных страт. Кинетика такого эффекта изучена при численном исследовании модели плотной ЭДП (см. рис. 22 в [109]).

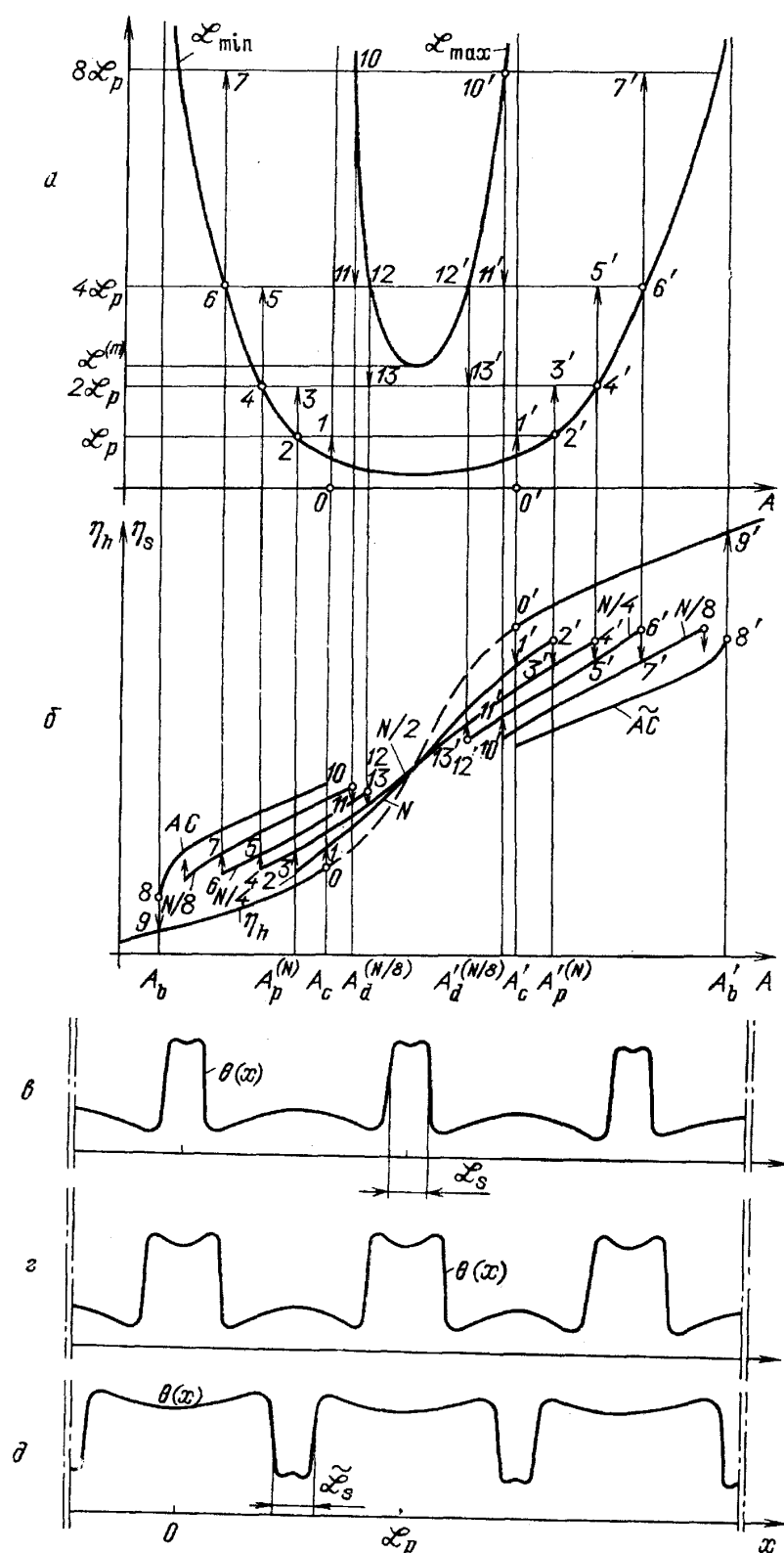


Рис. 12. К пояснению эволюции периодических страт. а, б — Вид зависимости L_{\min} и L_{\max} от A (а) и бифуркационной характеристики $\eta_s(A)$ (б). в, д — Распределение активатора в горячих (в, г) и холодных (д) стратах. Номера кривых $N, N/2, N/4, N/8$ на рис. б отвечают числу в системе страт периода $L_p, 2L_p, 4L_p, 8L_p$ соответственно, а AC и \tilde{AC} — горячему и холодному AC

(В некоторых системах в точке $A = A_p^{(N)}$ могут возникать страты, период которых также равен $2\mathcal{L}_p$, но содержит две (слабоискаженные) асимметричные страты.) При дальнейшем увеличении A в результате последовательности таких бифуркаций удвоения периода будет происходить последовательное скачкообразное уменьшение числа страт (скачки $4' \rightarrow 5', 6' \rightarrow 7', \dots$ на рис. 12, а, б). В итоге в системе при A , близких к A_b , может спонтанно возникнуть холодный АС, который скачкообразно (скачок $8' \rightarrow 9'$, рис. 12, б) исчезает в точке $A = A_b$, где $d\mathcal{L}_s/dA = d\eta_s/dA = \infty$ (см. п. 4.2 в [25]).

2) Спонтанно образующиеся в точке $A = A_c$ горячие страты при уменьшении A сужаются (рис. 12, в) и при некотором $A = A_p^{(N)}$ теряют устойчивость относительно перекачки активатора (п. 2.2). В результате в системе скачкообразно (скачок $2 \rightarrow 3$ на рис. 12, а, б) образуются горячие страты удвоенного периода. Кинетика такого эффекта показана на рис. 10. В результате последовательности таких бифуркаций удвоения периода (скачки $4 \rightarrow 5, 6 \rightarrow 7, \dots$ на рис. 12, а, б) в системе при A , близких к A_b может спонтанно возникнуть горячий АС, который скачкообразно (скачок $8 \rightarrow 9$ на рис. 12, б) исчезает в точке $A = A_b$, где $d\mathcal{L}_s/dA = d\eta_s/dA = \infty$ [25].

3) Образующиеся при A , близких к A_b , горячие страты периода $\mathcal{L}_p \gg L$ при увеличении A могут скачкообразно перестраиваться за счет рассмотренного в п. 2.1 эффекта локального пробоя. В результате такой динамической перестройки число страт в системе будет последовательно скачкообразно удваиваться, т. е. их период уменьшается вдвое (скачки $10 \rightarrow 11, 12 \rightarrow 13$ на рис. 12, а, б).

Этот же вывод относится и к холодным стратам периода $\mathcal{L}_p \gg L$, образующихся в соответствии со сценарием 1 вблизи $A = A_b$. В этом случае увеличение числа страт за счет локального пробоя происходит при уменьшении A (скачки $10' \rightarrow 11', 12' \rightarrow 13'$ на рис. 12, а, б).

4) В системах с $A_d < A_c$, т. е. когда реализуется ситуация, изображенная на рис. 8, б или г, может выполняться условие: $\mathcal{L}_0 > \mathcal{L}_{\max}(A_c)$. В этом случае в процессе образования страт, вызванного нарастанием критической флуктуации периода \mathcal{L}_0 , в формирующихся во времени областях высокого значения активатора происходит локальный пробой, который приводит к делению страт. В результате такой динамической перестройки образуются страты периода $\mathcal{L}_p < \mathcal{L}_0$, дальнейшая эволюция которых происходит в соответствии с изложенными выше сценариями 1—3.

3.2. Эволюция узких пиковых страт. Как подчеркивалось в п. 1.5.2, в КЛ- и КV-системах могут образовываться узкие или широкие пиковые страты (рис. 4). Эволюция узких пиковых страт (рис. 13), так же как и широких страт в КН- и КИ-системах, определяется эффектами локального пробоя и перекачки активатора между стратами, т. е. зависимостями $\mathcal{L}_{\max}(A)$ и $\mathcal{L}_{\min}(A)$ (рис. 13, в). Критическая флуктуация $\delta\theta \approx \delta\theta_{N/2,0}$, описывающая перекачку активатора в стратах периода \mathcal{L}_p (рис. 13, а), имеет период $2\mathcal{L}_p$ и локализована в областях пиков (рис. 13, б). Инкремент ее нарастания, рассчитанный без учета демпфирующего действия изменения ингибитора, т. е. при $\delta\eta = 0$, также как и для узкого пикового АС [25], близок к $\lambda_0 \sim -1$. Поэтому согласно условию устойчивости периодических страт (12.53), такие страты устойчивы, когда они имеют большой период и амплитуду (θ_{\max}). Последнее следует из того, что с ростом θ_{\max} увеличивается значение коэффициента $\alpha_{0,0}^{(0)}$ [25] в (12.53). Рассмотрим характерные сценарии самоорганизации в одномерных КЛ- и КV-системах.

1) При расслоении однородного состояния в КЛ- или КV-системах, скачкообразно (скачок $0 \rightarrow 1$ на рис. 13) образуются пиковые страты (п. 1.5.2) период которых \mathcal{L}_p может существенно превышать величину $\mathcal{L}_0 = 2\pi k_0^{-1}$. При этом, чем меньше величина $\varepsilon = l/L$, тем больше амплитуда страт θ_{\max} . При увеличении A амплитуда пиковых страт увеличивается, а при некоторых значениях $A = A_d^{(N)}, A_d^{(2N)}, \dots$ число страт последовательно скачкообразно удваивается (скачки $2 \rightarrow 3, 4 \rightarrow 5, \dots$ на рис. 13, в, г) в результате локального пробоя между стратами. Иными словами, в Л- и V-системах эволюция страт при увеличении уровня возбуждения системы, как правило, определяется не флуктуационной, а динамической перестройкой. При больших значениях A число страт может скачкообразно уменьшаться за счет эффекта перекачки активатора между близко расположенными стратами или же в системе возникает турбулентность (разд. 9).

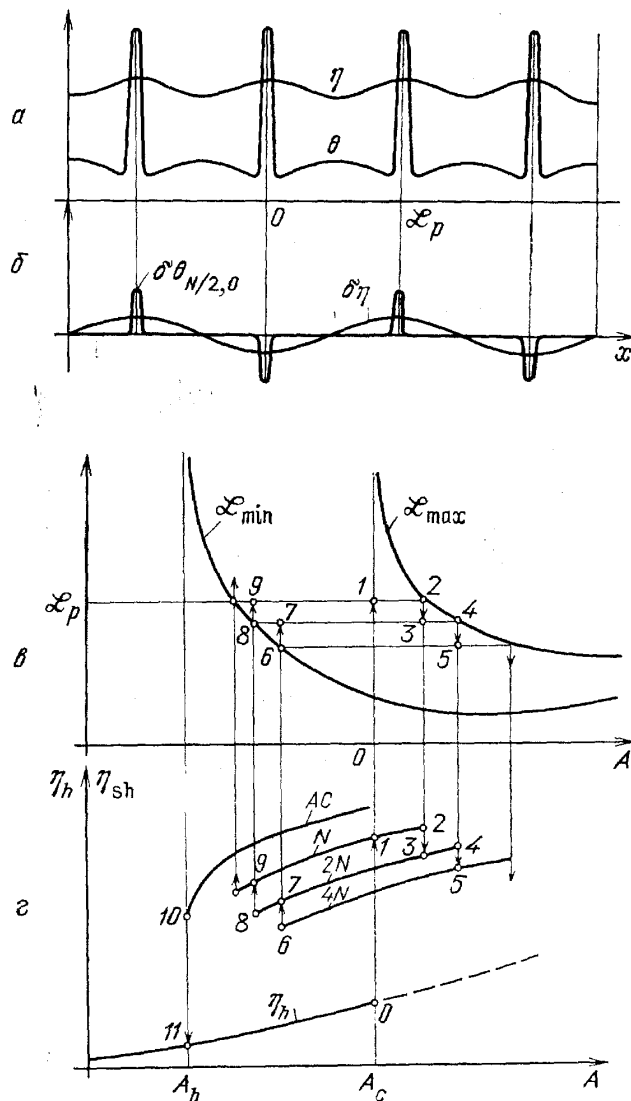


Рис. 13. К пояснению эволюции узких пиковых страт (а) в Л- и V-системах. б — Вид критических флуктуаций активатора $\delta\theta_{N/2,0}$ и демпфирующих их нарастание возмущений ингибитора $\delta\eta$ (б). Одна из возможных зависимостей \mathcal{L}_{\min} и \mathcal{L}_{\max} от A (в) и бифуркационных характеристик — зависимость значения ингибитора в пичке страт $\eta = \eta_{sh}$ от уровня возбуждения системы A (г). Номера кривых N , $2N$, $4N$ на рис. г отвечают числу в системе страт периода \mathcal{L}_p , $\mathcal{L}_p/2$, $\mathcal{L}_p/4$ соответственно, а AC — узкому пиковому автосоли-тону

2) При уменьшении A в результате эффекта перекачки, т. е. флуктуационной перестройки, число узких пиковых страт при некоторых значениях $A = A_p^{(4N)}, A_p^{(2N)}, \dots$ последовательно скачкообразно (скачки $6 \rightarrow 7, 8 \rightarrow 9, \dots$ на рис. 13, в, г) уменьшается, и при $A \rightarrow A_b$ в системе может спонтанно возникнуть узкий пиковый АС. В точке $A = A_b$, где $d\eta_{sh}/dA = \infty$, АС скачкообразно исчезает (скачок $10 \rightarrow 11$; рис. 13, г) [25].

3) В Л- и V-системах с «вырожденными» кривыми ЛС (кривые 1' на рис. 2, б, г) [25] число пиковых страт при увеличении A может скач-

кообразно удваиваться за счет локального пробоя в центре пиков. Такая ситуация реализуется [113], например, в модели лавинного пробоя р—п-перехода, рассмотренной в п. 7.1.

В Δ - и V-системах может спонтанно возникать турбулентность, механизмы и сценарии образования которой изложены в разд. 9.

4. Сценарии самоорганизации в реальных одномерных системах.

В реальных системах всегда присутствуют малые неоднородности, которые могут принципиально изменить процессы образования и эволюции ДС. Мелкомасштабные (локальные) неоднородности размера $d \lesssim (lL)^{1/2}$ и крупномасштабные — размера $d \gg (lL)^{1/2}$ по-разному влияют на картину самоорганизации. Рассмотрим наиболее характерные сценарии самоорганизации, реализующиеся в реальных системах.

**4.1. Спонтанное образование и эволюция автосо-
литонов [78, 79].** Самоорганизация в реальных системах может определяться спонтанным возникновением вблизи малых локальных неоднородностей автосо-литонов и их последующей эволюцией. Спонтанное образование АС происходит при уровне возбуждения системы, меньшем критического значения $A = A_c$ и приводит к динамической перестройке исходного почти однородного состояния системы.

4.1.1. При возрастании A , точнее при $A \rightarrow A_c$, малые локальные неоднородности по существу представляют собой зародыши спонтанного образования АС. Это связано с тем, что локальная неоднородность вызывает вблизи нее соответствующие возмущения активатора и ингибитора, амплитуда которого $\Delta\theta_m = \theta_{\max} - \theta_h$ при $A \rightarrow A_c$ возрастает. При этом монотонный спад $\theta(x)$ и $\eta(x)$ на периферии неоднородности к значениям θ_h и η_h для однородного состояния сменяется на осциллирующий⁽¹³⁾ с периодом $\mathcal{L}_0 = 2\pi k_0^{-1}$ (рис. 14).

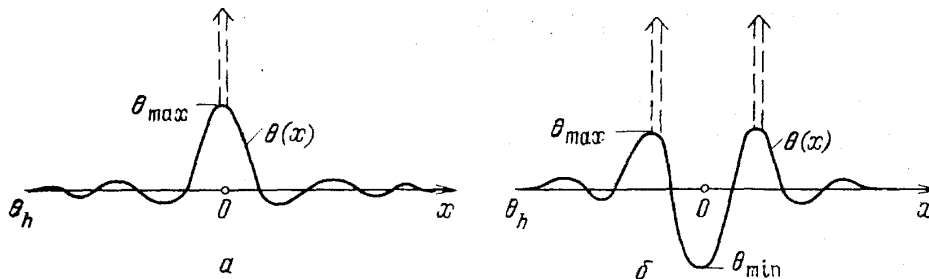


Рис. 14. Вид осцилляций активатора в устойчивой системе, возникающих при A , близких к A_c , вблизи малой неоднородности, вызывающей локальное увеличение (а) или уменьшение (б) активатора

В случае ситуации, изображенной на рис. 14, а, при A близких к A_c в области неоднородности величина ингибитора в центре неоднородности $\eta_m \approx \eta_h$ близка к η_0 , а величина активатора θ_{\max} близка к θ_0 . Напомним, что точка $\eta = \eta_0$, $\theta = \theta_0$ определяет экстремум кривой ЛС, где $d\theta/d\eta = \infty$ (рис. 6, б). Поэтому при некотором $A = A_c^- < A_c$, когда значение θ_{\max} превышает θ_0 на некоторую критическую величину, в центре неоднородности происходит локальный пробой — лавинообразное нарастание активатора от значения $\theta_{\max} \approx \theta_0$ до $\theta \approx \theta_d'$ (символически локальный пробой показан стрелкой на рис. 14, а и 6, б). В результате такого локального пробоя в месте расположения неоднородности спонтанно возникает АС. Кинетика его формирования в ЭДП (п. 8.2) показана на рис. 15 [111]. Заметим, что порог спонтанного образования АС, т. е. величина A_c^- , может заметно отличаться от точки расслоения $A = A_c$ однородного со-

стояния системы даже в тех случаях, когда амплитуда неоднородности a мала.

В ситуации, изображенной на рис. 14, б, значение активатора в центре неоднородности понижено, поэтому, в отличие от предыдущего случая, в центре неоднородности локальный пробой не происходит. Вместе с тем, как уже отмечалось, при $A \rightarrow A_c$ спад $\theta(x)$ к значению θ_n на периферии неоднородности приобретает осциллирующий характер. При этом значения $\theta = \theta_{\max}$ в максимумах осциллирующего распределения $\theta(x)$ (рис. 14, б) возрастают при $A \rightarrow A_c$. Поэтому при некотором $A = A_c^-$, когда значения θ_{\max} превысят величину θ_0 на некоторое критическое значение, в двух ближайших к центру неоднородности максимумах распределения $\theta(x)$ выполнятся условия возникновения локального пробоя.

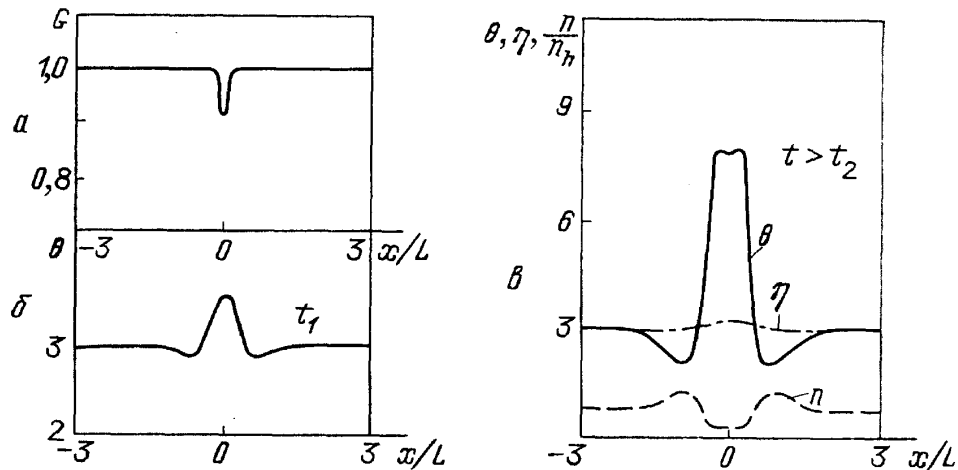


Рис. 15. Кинетика формирования статического АС у малой неоднородности в ЭДП, разогретой электрическим полем (п. 8.2). а — Вид малой статической неоднородности скорости генерации носителей. б, в — Распределение температуры $\theta = T/T_h$, концентрации носителей n/n_h и параметра η в промежуточном состоянии ($t = t_1$) и в АС ($t > t_2$) [111]; $t_1 = 1,2 \tau_r$, $t_2 = 5 \tau_r$

В результате таких локальных пробоев, происходящих в двух пространственно разнесенных точках (такие пробой символически изображены стрелками на рис. 14, б), в зависимости от параметров неоднородности и параметров системы могут реализовываться три различных эффекта: в системе могут образовываться

- а) АС сложного вида, состоящий из двух страт;
- б) обычный АС, в виде уединенной страты, возникающий из-за того, что в процессе формирования сложного АС одна из страт «погибает» за счет эффекта перекачки (п. 2.2);
- в) последовательность страт, заполняющих всю систему, образующихся в результате многократной генерации у неоднородности двух АС и их разбегания друг от друга в разные стороны от неоднородности.

Заметим, что рассмотренные эффекты локального пробоя, приводящие к спонтанному образованию АС у малых неоднородностей, имеет ту же природу, что и реализующиеся при $A \rightarrow A_c$ в осциллирующем «хвосте» АС (п. 2.1.2).

4.1.2. При таких параметрах системы, когда в ней вблизи малой неоднородности образуется АС в виде уединенной страты, его дальнейшая эволюция при изменении A может происходить по одному из следующих сценариев.

- 1) При увеличении A может произойти последовательное деление АС, вызванное рассмотренным в п. 2.1.1 эффектом локального пробоя в центре АС. Такая ситуация реализуется в системах с $A_d < A_c$ (рис. 8, б, в), когда величина A превысит критическое значение $A = A_d$.

2) Локальный пробой и деление АС в системах с $A_d < A_c$, для которых зависимость $\mathcal{L}_{\max}(A)$ совпадает с изображенной на рис. 8, б или з, может происходить уже в процессе спонтанного образования АС у малой неоднородности при $A = A_c^- > A_d$. В результате последовательного деления вновь образующихся АС вся система заполняется стратами (рис. 16).

3) Другой сценарий самоорганизации реализуется в системах, в которых деление АС не происходит вплоть до величины $A = A_c$ (рис. 8, а), отвечающей точке расслоения однородного состояния системы. В этом случае при $A \rightarrow A_c$ происходит локальный пробой на периферии АС (п. 2.1.2). При этом спонтанно могут возникать страты, в том числе и периодические, но с периодом $\mathcal{L}_p \approx \mathcal{L}_1$ (рис. 6, з), который может существенно отличаться от величины периода критической флуктуации $\mathcal{L}_0 = 2\pi_0^{-1} k \approx 2\pi (lL)^{1/2}$ (п. 1.5.1).

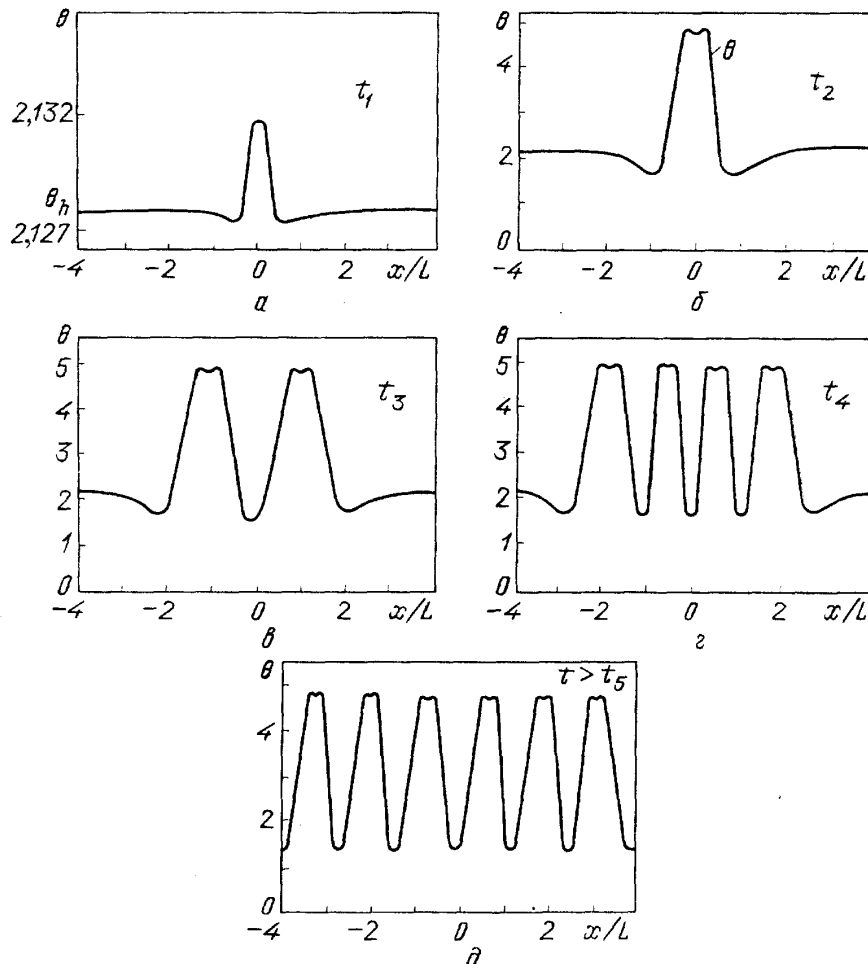


Рис. 16. Кинетика образования периодических страт (∂), возникающих в результате деления АС (δ , θ) в процессе его спонтанного образования (a , b) у малой (с относительной амплитудой $a=5 \cdot 10^{-3}$ и шириной $0,2L$) статической неоднородности, расположенной при $x=0$, $t_1=0,5 \tau_r$, $t_2=2 \tau_r$, $t_3=5 \tau_r$, $t_4=6 \tau_r$, $t_5=20 \tau_r$. Результаты численного моделирования «плотной» ЭДП [109]

4) При очень малой амплитуде локальной неоднородности спонтанное образование АС может происходить при значениях A , весьма близких к величине A_c . В этом случае амплитуда осцилляции $\theta(x)$ в «хвосте» образующегося АС, т. е. величина θ_1 (рис. 6, з), оказывается достаточно большой. Поэтому уже в процессе формирования АС у малой неоднородности в результате локальных пробоев в «хвосте» АС будет происходить последовательное возникновение страт, заполняющих всю систему. Физика образования таких страт аналогична изложенной в п. 2.1.2.

5) В реальных системах, как правило, существует целый набор локальных неоднородностей разной амплитуды. Поэтому при изменении A вблизи многих неоднородностей будет происходить последовательное образование ДС в соответствии со сценариями 1—4.

6) При наличии, кроме локальных, крупномасштабных неоднородностей, систему мысленно можно разбить на несколько областей, каждая из которых характеризуется своим значением A_c . В этом случае при A , близком к наименьшему из значений A_c , в соответствующей области будет происходить спонтанное образование ДС по одному из изложенных в данном пункте сценариев 1—4. Образование ДС в других областях системы при возрастании A может происходить в результате «прорастания» возникшей ДС в соседние области, а также за счет образования ДС в других областях системы по одному из сценариев 1—4.

В результате сложной картины самоорганизации, отвечающей сценариям 5 или 6, в реальных системах даже без участия флуктуации могут образовываться АС или ДС сложного вида. В рассматриваемом одномерном случае могут возникать ДС в виде стохастически расположенных несимметричных страт.

В КН- и КИ-системах изложенные выше сценарии самоорганизации могут реализовываться и при уменьшении A , точнее при $A \rightarrow A'_c$, в результате образования холодного АС у малой локальной неоднородности. Такая неоднородность вызывает возмущения активатора $\theta(x)$, спад которого вдали от неоднородности при $A \rightarrow A'_c$, так же как и при $A \rightarrow A_c$ (см. выше), носит осциллирующий характер (рис. 14). В данном случае локальный пробой, приводящий к образованию холодного АС, происходит в областях, где $\theta(x)$ достигает своего минимального значения θ_{\min} . Локальный пробой возникает, когда значение θ_{\min} оказывается меньше θ_0 на некоторую критическую величину. Он представляет собой лавинообразное локальное уменьшение активатора от значения $\theta_{\min} \approx \theta_0$ до $\theta \approx \theta_d$ (символически локальный пробой показан стрелкой на рис. 7, б). Локальный пробой в центре неоднородности с последующим образованием холодных страт, заполняющих всю систему (сценарий 4), реализуется, например, при уменьшении уровня разогрева устойчивой горячей ЭДП (п. 8.3). Кинетика такого пробоя показана на рис. 17.

4.2. Эволюция страт [78, 79]. Наличие малых локальных неоднородностей существенным образом сказывается и на эволюции страт вблизи точек $A = A_p^{(N)}$ бифуркации удвоения периода или точек $A = A_d^{(N)}$ удвоения числа страт (рис. 12, а, б). В этом случае количество страт при изменении A может уменьшиться или увеличиться (в результате динамической перестройки) не вдвое (см. разд. 3), а например, на одну страту или несколько страт. Перестройка вида ДС вследствие появления или исчезновения нескольких новых страт в отдельных фрагментах ДС является характерной особенностью самоорганизации в реальных системах, содержащих малые неоднородности. При этом, как правило, возникает ДС в виде непериодически расположенных страт. В некоторых случаях параметры страт вне такого фрагмента могут измениться так, что ДС становится близкой к периодической.

4.3. Экспериментальные результаты. Рассмотренные выше сценарии самоорганизации наблюдаются при экспериментальных исследованиях страт в высокочастотном газовом разряде [146], светящихся точек в ЭДП в GaAs [31а], областей металлической проводимости в композитных сверхпроводниках [19, 142], светящихся нитей лавинного тока вобратносмещенной Si p⁺—n—n⁺-структуре (рис. 18) [35], а также шнуров тока в структурах с газовым промежутком [57, 87] и в элек-

тронном аналоге активной системы (рис. 19) [87]. Из рис. 18 и 19 видно, что по мере увеличения уровня возбуждения (падения напряжения на структуре V) вначале в структуре спонтанно образуется АС в виде одного шнура тока (картинка 1 на этих рисунках). При дальнейшем увеличении число шнуров увеличивается (картинки 2 и 3 на рис. 18 и 19), и в системе образуется ДС в виде неперiodически расположенных шнуров тока.

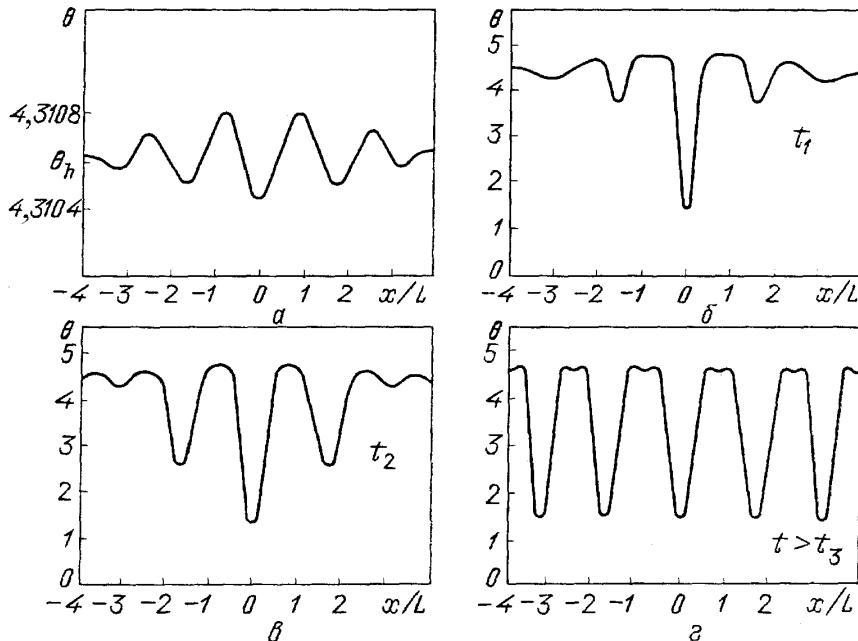


Рис. 17. Кинетика образования периодических страт (z), возникающих в результате локальных пробоев в «хвостах» холодного автосолитона ($б, в$) в процессе его образования у малой (с относительной амплитудой $a=5 \cdot 10^{-4}$ и шириной $0,16L$) статической неоднородности, расположенной при $x=0$. На рис. a показаны затухающие при удалении от неоднородности осцилляции активатора. $t_1=1,2 \tau_r$, $t_2=1,7 \tau_r$, $t_3=3 \tau_r$. Результаты численного моделирования «плотной» ЭДП (п. 8.3), выполненного авторами работы [100]

Экспериментальные исследования [87] подтверждают и другие предсказанные в теории [76, 79] (п. 3.1) особенности эволюции страт. При увеличении $A \equiv V$ шнуры тока, т. е. области высокого значения активатора («горячие» страты), расширяются, и ДС приобретает вид узких «холодных» страт — областей низкого значения тока (картинка 4 на рис. 19). Затем такие страты в соответствии с результатами п. 4.2 последовательно скачкообразно исчезают и в структуре устанавливается состояние, близкое к однородному (картинка 5 на рис. 19). Если теперь уменьшать напряжение V , то в структуре снова начинают спонтанно возникать шнуры, но уже в виде «холодных» страт (картинка 6, рис. 19). Такие страты при дальнейшем уменьшении V расширяются и в структуре вновь образуется ДС в виде узких горячих страт — шнуров высокой плотности тока (картинка 7, рис. 19), которые затем последовательно скачкообразно исчезают.

5. Самоорганизация в дву- и трехмерных системах. В К-системах самоорганизация определяется тремя эффектами, рассмотренными в разд. 2: локальным пробоем в некоторых областях ДС, перекачкой активатора между фрагментами ДС и «гофрировкой» стенок страт или более сложных ДС [77, 79]. Последний из них может приводить к дроблению стенок страт или поверхностных слоев ДС (областей резкого изменения активатора) на более мелкие области, либо к образованию гофрированной или ячеистой поверхности стенок ДС (рис. 11).

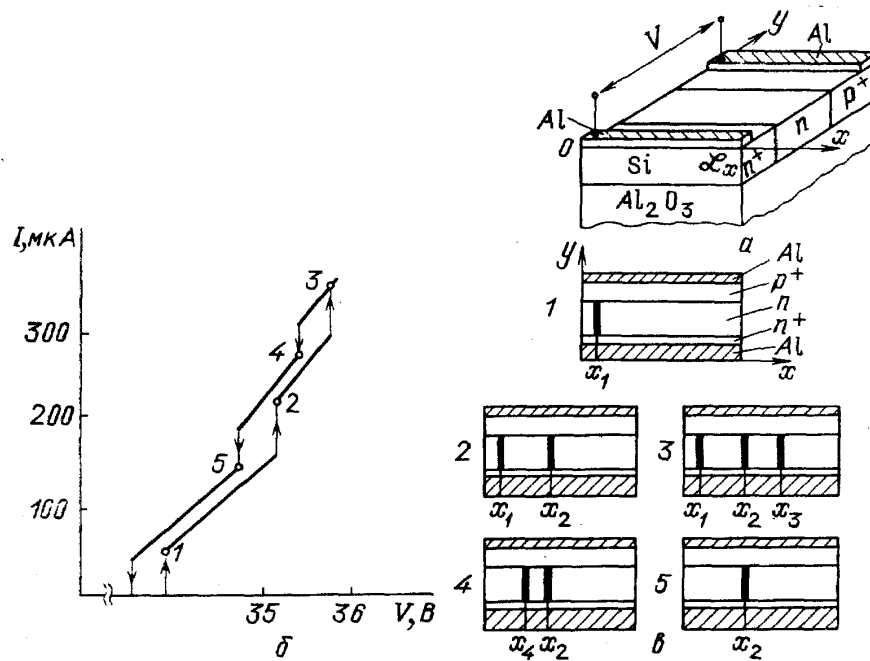


Рис. 18. Результаты экспериментального исследования эволюции страт (в виде светящихся нитей тока) в Si обратнсмещенной p^+-n-n^+ -структуре (а) [35]. Точки 1—5 на ВАХ образца I (V) (б) коррелируют с номерами 1—5 картин расположения в p^+-n-n^+ -структуре страт в виде светящихся шнуров тока (зачерненные области) (в), $\mathcal{L}_x = 15 \cdot 10^{-4}$ см, $x_1 = 10^{-4}$ см, $x_2 = 4 \cdot 10^{-4}$ см, $x_3 = 6 \cdot 10^{-4}$ см, $x_4 = 2,5 \cdot 10^{-4}$ см

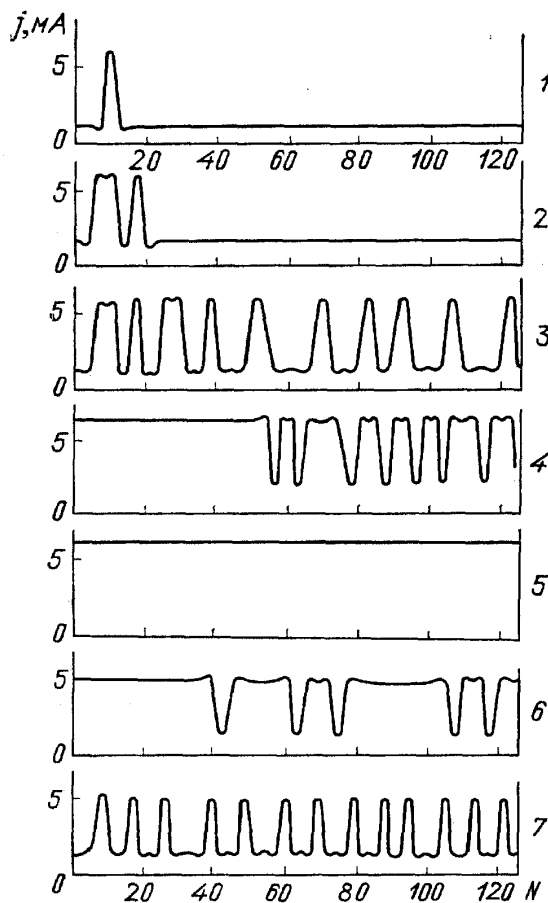


Рис. 19. Результаты экспериментального исследования эволюции страт (в виде шнуров тока) в дискретном электронном аналоге активной среды с диффузией [87] при увеличении (распределения 1—5) и уменьшении (6, 7) напряжения на структуре

5.1. О форме и эволюции ДС в идеально однородных системах [77,79].

5.1.1. В дву- и трехмерных КН- и КИ-системах точки $A = A_c$ расслоения их однородного состояния является вырожденной, т. е. ей отвечает

множество различного вида нарастающих флуктуаций [3, 6, 12]. Поэтому здесь возникает нетривиальный вопрос, какого вида ДС образуется в идеально однородной системе при расслоении ее однородного состояния? Существенную роль при этом играет форма системы [3, 6, 12].

5.1.2. Простейшая ДС представляет собой периодически расположенные страты (рис. 6, *a* и 7, *a*) [76, 77]. В дву- и трехмерных системах страты заданного периода \mathcal{L}_p , как правило, существуют в меньшем диапазоне изменения A , чем в одномерных системах. Это связано с тем, что как при сужении, так и при расширении страт, они могут терять устойчивость относительно гофрировки их стенок (п. 2.3). В результате могут образовываться страты с гофрированными стенками (рис. 11, *в*), или же произойдет разбиение страт на более мелкие области (рис. 11, *б*). В последнем случае в системе могут возникать ДС, представляющие собой решетку периодически расположенных взаимодействующих автосолионов в виде пятен или сгустков, т. е. областей высокого (низкого) значения активатора. Распределения активатора и ингибитора по сечению, проходящему через центр таких АС, близко к распределениям $\theta(x)$ и $\eta(x)$ в стратах [77].

Расстояние R между взаимодействующими АС ограничено величинами R_{\min} и R_{\max} , значения которых, как и в одномерном случае (разд. 2), можно найти из анализа условий неустойчивости типа «перекачки» и локального пробоя [77–79].

Эволюцию периодической дву- или трехмерной решетки взаимодействующих АС, так же как и периодических страт в одномерных системах (разд. 3), качественно можно установить по зависимостям R_{\min} и R_{\max} от уровня возбуждения A . При этом в КН- и КИ-системах реализуются все сценарии самоорганизации, изложенные в п. 3.1. Однако в отличие от периодически расположенных страт, в данном случае локальный пробой может происходить не между ближайшими АС, а в областях, наиболее далеко расположенных от центров АС. Напротив, именно наиболее близко расположенные АС раньше теряют устойчивость относительно перекачки активатора. Кроме того, при изменении A автосолионы в КН- и КИ-системах могут терять устойчивость относительно гофрировки их стенок. Поясним этот эффект на примере радиально-симметричных ДС.

5.1.3. В системе имеющей радиальную симметрию, при $A = A_c$ могут скачкообразно образовываться радиально-симметричные ДС большой амплитуды: в двумерном случае в виде вложенных колец, а в трехмерном — в виде полых шаров [77]. Распределение $\theta(\rho)$ и $\eta(\rho)$ в кольце или полом шаре (см. рис. 11, *в* в [25]) близко к распределению $\theta(x)$ и $\eta(x)$ в стратах.

Фрагмент ДС в виде кольца (или полого шара) с внутренним радиусом $\rho_{01} > L$ устойчив при таких значениях A , когда его толщина $\mathcal{L}_s = \rho_{02} - \rho_{01}$ заключена в диапазоне, границы которого \mathcal{L}_{b1} и \mathcal{L}_{c1} можно оценить по формулам (4.33) или (4.35) в обзоре [25]. Вне этого диапазона такой фрагмент ДС теряет устойчивость относительно радиально-несимметричных флуктуаций, приводящих к гофрировке его стенок (образованию на поверхности стенок ДС структур в виде ячеек) или разбиению его на более мелкие пятна (сгустки).

Кольцо (или полый шар) может перестраиваться и в результате эффектов локального пробоя, изложенных в п. 2.1 применительно к стратам.

Поскольку кольца (полые шары) в ДС отличаются радиусами, а следовательно, и толщиной, то их перестройка может происходить при различных значениях A . Иными словами, преобразование радиально-симметричной ДС при изменении A может происходить в результате неустойчивости или локального пробоя в одном из ее фрагментов. Как следствие

этого даже в радиально-симметричной системе могут образовываться ДС сложного вида.

5.1.4. Обобщая изложенные выше результаты, можно сделать вывод. [77], что в ДС сложного вида ингибитор $\eta(\mathbf{r})$ плавно меняется по пространству с характерной длиной $\sim L$, а распределение $\theta(\mathbf{r})$ представляет собой контрастную картину: в некоторых областях (поверхностных слоях — стенках ДС) активатор θ резко меняется от значения $\theta_{\min} \approx \theta_{s1}$ до значения $\theta_{\max} \approx \theta_{s3}$ (п. 12.1) на длине $\sim l \ll L$. В областях плавного изменения $\theta(\mathbf{r})$ и $\eta(\mathbf{r})$, т. е. между стенками ДС, величины θ и η с точностью до $\varepsilon \ll 1$ удовлетворяют уравнению (1.29), точнее соответствуют I или III ветвям ЛС (рис. 2, а, в). Иными словами, между стенками ДС значения $\theta < \theta_0$ или $\theta > \theta_0$ (п. 1.3 и 12.1). При таких значениях θ производная $q_\theta > 0$, т. е. состояние системы является устойчивым (п. 1.1). Неустойчивая разогретая область, где $\theta_0 < \theta(\mathbf{r}) < \theta'_0$, а $q_\theta < 0$, расположена лишь в узких, размера $\sim l$, поверхностных слоях (стенках) резкого изменения $\theta(\mathbf{r})$. Сформулированные требования к виду устойчивых ДС [77] подтверждаются результатами численных исследований, проведенных в цикле работ [95]. ДС при изменении A весьма сложным образом перестраивается в результате локального пробоя в одном из фрагментов ДС, эффектов неустойчивости типа перекачки или гофрировки стенок ДС [77].

5.2. Эволюция узких пиковых ДС [77, 79, 147]. В одномерных идеально однородных КЛ- и КV-системах могут образовываться узкие пиковые страты (рис. 5). В дву- и трехмерном случае такие страты, так же как и одномерный узкий пиковый АС (п. 5.2 в [25]), неустойчивы относительно их разбиения на более мелкие области. Неустойчивость связана с нарастанием флуктуации активатора, локализованной в области пика страт и неоднородных вдоль его поверхности. Относительно разбиения неустойчивы также радиально-симметричные кольца (полые шары), а также любые другие пятна (сгустки), размер которых хотя бы в одном из направлений существенно превосходит l [77].

Единственно устойчивыми ДС являются пятна (сгустки) размера порядка l , находящиеся друг от друга на расстоянии R таком, что $R_{\max}(A) > R > R_{\min}(A)$, где величина R_{\min} определяется из условия неустойчивости типа перекачки (п. 12.4), а R_{\max} — из условия локального пробоя (п. 12.2) между пятнами (сгустками).

Эволюция периодической решетки взаимодействующих узких пиковых АС аналогична эволюции периодических страт в одномерных системах (п. 3.2). Качественно ее можно установить по зависимостям R_{\min} и R_{\max} от уровня возбуждения системы A (см., однако, замечание в конце п. 5.1.2).

Изменения θ и η в сечении пятен (сгустков) близко к распределениям активатора и ингибитора в узкой пиковой горячей страте (рис. 4, а). Эти результаты объясняют форму ДС, которая была обнаружена Гирером и Майнхардтом при численном исследовании модели КV-системы (1.11) [92, 93].

5.3. Сценарии самоорганизации в реальных системах [78, 79]. Наличие в реальных системах малых неоднородностей приводит к тому, что в них самоорганизация может определяться спонтанным образованием АС вблизи некоторых локальных неоднородностей.

5.3.1. В КЛ- и КV-системах (п. 5.2) образуются пиковые АС [25] в виде пятен или сгустков высокого значения активатора. В этом случае картина самоорганизации состоит в постепенном заполнении системы пиковыми АС, которые возникают в соответствии с полем неоднородно-

сти системы, или же вблизи уже образовавшегося АС по одному из сценариев 3—6, изложенных в п. 4.1.2.

Однако в дву- или трехмерных системах в сценариях 3 и 4 (п. 4.1.2) могут проявляться качественные особенности. Это связано с тем, что при $A \rightarrow A_c$ на периферии АС вместо осциллирующих хвостов (рис. 6, з) образуется радиально-симметричное осциллирующее распределение активатора в виде серии вложенных друг в друга колец (или полых шаров). В кольцах (полых шарах) амплитуда осцилляции активатора уменьшается по мере удаления от центра АС. Как уже отмечалось в КЛ- и КV-системах пиковые ДС в виде кольца (или полого шара) неустойчивы [77]. Поэтому локальный пробой в осциллирующем хвосте АС (п. 2.1.2) в данном случае приводит к резкому увеличению активатора в ближайшем к центру АС кольце. В процессе формирования области высокого значения активатора в виде узкого кольца (полого шара) происходит разбиение такой области на мелкие части в виде пиковых АС малого радиуса ($\sim l$). Таким образом, уже одна малая локальная неоднородность приведет при $A \rightarrow A_c$ к заполнению всей системы взаимодействующими пиковыми АС.

5.3.2. В КN- и КИ-системах у малой локальной неоднородности при A , близких к A_c , образуется радиально-симметричный АС, радиус которого зависит от нелинейностей системы. При этом реализуются все сценарии самоорганизации, изложенные в п. 4.1.2. Однако эти сценарии в дву- и трехмерном случае имеют определенные особенности.

Особенности сценариев 3 и 4, изложенных в п. 4.1.2, связаны с тем, что в КN- и КИ-системах вокруг АС при $A \rightarrow A_c$ в результате локального пробоя в радиально-симметричном хвосте АС может образовываться сначала одно, а затем большее число колец (или полых шаров). Иными словами, в системе, содержащей только одну локальную неоднородность может спонтанно возникнуть радиально-симметричная ДС. Такое состояние может оказаться неустойчивым относительно радиально-несимметричных флуктуаций. Поэтому в результате спонтанного образования АС вблизи малой неоднородности может возникнуть также ДС в виде вложенных друг в друга колец (полых шаров) с гофрированной (или ячеистой) поверхностью или же система заполнится множеством взаимодействующих АС, каждый из которых по форме близок к радиально-симметричному АС.

Особенности сценариев 1 и 2, изложенных в п. 4.1.2, в дву- или трехмерных КN- и КИ-системах с $A_d < A_c$ состоят в том, что локальный пробой в центре АС в виде пятна или сгустка может приводить к состоянию в виде кольца или полого шара (см. п. 4.4 в [25]). В кольце (или полом шаре), в свою очередь, может происходить локальный пробой за счет которого могут образовываться сначала два, а затем и большее число вложенных друг в друга колец (полых шаров). Однако может реализовываться и другая ситуация за счет того, что радиально-симметричные состояния, как отмечалось выше, при том же (или большем) значении A могут раздробиться на более мелкие части. Такое раздробление может происходить как в результате неустойчивости типа гофрировки стенок ДС (см. п. 2.3), так и в результате динамической перестройки, когда стенка расширяющегося кольца натолкнется на одну из неоднородностей.

5.4. Самодостройка ДС при локальном возбуждении и среды. Роль неоднородности, как затравки для скачкообразного возникновения АС, может выполнять кратковременное возбуждение среды в локальной области [25]. При этом реализуются все изложенные в разд. 4 и п. 5.3 сценарии самоорганизации. В частности, после кратковременного локального возбуждения среды в процессе формирования АС

могут возникнуть периодические или более сложного вида ДС. Такой процесс формирования ДС называется самоподстройкой [8, 17, 94, 95]. Экспериментально самоподстройка ДС наблюдалась при исследованиях страт в газовом разряде [14]. Формирование ДС в результате самоподстройки изучалось при численных исследованиях актиоматических моделей активных сред [92—95] (см. также [8, 10, 17, 19, 96, 97, 100, 104, 105, 106, 109, 111, 113, 142]).

Процесс формирования ДС в результате самоподстройки также связан с рассмотренными в разд. 2—5 эффектами. В частности, обнаруженная Гирером и Мейнхардом [92, 93] самоподстройка пичковой ДС (см. рис. 10.3 в монографии Хакена [5]) при численном исследовании двумерной модели (1.11), связана с локальным пробоем на периферии пичкового АС (п. 5.3.1). Такой локальный пробой приводит к формированию узкого кольца вокруг АС. В результате неустойчивости такого кольца относительно радиально-несимметричных флуктуаций [77] оно дробится на более мелкие области — пичковые АС малого радиуса (п. 5.3.1). В результате последовательности таких процессов вся система заполняется взаимодействующими пичковыми АС. Эффект раздробления протяженных двумерных областей ДС на более мелкие области, связанный с гофрировкой стенок ДС, наблюдается также и при численном исследовании формирования сложных двумерных ДС, образующихся в моделях сред с дальнедействующими связями (1.31), (1.32) [131, 132].

6. Особенности самоорганизации в бистабильных (триггерных) системах [79]. В бистабильных системах зависимость значения ингибитора (и активатора) для однородного состояния системы по определению является неоднозначной функцией уровня возбуждения A (рис. 20). При этом существует диапазон значений $A'_c < A < A_c$, в котором реализуется три однородных состояния $(\eta_{h1}, \theta_{h1}; \eta_{h2}, \theta_{h2}; \eta_{h3}, \theta_{h3})$, два из которых устойчивы, отвечающие соответственно холодному ($\theta_{h1} < \theta_0$) и горячему ($\theta_{h3} > \theta_0$) состояниям системы. Такая ситуация может реализовываться, например, в полупроводниках [148, 149], в полупроводниковых и газоразрядных структурах [57, 58, 150], в электронно-дырочной и газовой плазме [48] и в ряде химических реакций [10, 16]. В отличие от рассмотренных в разделах 1—3 моностабильных систем, в бистабильных системах величина $A_c > A'_c$ (рис. 20).

Изложенная в разд. 1—5 теория описывает форму и устойчивость ДС и в бистабильных системах, если для них справедливы условия (1.3) и $q_\eta Q_\theta < 0$, которые выполняются для моностабильных систем (п. 1.3). Вместе с тем, самоорганизация даже в таких бистабильных системах имеет некоторые особенности.

Характер этих особенностей зависит от соотношения между величинами A'_c и A_b или A_c и A'_b , где $A = A_b$, A'_b — точки, в которых $d\eta_s/dA = \infty$. Напомним, что значения A_b и A'_b есть граничные значения уровней возбуждения, при которых в системе еще можно возбудить ДС (при $A = A_b$ — в виде горячего АС, а при $A = A'_b$ — в виде холодного АС [25]).

В зависимости от параметров системы может реализовываться четыре различных случая: а) $A_b < A'_c$, $A'_b > A_c$ (рис. 20, а, б); б) $A_b > A'_c$, $A'_b < A_c$ (рис. 20, в, г); в) $A_b > A_c$, $A'_b > A_c$; г) $A_b < A'_c$, $A'_b < A_c$.

В случае а) в точке $A = A_c$ (или $A = A'_c$) расслоение однородного состояния системы приводит к спонтанному образованию ДС — в одномерном случае страт. Кинетика их образования, эволюция и влияние малых неоднородностей совпадают с изложенными в разд. 1—5 для КН- и КИ-систем.

Поскольку при $A < A_b$ (или $A > A'_b$) ДС в системе не реализуются, то в случае б) расслоение однородного состояния системы при $A = A_c$ (или $A = A'_c$) будет приводить не к образованию ДС, а к скачкообразному переходу из неустойчивого однородного состояния в устойчивое (скачки $3 \rightarrow 4$ и $3' \rightarrow 4'$ на рис. 20, в, г). Наличие малых неоднородностей здесь будет приводить при $A \rightarrow A_c$ (или $A \rightarrow A'_c$) к локальному пробую и возникновению волн переключения (п. 8.1 в [25]) из одного однородного состояния в другое.

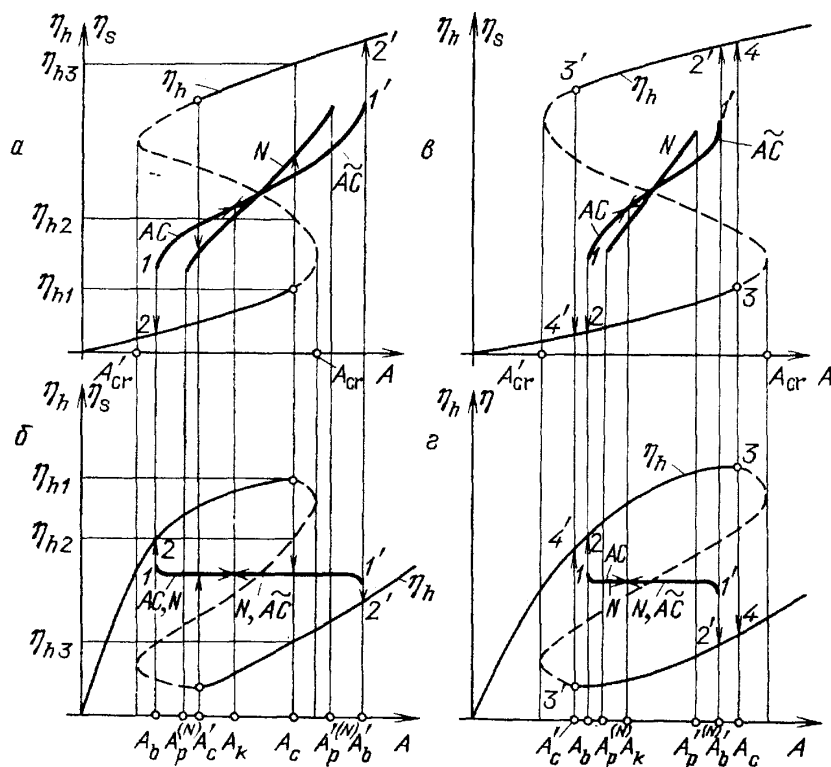


Рис. 20. Эволюция страт в бистабильных системах с $A_b < A'_c$, $A'_b > A_c$ (а, б) и с $A_b > A'_c$, $A'_b < A_c$ (в, г): а, в — примеры бифуркационных характеристик для И-систем с $q'_A < 0$, $Q'_A = 0$; б, г — для N-систем с $q'_A = 0$; $Q'_A < 0$. Кривые N отвечают периодическим стратам, а AC и $A'C$ — горячему и холодному АС. Штриховые линии соответствуют неустойчивым состояниям

В случаях в) и г) самоорганизация имеет весьма нетривиальные особенности. Так, в случае в) при разогреве холодной системы (при увеличении A) в точке $A = A_c$ скачкообразно образуются ДС, эволюция которых совпадает с изложенной в разд. 3—5. В то же время при охлаждении горячей системы (уменьшении A) в точке $A = A'_c$ ДС не образуются, а осуществляется скачкообразный переход из горячего в холодное устойчивое однородное состояние. Напротив, в случае г) в точке $A = A_c$ ДС не образуются, а система скачкообразно переходит из холодного в горячее устойчивое однородное состояние; при охлаждении же горячей системы в точке $A = A'_c$ спонтанно образуются ДС, эволюция которых совпадает с изложенной в разд. 3—5.

7. Активные среды с разделенными по пространству областями активации и ингибирования. К активным распределенным средам с диффузией, кроме перечисленных в п. 1.1 однородных по объему систем различной природы, относятся также многослойные структуры, однородные только по площади или поперечному сечению. В них процессы активаци-

ции и ингибирования могут протекать в разделенных по пространству областях. Свойства ДС в таких структурах, а следовательно, и процессы самоорганизации, также описываются уравнениями (1.1), (1.2) для двух- или одномерного случая.

Активные среды с разделенными по пространству областями активации и ингибирования составляют весьма широкий класс, к которому относятся многие активные элементы полупроводниковой электроники. Такие среды являются не только важными, но и удобными объектами для экспериментального изучения рассмотренных в разд. 2—6 процессов самоорганизации. Последнее связано с возможностью независимого изменения параметров любого из составляющих структуру слоев. Ниже рассматриваются некоторые примеры таких сред.

7.1. Светящиеся нити лавинного тока в р—п-структурах. Распределение плотности лавинного тока $j = env_d$ по площади обратносмещенных р—п- и р—і—п-структур описывается уравнениями типа (1.1), (1.2) [34]:

$$\tau_n \frac{\partial n}{\partial t} = l^2 \Delta_{\perp} n + nv_i(n, V_i) \tau_n - n + G \tau_n, \quad (7.1)$$

$$\tau_v \frac{\partial V_i}{\partial t} = L^2 \Delta_{\perp} V_i - j\rho + V - V_i. \quad (7.2)$$

Первое из них есть уравнение баланса электронов (1.17), усредненное по толщине области пространственного заряда (ОПЗ) р—п-перехода (рис. 21, а); в нем $\tau_n = w/v_d$ — время пролета электронов через ОПЗ, толщина которой равна w ; v_d — дрейфовая скорость электронов; $l = (D_e \tau_n)^{1/2}$, D_e — коэффициент диффузии электронов; G — скорость тепловой генерации носителей в ОПЗ. Уравнение (7.2) описывает распределение падения напряжения V_i на ОПЗ р—п-перехода (рис. 21, а), связанное с растеканием тока по квазинейтральной области структуры. В нем $\tau_v = C\rho$; V — полное падение напряжения на структуре; C — удельная емкость р—п-перехода; $\rho = W/\sigma$; σ , W — проводимость и толщина области п- (или р-) типа структуры, которая имеет большее значение ρ ; $L \approx W$. В таких структурах процесс ингибирования связан с растеканием тока в квазинейтральных р- или п-областях, представляющих собой распределенные резистивные слои (рис. 21, а), а процесс активации протекает в ОПЗ р—п- или р—і—п-структуры и связан с возрастающей зависимостью v_i от n [34].

В рассматриваемом случае роль активатора играет средняя концентрация электронов в ОПЗ ($\theta \equiv n$), а роль ингибитора — падение напряжения на ОПЗ ($\eta \equiv V_i$). Положительная обратная связь по активатору связана с процессом самопроизводства электронов⁽¹⁴⁾, который определяется возрастающей зависимостью средней по ОПЗ скорости ударной ионизации v_i от n . Демпфирующая роль ингибитора определяется тем, что при $V = \text{const}$ однородное увеличение n , т. е. плотности тока j , сопровождается соответствующим уменьшением величины V_i из-за увеличения падения напряжения на квазинейтральных областях структуры. Это в свою очередь, за счет сильно возрастающей зависимости скорости ионизации носителей v_i от V_i , приводит к резкому уменьшению концентрации носителей в ОПЗ. Благодаря этому ВАХ рассматриваемой структуры оказывается однозначной (кривая 3 на рис. 21, б). Несмотря на это происходит расслоение однородного распределения плотности лавинного тока, т. е. выполняется условие расслоения Тьюринга (1.10) [34].

Расслоение плотности лавинного тока связано с тем, что в реальных структурах длина растекания тока L на много порядков превышает l — длину диффузии электронов за время их пролета ОПЗ, т. е. $\varepsilon = l/L \ll$

«1. Благодаря этому, условие расслоения выполняется даже при слабой зависимости v_i от n . В результате расслоения, физика которого рассмотрена в [34, 113], в структурах образуются области высокой плотности электронов и лавинного тока. Этот эффект является ярким примером образования пиковых ДС в реальных физических системах (рис. 21). Возникновение пиковых ДС в рассматриваемом случае непосредственно следует из того, что кривая ЛС (п. 1.3), т. е. зависимость $V_i(n)$, вытекающая из уравнения (7.1) для однородного стационарного случая,

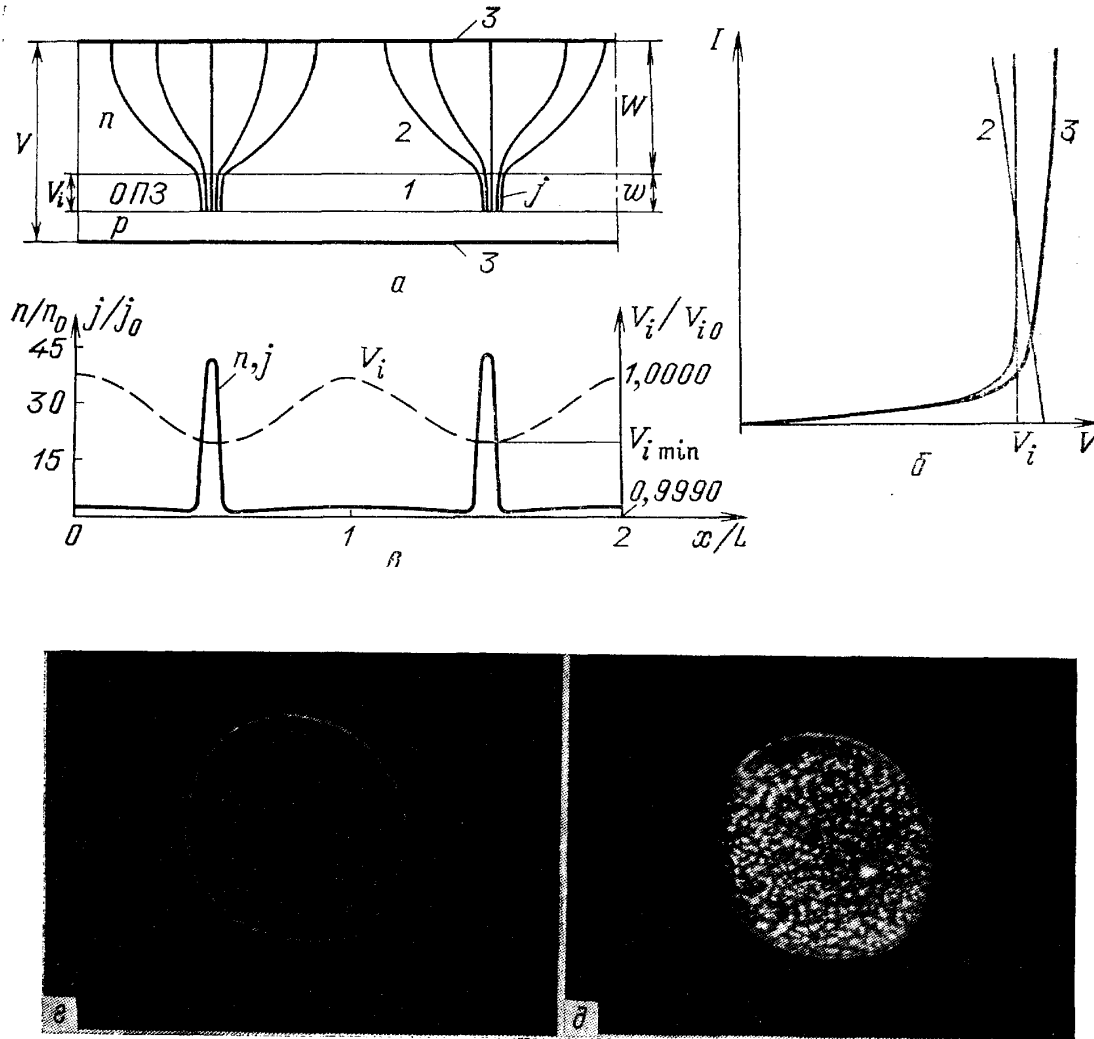


Рис. 21. К пояснению образования светящихся точек при расслоении однородного лавинного пробоя р—п-переходов. а — Структура р—п-перехода (тонкими сплошными линиями схематически показаны линии тока в пределах двух периодов пиковой ДС; 1 — активный слой — ОПЗ р—п-перехода, 2 — резистивный слой, 3 — металлические контакты). б — ВАХ активного слоя — $I(V_i)$ (кривая между 2 и 3), нагрузочная характеристика, определяемая проводимостью резистивного слоя (2) и результирующая ВАХ всей структуры (3). в — Результаты численных расчетов [113] распределений n , j и V_i . г, д — Фотографии излучения в плоскости р—п-перехода [34] при токе, меньшем и большем критического значения, соответственно

имеет Λ -образный вид. В эксперименте образование пиковых ДС наблюдается в виде смены однородного по площади свечения р — п-перехода (рис. 21, в) на резко контрастное в виде светящихся на темном фоне точек (рис. 21, д) [34] или нитей (рис. 18) [35]. Картина спонтанного возникновения и эволюции таких точек или нитей полностью согласуется с изложенной в разд. 4 и 5.

7.2. Многошнуровые состояния в полупроводниковой пленке с перегревной неустойчивостью. Рассмотрим сэндвич-структуру, состоящую из тонкой (толщиной ω) полупроводниковой пленки и значительно более толстой резистивной подложки, с нанесенными на них металлическими электродами (рис. 22, а). Под действием электрического поля $E = V_1 \omega^{-1}$ электроны в пленке разогреваются. Распределение их эффективной температуры T описывается уравнением (1.18) [21, 23], в котором $W_j = \sigma_e V_1^2 \omega^{-2}$, а $j_e = \kappa_e \nabla T$; σ_e и κ_e —

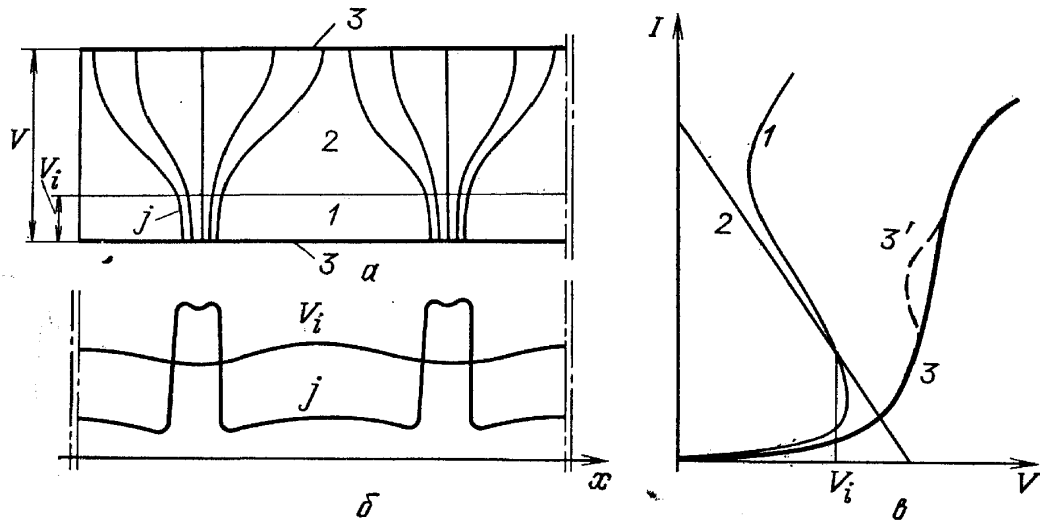


Рис. 22. К пояснению систем с разделенными по пространству областями активации и ингибирования. а — Схема сэндвич-структуры; 1 — активный слой толщиной ω , 2 — резистивный слой (область ингибирования) толщиной W , 3 — металлические контакты. б — Распределение плотности тока j и падения напряжения V_1 на активном слое. в — S-образная ВАХ активного слоя (кривая 1), нагрузочная характеристика резистивного слоя (2), возможные типы результирующих ВАХ всей структуры (3 и 3')

проводимость и теплопроводность электронов. В данном случае температура электронов (точнее величина $\theta = \int \kappa_e(T) dT$) играет роль активатора. Легко убедиться, что второе из условий (1.3) совпадает с условием перегревной неустойчивости электронного газа [21]. Роль ингибитора здесь играет падение напряжения на полупроводниковой пленке V_1 , распределение которого по площади пленки описывается уравнением (7.2), в котором $j = \sigma_e V_1 \omega^{-1}$, $\rho = W/\sigma$; W , σ и τ_V — толщина, проводимость и максвелловское время диэлектрической релаксации резистивного слоя; V — падение напряжения на всей структуре; $L \approx W$.

Перегревную неустойчивость в полупроводниках обычно рассматривают при наличии сосредоточенного нагрузочного сопротивления во внешней цепи, когда устойчивым оказывается лишь одиночный шнур тока, параметры которого зависят от размера полупроводниковой пластины [21, 23, 24]. В рассматриваемой же сэндвич-структуре (рис. 22, а) благодаря растеканию тока в резистивном слое, т. е. перераспределению напряжений между слоями, образуются устойчивые многошнуровые состояния, распределение плотности тока $j = \sigma_e E$ в которых качественно совпадает с распределением температуры электронов T (рис. 22, б). При этом параметры образующихся шнуров не зависят от размеров системы, а определяются параметрами слоев, прежде всего толщиной W резистивного слоя и длиной релаксации энергии электронов l_e в пленке. Величина $W \approx L$ согласно (7.2) определяет распределение напряжения V_1 , т. е. ингибитора ($\eta \equiv V_1$), а величина l_e — распределение T , т. е. активатора.

Таким образом, в данном случае $l \equiv l_e$, $L \approx W$, $\tau_0 \equiv \tau_e$, $\tau_n \equiv \tau_v$, а величина $A \equiv V$. В полупроводниках, как правило, выполняются условия $\varepsilon = l/L \ll 1$, а $\tau_e > \tau_v$, т. е. рассматриваемая сэндвич-структура является К-системой (п. 1.3), точнее КN-системой. Последнее следует из того, что кривая ЛС, в данном случае зависимость $V_1(T)$, в условиях перегретой неустойчивости [21], как легко убедиться, имеет N-образный вид. Поэтому форма ДС и их эволюция совпадает с рассмотренными в разд. 2–5 и 12 для КN-систем.

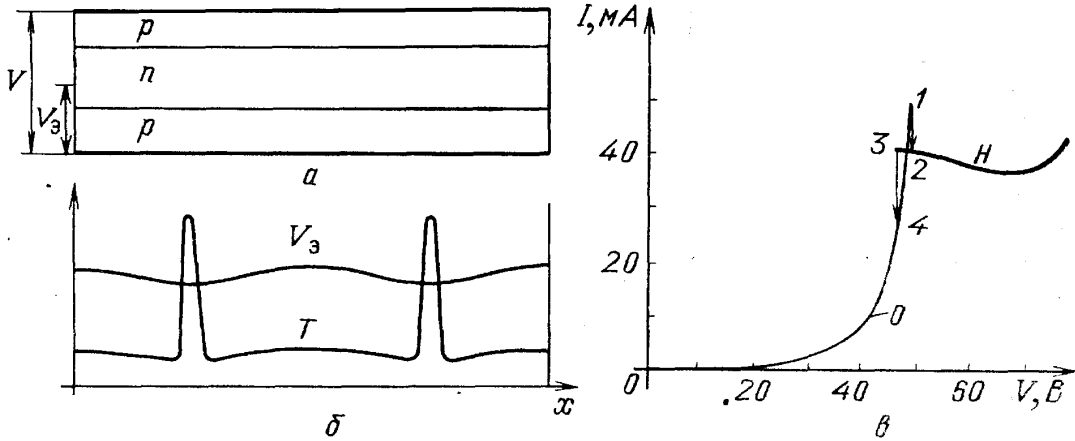


Рис. 23. «Горячие пятна» в транзисторной р—п—р-структуре. а — Схематическое изображение структуры. б — Распределение температуры и падения напряжения на инжектирующем (эмиттерном) р—п-переходе. в — Экспериментальная ВАХ [151], где участок О отвечает однородному распределению T , а Н — состоянию с «горячим пятном». Скачки 1→2 и 3→4 на рис. в отвечают соответственно образованию и исчезновению «горячего пятна»

Многошнуровые состояния будут возникать и в сэндвич-структуре (рис. 22, а), в которой происходит разогрев тонкой полупроводниковой пленки. Распределение температуры T по площади пленки описывается усредненным по ее толщине (w) уравнением теплопроводности

$$\tau_T \frac{\partial T}{\partial t} = l_T^2 \nabla_{\perp}^2 \left[\frac{\kappa_l(T)}{\kappa_l(T_t)} \nabla_{\perp} T \right] + [W_j l_T^2 - (T - T_t) \kappa_l(T)] \kappa_l^{-1}(T_t), \quad (7.3)$$

где l_T и $\tau_T = c \rho l_T^2 / \kappa_l(T_t)$ — характерные длина и время изменения T ; c , ρ , κ_l — удельные теплоемкость, плотность и теплопроводность материала; T_t — температура термостата; $W_j = \sigma_e(T) V_i^2 w^{-2}$. В этом случае в областях, где высока плотность тока, высока и температура решетки. Образование таких «горячих пятен» в пленке связано с возрастающей, как правило термоактивационной, зависимостью ее проводимости σ_e от температуры решетки T .

7.3. «Горячие пятна» в транзисторных структурах. Такая структура (рис. 23, а) представляет собой реальную модель активной распределенной среды, на примере которой было проанализировано расслоение тока и форма образующихся ДС в системах с однозначной ВАХ [52, 151]. В этой структуре (рис. 23, а) роль активатора играет ее температура T ($\theta \equiv T$), ингибитора — падение напряжения на прямосмещенном (эмиттерном) р—п-переходе V_s ($\eta \equiv V_s$), а управляющего параметра A — полное падение напряжения на структуре V , т. е. $A \equiv V$. Распределение T в структуре описывается уравнением (7.3), в котором джоулева мощность

$$W_j = j V l_T^2 W = j_0 \exp[(e V_s - E_g) T^{-1}] V l_T^2 W, \quad (7.4)$$

E_g — ширина запрещенной зоны полупроводника, $j_0 \exp(-E_g/T)$ — ток

насыщения обратносмещенного эмиттерного р — n-перехода, W — толщина кристалла транзисторной структуры. Распределение V_3 по площади структуры связано с растеканием тока по ее базе (n-области на рис. 23, а) и описывается уравнением типа (7.2) [52]:

$$\tau_V \frac{\partial V_3}{\partial t} = L^2 \Delta_{\perp} V_3 + V - V_3 - j\rho_K(1 - \alpha_I M),$$

где $\tau_V = C\rho_K$, $L = (\sigma\omega\rho_K)^{1/2}$, ρ_K — удельное сопротивление утечки коллекторного р — n-перехода; ω , σ — толщина и проводимость базы структуры; C — суммарная удельная емкость р — n-переходов; α_I и M коэффициенты передачи тока и умножения носителей. Как правило, величина ρ_K очень велика, а C мала и выполняются условия $L \gg l_T$ и $\tau_V < \tau_T$, характерные для К-систем. Согласно (7.3) и (7.4) кривая ЛС, т. е. в данном случае зависимость $V_3(T)$, имеет Λ -образный вид. Поэтому форма «горячих пятен» в транзисторных структурах и их эволюция совпадает с рассмотренной в разд. 2—5 для КЛ-систем, в которых образуются Узкие пиковые ДС (рис. 23, б). Такого вида «горячие пятна» и наблюдаются в транзисторах экспериментально⁽¹⁵⁾ [155].

7.4. Структуры со «скрытой» S- или N-образной вольт-амперной характеристикой (ВАХ).

7.4.1. Из уравнений, описывающих процесс активации в структурах, рассмотренных в п. 7.1—7.3, следует, что область активации имеет S-образную ВАХ. Резистивный слой, т. е. область ингибирования (слой 2 на рис. 22, а), имеет положительное дифференциальное сопротивление, которое может превосходить по модулю отрицательное дифференциальное сопротивление области активации. В результате ВАХ всей структуры, отвечающая однородному распределению тока, оказывается однозначной⁽¹⁶⁾. Вместе с тем, такие сэндвич-структуры по существу являются средами со «скрытой» S-образной ВАХ [52]. К таким средам также относится целый ряд полупроводниковых [54, 55, 57] и газоразрядных структур [36, 37], а также электронные распределенные схемы, моделирующие активные среды с диффузией⁽¹⁷⁾ [57, 86, 87].

Распределение ингибитора $\eta \equiv V_1$ в рассматриваемых сэндвич-структурах (рис. 22, а) описывается уравнением (7.2). Для того чтобы непосредственно воспользоваться результатами разд. 2—5 для анализа ДС и явлений самоорганизации, необходимо плотность тока в слое с S-образной ВАХ однозначно выразить через параметр (играющий роль активатора), распределение которого описывается уравнением типа (1.1), как это сделано в п. 7.1—7.3 [34, 52] и работах [54, 55, 57]. Такая процедура применительно к сложным полупроводниковым приборам (инжекционным диодам, лавинным транзисторам, динисторам) проведена в ряде работ, обзор которых дан в [22].

7.4.2. Одномерные ДС различного типа могут возникать и в сэндвич-структурах, в которых резистивный слой (область 2 на рис. 24, а) подключен параллельно с активным слоем (область 1), имеющим N-образную ВАХ (рис. 24, в). В таких структурах могут возникать страты в виде доменов высокого значения электрического поля (рис. 24, б). Для описания формы таких доменов и эффектов самоорганизации можно непосредственно использовать общие результаты, изложенные в разд. 2—6. Для этого необходимо электрическое поле E_N в активном слое с N-образной ВАХ выразить через некоторый параметр θ (играющий роль активатора), распределения которого описываются уравнением типа (1.1). Роль ингибитора в этих структурах играет полный ток в активном слое $I_N(\eta \equiv I_N)$. Уравнение, описывающее распределение $I_N(x)$

можно найти из закона индукции электрического поля для замкнутой цепи

$$\oint E dl = \mathcal{E}_i,$$

где \mathcal{E}_i — э. д. с. индукции. Используя это уравнение для малого элемента тонкой сэндвич-структуры и усредняя его по толщине слоев, получим

$$\tau_I \frac{\partial I_N}{\partial t} = L^2 \frac{\partial^2 I_N}{\partial x^2} - I_N + I - E_N(\theta) W \sigma b, \quad (7.5)$$

где $\tau_I = W \sigma b \mathcal{L}_I$, $L \approx W$; \mathcal{L}_I — суммарная индуктивность единицы длины слоев; σ и W — проводимость и толщина резистивного слоя. Таким образом, характерное время и длина изменения ингибитора $\eta \equiv I_N$ в данном случае есть $\tau_\eta \equiv \tau_I$ и $L \approx W$, а управляющий параметр $A \equiv I$.

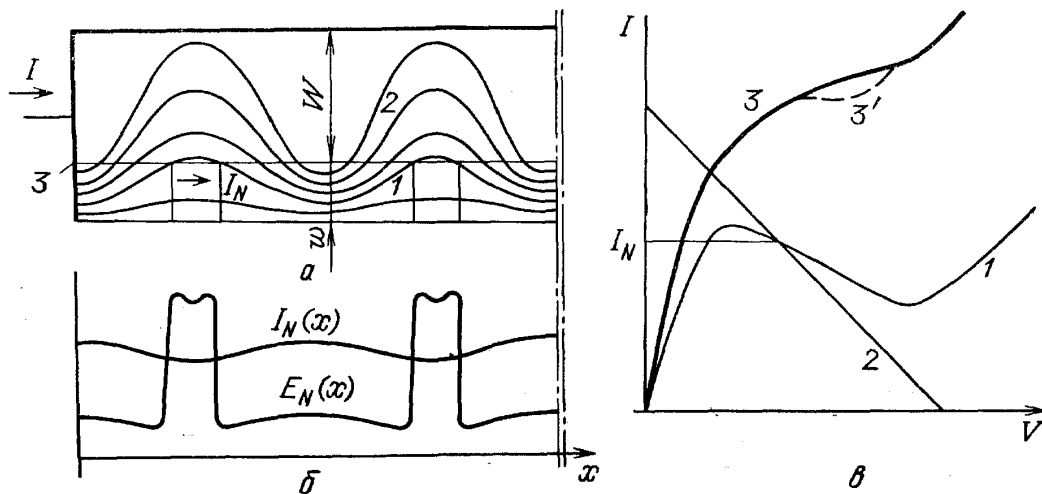


Рис. 24. К пояснению структур со «скрытой» N-образной ВАХ. а — Схематическое изображение сэндвич-структуры; 1 — активный слой с N-образной ВАХ, 2 — резистивный слой, 3 — металлический контакт; сплошными линиями схематически показаны линии тока. б — Распределение электрического поля и тока в активном слое. в — N-образная ВАХ активного слоя (кривая 1), нагрузочная характеристика резистивного слоя (2), возможные типы результирующей ВАХ структуры (3 и 3')

К структурам со «скрытой» N-образной ВАХ, относятся, например, композитные сверхпроводники, в которых активным слоем служит сверхпроводящая пленка, а резистивным — пленка нормального металла [19, 142, 159]. В таких сэндвич-структурах роль активатора играет температура пленки ($\theta \equiv T$), распределение которой вдоль структуры описывается уравнением типа (7.3). Экспериментальные и теоретические исследования доменов в композитных сверхпроводниках, приведенные в [19, 142], полностью согласуются с общими результатами теории ДС, изложенными в разд. 2—4 и 6 для KN-систем.

7.4.3. Изменение количества шнуров тока (или доменов поля) в рассматриваемых структурах при изменении параметров внешней цепи будет сопровождаться скачками тока I (или напряжения V) на ВАХ структуры. Эти скачки наблюдаются экспериментально при исследованиях многошнуровых и многодоменных состояний в различных структурах [19, 31—38, 57, 86, 87, 142]. В идеально однородных моностабильных системах картина эволюции шнуров тока (и доменов поля) качественно не зависит от величины активного нагрузочного сопротивления $R_n^{(18)}$. При этом может лишь расширяться диапазон существования АС в виде одиночного шнура (или домена), образующегося в результате эволюции многошнуровых (многодоменных) состояний (разд. 3 и 4),

В образце размера $\mathcal{L} < L$ шнур тока устойчив, когда [151, 160]

$$D(0)(1 + R_n Z^{-1}(0)) < 0, \quad (7.6)$$

а домен поля, когда [49, 160]

$$D(0)(R_n + Z(0)) < 0, \quad (7.7)$$

где $Z(i\omega)$ — импеданс структуры соответственно со «скрытой» S- или N-образной ВАХ, а $D(i\omega)$ определяется выражением (4.9) в обзоре [25].

8. Активные системы с «перекрестной» диффузией. В данном разделе рассматриваются системы, в которых не только механизм расслоения (п. 1.2), но и свойства ДС определяются диффузионными процессами, точнее знаком и видом зависимостей перекрестных коэффициентов диффузии D_{ij} с $i \neq j$ в уравнениях (1.16) от величин X_i . К таким системам, как отмечалось в п. 1.2, относятся неравновесная газовая и

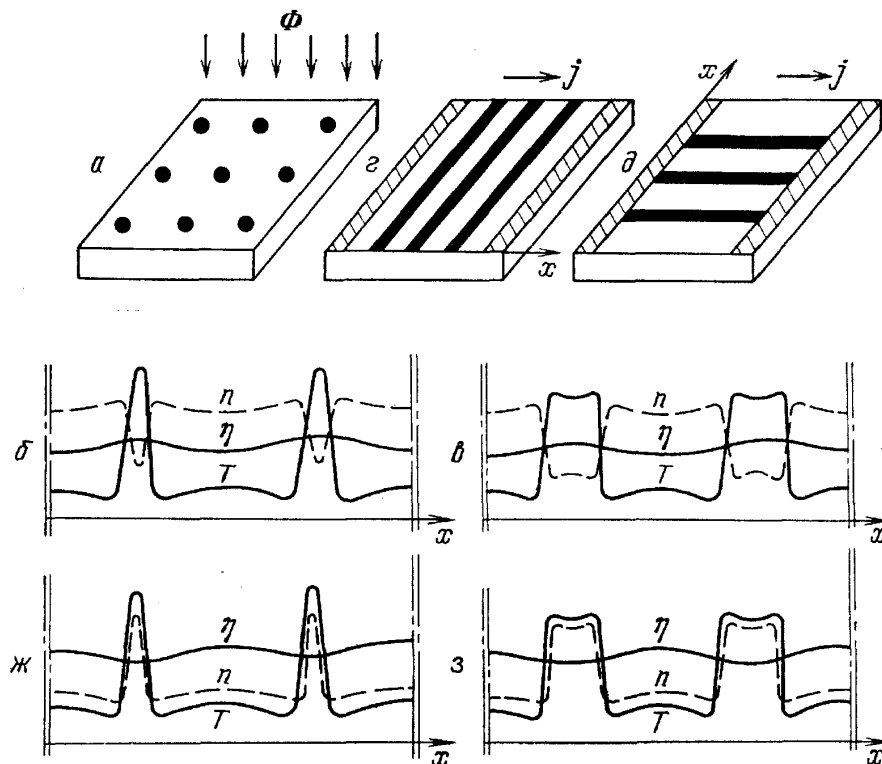


Рис. 25. ДС в системах с «перекрестной» диффузией: схематическое изображение локальных областей высокой температуры ЭДП (а), поперечных (б) и продольных (д) страт; б, в, ж, з — распределение температуры T и концентрации носителей n в структурах, реализующихся в системах с положительной (б, в) и отрицательной (ж, з) термодиффузией [75, 76]

электронно-дырочная плазма (ЭДП). В них могут образовываться термодиффузионные ДС, существование которых определяется термодиффузией, т. е. сильным влиянием распределения температуры на пространственное распределение концентрации электронов и дырок (или ионов) [75, 76].

8.1. Термодиффузионные ДС в электронно-дырочной плазме (ЭДП) [75, 76]. Рассмотрим ЭДП, генерируемую в полупроводниковой пленке светом, энергия фотонов которого $\hbar\omega$ превышает ширину запрещенной зоны полупроводника E_g на величину $2\Delta = \hbar\omega - E_g$ (рис. 25, а). При поглощении таких фотонов образуются горячие электроны и дырки, которые за счет электрон-электронных соуда-

рений могут разогреваться как единая система до некоторой эффективной температуры T . Распределение T и концентрации электронов и дырок в симметричной ЭДП описываются уравнениями (1.26)—(1.28), в которых $W_j = \Delta G$. Как отмечалось в п. 1.2, неустойчивость, приводящая к расслоению ЭДП, носит аperiодический характер, т. е. ее порог определяется условием $\gamma = 0$. Из этого условия по существу и следует вывод о том, что левые части уравнений (1.26) и (1.27), т. е. вид временных производных, как правило, не сказывается на критерии устойчивости ДС. Поэтому критерии устойчивости термодиффузионных ДС (при $\tau_r = \text{const}$), как правило, совпадают с изученными в разд. 12 для К-систем, для которых также на пороге устойчивости $\text{Im } \gamma = 0$.

Из (1.28) следует, что кривая ЛС при $\alpha + s > 0$ имеет V- или И-образный вид. Таким образом, рассматриваемая ЭДП относится к KV- или КИ-системам, для которых вид ДС (распределения $\theta(\mathbf{r})$ и $\eta(\mathbf{r})$) и их эволюция проанализированы в разд. 2—5. Распределение концентрации $n(\mathbf{r})$ в термодиффузионных ДС легко восстановить (рис. 25, б, в), используя вытекающую из (1.25) связь η с n и T . Учитывая, что в рассматриваемом случае $D(T)$ есть возрастающая функция T , из (1.25) следует, что температура и концентрация носителей в термодиффузионных ДС изменяются в противофазе. Иными словами, в ЭДП образуются области высокого значения температуры и низкого значения концентрации носителей (рис. 25, б, в). Подчеркнем, что несмотря на большую диффузионную длину, концентрация носителей, так же как и температура, резко меняется в областях размера $l \ll L$ — стенках ДС (рис. 25, б, в). Это связано с тем, что в областях стенок ДС диффузионный поток носителей $\mathbf{j}_D = -D\nabla n$ компенсируется термодиффузионным потоком, который отвечает последнему слагаемому в (1.19).

8.2. Многодоменные состояния в полупроводниках с однозначной ВАХ [49]. Рассмотрим разогрев собственных или фотогенерированных носителей в постоянном или высокочастотном поле. Распределения n и T в этом случае также описываются уравнениями (1.17) и (1.18), с той лишь разницей, что в (1.18) $W_j = jE$ — джоулева мощность, поступающая к ЭДП. Из этих уравнений следует, что в отсутствие перегревной неустойчивости, т. е. при $\alpha + s < 1$, ВАХ образца однозначна. Вместе с тем, однородное состояние ЭДП теряет устойчивость относительно флуктуаций с волновым вектором $\mathbf{k} \parallel \mathbf{E}$ [49—51, 161, 162]. Это связано с тем, что при наличии поля появляется выделенное направление. В результате такой неустойчивости в ЭДП скачкообразно образуются страты — домены электрического поля, поперечные линиям тока (рис. 25, г) [49].

В таких термодиффузионных стратах, как и в рассмотренных в п. 8.1, n и T изменяются в противофазе (рис. 25, б, в). При этом плотность тока $j(x) = \text{const}$, а следовательно, поле E и мощность $W_j = j^2/\sigma = j^2(2e\mu n)^{-1}$, максимальны в областях, где низка концентрация носителей (рис. 25, б, в). В результате условие образования страт $\alpha + s > -1$ оказывается более мягким, чем в случае ЭДП, разогретой в процессе фотогенерации (п. 8.1).

При выполнении условия $\alpha + s > -1$ кривая ЛС для переменных (1.25), вытекающая из уравнения $q = P - W_j = 0$, в зависимости от величины T_i и параметров ЭДП может иметь И- или V-образный вид [51]. Таким образом, рассматриваемая ЭДП относится к КИ- или KV-системам, а следовательно, реализующаяся в ней картина эволюции многодоменных состояний совпадает с изложенной в разд. 2—4.

8.3. Многошнуровые состояния в «плотной» ЭДП [48, 51, 100, 104, 109]. В ЭДП высокой плотности подвижность носителей μ

определяется столкновениями электронов и дырок, движущихся в электрическом поле навстречу друг другу. В этом случае $\mu \propto T^{3/2} n^{-1}$ [163], т. е. проводимость ЭДП $\sigma = e\mu n$ не зависит от ее концентрации. При низких температурах рассеяние энергии носителей обычно происходит на акустических и оптических фононах. При этом $s < -1/2$, а ВАХ «плотной» плазмы оказывается однозначной. Несмотря на это, однородное состояние ЭДП расслаивается относительно флуктуаций с $\mathbf{k} \perp \mathbf{E}$ и в ЭДП скачкообразно образуются многошнуровые состояния в виде слоев или цилиндров, параллельных линиям тока (рис. 25, д) [48]. Изменение концентрации и температуры в таких шнурах тока происходит в противофазе (рис. 25, б, в). Они описываются уравнениями типа (1.17) и (1.18), причем в последнем $\mathbf{j}_e = -\mu_e e^{-1} \nabla_{\perp} P_e$, где $P_e = nT$ — давление ЭДП, а μ_e — подвижность носителей, определяемая их рассеянием на дефектах и фононах.

Возникновение в плотной ЭДП многошнуровых состояний, параллельных линиям тока, связано с тем, что в них $E(\mathbf{r}_{\perp}) = \text{const}$, а джоулева мощность $W_j = \sigma E^2 \propto T^{3/2}$. Это приводит к тому, что кривая ЛС, отвечающая уравнению $q = P - W_j = 0$ имеет И- или V-образный вид [104], если учесть, что в данном случае $\theta = T/T_i$, а $\eta = P_e/T_i n_h$. Поэтому картина эволюции многошнуровых состояний совпадает с изложенной для КЛ- и КV-систем в разд. 2–4.

Особенность здесь состоит в том, что изменение числа шнуров в образце приводит к многочисленным участкам гистерезиса на ВАХ. Такого вида ВАХ наблюдается при расслоении ЭДП в тонких пленках GaAs [31] и в GaAs транзисторных структурах [164]. Экспериментально [31] и численно [100, 104, 109] изученная эволюция многошнуровых состояний при изменении напряжения на образце согласуется с результатами теории самоорганизации, приведенными в разд. 2–5.

8.4. «Горячие пятна» в полупроводниковой пленке. В п. 8.1–8.3 рассматривались ДС, образующиеся в системах с «положительной» термодиффузией, в которых поток частиц направлен из горячей области в холодную. В ряде систем за счет того, что сечение рассеяния частиц возрастает с увеличением их скорости, термодиффузионный поток частиц может быть направлен из холодной области в горячую. Однородное распределение частиц в таких системах с «отрицательной» термодиффузией, как впервые было показано в [59, 60] на примерах химических реакций и смеси нейтральных газов, может расслаиваться. В результате такого расслоения в системах с «отрицательной» термодиффузией образуются ДС, представляющие собой области высокой температуры и концентрации частиц (рис. 25, ж, з) [75, 51].

Такие термодиффузионные ДС могут спонтанно возникать в тонкой полупроводниковой пленке, в которой однородно фотогенерируется ЭДП [75]. При комнатных температурах и высоких концентрациях носителей температура ЭДП практически совпадает с температурой пленки T . Распределение T и концентрации носителей n в пленке описываются уравнением (7.3) и усредненным по толщине пленки уравнением баланса числа носителей (1.17). Из последнего следует [51, 75], что длина биполярной диффузии L характеризует масштаб изменения величины $\eta = n\varphi^{-1}(T)$, где $\varphi(T)$ — возрастающая функция T . Как и в п. 8.1–8.3, роль активатора в рассматриваемом случае играет температура ($\theta \equiv T$), а ингибитора — η . Уравнения для определения вида ДС в переменных θ и η здесь также аналогичны (1.1), (1.2). При этом свойства ДС при $L \gg l_T$ отвечают рассмотренным в разд. 1–6 для КН- или КЛ-систем [51].

Существование локальных областей высокой температуры (рис. 25, ж, з) связано с тем, что в этих областях благодаря «отрицательной»

термодиффузии увеличивается концентрация носителей. С другой стороны, в месте скопления носителей более интенсивно происходит поглощение электромагнитного излучения и рекомбинации носителей. Это и поддерживает высокое значение температуры в локальных областях пленки [75], которое может превысить температуру плавления полупроводника и вызвать пятнистое разрушение пленки. По-видимому, с этим эффектом [165] и связано наблюдаемое в эксперименте пятнистое проплавление поверхности полупроводника [166–168] при его однородном импульсном освещении, мощность которого заведомо меньше необходимой для расплавления приповерхностного слоя полупроводника.

8.5. ДС в химических реакциях с «перекрестной» диффузией. Термодиффузионные ДС, в том числе АС, могут возникать и в неизотермических химических реакциях за счет выделения или поглощения тепла.

Расслоение однородного распределения химических веществ в принципе может происходить даже в том случае, когда химическая реакция протекает в изотермических условиях. Такое расслоение может быть связано с эффектами увеличения одного химического вещества другим [116]. В этом случае потоки химических веществ можно записать в виде [86, 17, 116]

$$\mathbf{j}_1 = -D_{11}\nabla n_1 - D_{12}\nabla n_2, \quad \mathbf{j}_2 = -D_{21}\nabla n_1 - D_{22}\nabla n_2, \quad (8.1)$$

где n_1 и n_2 — концентрации химических веществ, а коэффициенты диффузии D_{ij} зависят от n_1 и n_2 . В этом случае матрица коэффициентов D_{ij} в уравнениях (1.16) содержит недиагональные члены, описывающие «перекрестную» нелинейную диффузию двух химических веществ. Из линейной теории расслоения следует [116], что в зависимости от знаков коэффициентов «перекрестной» диффузии D_{12} и D_{21} концентрации веществ n_1 и n_2 могут меняться по пространству как в фазе, так и в противофазе.

Вид и свойства ДС в изотермических химических реакциях с «перекрестной» диффузией можно установить из их аналогии с термодиффузионными ДС (п. 8.1—8.4). Действительно, если в формулах (1.19) и (1.20) формально заменить n на n_1 , а T на n_2 , то они приобретут вид выражений (8.1). Из этой аналогии следует, что в системах, в которых n_1 и n_2 меняются в противофазе, в зависимости от типа нелинейностей системы могут возникать ДС, вид которых совпадает с изображенным на рис. 25, б или в, если на этих рисунках заменить n на n_1 , а T на n_2 . В системах, в которых n_1 и n_2 меняются в фазе, реализуются ДС, показанные на рис. 25, ж или з, где $n \equiv n_1$, а $T \equiv n_2$.

9. Турбулентность в активных распределенных средах. Турбулентность, т. е. хаотические во времени и по пространству неоднородные колебания, наблюдаются во многих системах с конвективными потоками, в частности, в различных гидродинамических течениях (см., например [1, 74]). Вместе с тем, турбулентность наблюдается и в системах, в которых конвективные потоки отсутствуют [7, 8, 10]. Турбулентность может возникать даже в К-системах, в которых не только отсутствуют конвективные потоки, но и не могут возникать однородные автоколебания, пульсирующие ДС и автоволны (табл. II). Обсудим механизмы образования такой турбулентности.

9.1. Условия возникновения и сценарии развития турбулентности [80–83]. Минимальное (\mathcal{L}_{\min}) и максимальное (\mathcal{L}_{\max}) расстояния между стратами (пятнами или сгустками) определя-

ются совершенно различными по своей природе эффектами (разд. 2). Периодически расположенные страты (пятна, сгустки) периода $\mathcal{L}_p < \mathcal{L}_{\min}$ неустойчивы из-за эффекта перекачки (п. 2.2). Вместе с тем из-за эффекта локального пробоя (п. 2.1) не реализуется состояние, в котором расстояние между стратами $\mathcal{L}_p > \mathcal{L}_{\max}$. В КЛ- и КV-системах величины \mathcal{L}_{\min} и \mathcal{L}_{\max} могут быть одного порядка [81] и в некоторых из них может выполняться условие [80, 81]

$$\mathcal{L}_{\max}(A) < \mathcal{L}_{\min}(A), \quad (9.1)$$

когда все статические ДС неустойчивы. Поскольку в К-системах величина $\alpha = \tau_\theta / \tau_\eta > 1$ (п. 1.3), то в них не могут возникать стационарные состояния в виде однородных колебаний или пульсирующих ДС [80] (см. раздел 11), а также автоволн [25]. Вместе с тем, при $A > A_c$ однородное состояние системы также неустойчиво (п. 1.1 и 1.2). Поэтому, когда выполнено условие (9.1), при значениях $A > A_c$ в идеально однородной системе может спонтанно возникнуть турбулентность, т. е. нестационарное состояние в виде случайно появляющихся и исчезающих АС (в виде страт, пятен или сгустков).

Механизм возникновения турбулентности в этом случае состоит в следующем. Соседние страты (пятна, сгустки) — взаимодействующие автосолитоны, — находящиеся на расстоянии меньшем \mathcal{L}_{\min} , неустойчивы вследствие эффекта перекачки (п. 2.2). В результате такой неустойчивости число АС в системе должно было бы уменьшиться, а расстояние между ними — увеличиться. Вместе с тем, при выполнении (9.1) уже в процессе формирования таких АС они должны делиться в результате эффекта локального пробоя (п. 2.1). Поскольку процессы деления и неустойчивости двух соседних АС могут происходить в далеко разнесенных областях пространства не скоррелированно, то это и приводит к возникновению турбулентности.

Другой механизм возникновения турбулентности связан с тем, что в центре спонтанно образующихся в КЛ- и КV-системах пичковых ДС (п. 1.5) может быть выполнено условие [82, 83]

$$\left. \frac{\partial Q}{\partial \eta} \right|_{\theta=\theta_{\max}, \eta=\eta_{\text{sh}}} < 0, \quad (9.2)$$

где θ_{\max} и η_{sh} — значения активатора и ингибитора в центре пичка ДС. Неравенство (9.2) противоположно использованному в разделах 1–6 условию $Q'_\eta > 0$ (1.3), означающему наличие в системе отрицательной обратной связи по ингибитору (п. 1.1). Иными словами, условие (9.2) означает, что в процессе формирования пичковых страт (пятен или сгустков) в их центре отрицательная обратная связь по ингибитору сменяется на положительную. Это в свою очередь может вызывать такое изменение величины η , которое приводит к уничтожению страты (пятна, сгустка). Поскольку такой процесс в далеко разнесенных точках пространства может происходить не скоррелированно, то в системе может возникать турбулентность (см. п. 9.2).

Из рассмотренных механизмов возникновения турбулентности [80–83] следует, что образование хаотических во времени и по пространству колебаний определяется сложной динамикой поведения автосолитонов, которая принципиально связана с эффектами их взаимодействия. При этом картина турбулентности по существу представляет собой случайное возникновение и исчезновение АС в различных точках пространства (см. обзор [79]). В последние годы аналогичные представления используются и для объяснения картины турбулентности, реализующейся в течениях жидкостей при числах Рейнольдса близких к критическому [74].

Из изложенных механизмов вытекают следующие сценарии возникновения турбулентности [81—83]:

1) Условия (9.1) или (9.2) могут выполняться уже в точке $A=A_c$. В этом случае турбулентность может возникать при $A=A_c$ в результате расслоения однородного состояния системы.

2) При $A=A_c$ в системе спонтанно образуются устойчивые ДС (страты, пятна, сгустки). С ростом A при некотором $A>A_c$ выполняется условие (9.1) или (9.2), и в системе спонтанно возникает турбулентность.

3) При $A=A_c$ спонтанно образуются устойчивые статические ДС. По мере увеличения A в результате локального пробоя между стратами (пятнами или сгустками) их число скачкообразно последовательно увеличивается (п. 3.2), а условия (9.1) или (9.2) выполняются только при достаточно больших значениях A , при которых и возникает турбулентность.

4) В реальных системах турбулентность может возникать и при $A<A_c$ за счет спонтанного образования АС у малой локальной неоднородности и его деления сначала на две, а затем и большее число страт (сценарий 2 в п. 4.1). Это связано с тем, что образующиеся в процессе деления страты могут оказаться неустойчивыми.

Экспериментально турбулентность наблюдалась в газовом разряде в виде случайно образующихся и исчезающих страт [14] и, по-видимому, связана с выполнением условия (9.1) [466].

9.2. Турбулентность в электронно-дырочной плазме. Условие турбулентности (9.2) может выполняться в разогретой ЭДП. При этом, как показывают численные исследования, действительно возникают нерегулярные по пространству и времени колебания; [82, 83].

Выполнение условия (9.2) в ЭДП связано с тем, что в ней могут образовываться пиковые страты, температура носителей в центре которых столь высока, что необходимо учитывать межзонную ударную ионизацию носителей [98, 170]. В этом случае скорость генерации носителей G в (1.17) можно записать в виде $G=G_0+n\nu_1(T)$, где $G_0=\text{const}$, а ν_1 — скорость ударной ионизации, которая экспоненциально возрастает с ростом T . В этом случае выражение (1.28) для функции Q следует заменить на

$$Q=\eta\theta^{-1-\alpha}(1-\nu_1(\theta)\tau_r)-1. \quad (9.3)$$

Из (9.3) следует, что в центре страты, где $\theta=\theta_{\max}$, величина $Q_\eta'<0$, когда $\nu_1(\theta_{\max})\tau_r>1$. Численные исследования показывают, что турбулентность возникает в ЭДП, когда величина $\nu_1(\theta_{\max})\tau_r$ существенно превышает единицу. При этом в зависимости от параметров ЭДП в ней реализуются все изложенные выше сценарии возникновения турбулентности [82, 83].

10. Системы с конвективными потоками. Из качественной теории [46] вытекает, что при наличии в системе конвективных потоков, форма статических страт искажается, и они могут сноситься со скоростью, пропорциональной величине этих потоков⁽¹⁹⁾. Эти результаты объясняют экспериментально наблюдаемую форму движущихся страт в газовом разряде [169], а также изученную при численных [170, 111] и экспериментальных [84] исследованиях термодиффузионных страт в ЭДП, разогретой постоянным электрическим полем. Эволюция движущихся страт при изменении тока также определяется «локальным пробоем» (п. 2.1) и неустойчивостью типа «перекачки» (п. 2.2) [170].

Наличие границ и малых неоднородностей в системах с конвективными потоками может более существенно, чем отмечено в п. 4.1, изменить картину самоорганизации. Так, спонтанно генерируемый у малой неоднородности или вблизи границы образца (п. 4.1) АС может отрываться от неоднородности и приводить к возникновению последовательности движущихся страт [51, 98, 111]. Этот эффект наблюдается в эксперименте [84] и при численных расчетах [111]. При этом во всем образце или в некоторой его части могут образовываться несимметричные статические страты, амплитуда и ширина которых может меняться вдоль образца. Эти эффекты экспериментально наблюдаются в низкотемпературной газовой [171] и в полупроводниковой плазме [84].

11. О спонтанном образовании и эволюции пульсирующих ДС и автоволн. В данном разделе обсуждаются особенности самоорганизации в КΩ- и Ω-системах (п. 1.3). К ним относятся системы с однородно генерируемым веществом горения [25], вырожденная ЭДП, разогретая в процессе оже-рекомбинации [149], модели химических реакций типа Белоусова — Жаботинского [7, 8, 10, 11, 16, 17], модели различного рода возбудимых и нейристорных сред, в частности модель Фитц-Хью — Нагумо [7, 8, 16, 17, 121б, 122—124] и некоторые модели нейронных сетей. Ω- и КΩ-системами являются структуры со «скрытой» S- или N-образной ВАХ, в которых, в отличие от случаев, рассмотренных в разделе 7, необходимо подобрать параметры слоев так, чтобы обеспечить большую инерционность процесса ингибирования (см., например [158]).

Прежде чем перейти к рассмотрению особенностей эволюции ДС и автоволн (п. 11.3—11.6), отметим характерные свойства этих неоднородных состояний в Ω- (п. 11.1) и КΩ-системах (п. 11.2).

11.1. В Ω-системах статические и пульсирующие ДС не реализуются (табл. II). В них могут образовываться бегущие АС (импульсы) и более сложного вида автоволны: спиральные, свитки, кольца и др. (см., например [7, 8, 11, 16, 17, 121—124]). Свойства бегущих АС и других автоволн в ΩN- (и ΩИ-) системах весьма подробно изучены в моделях типа Фитц-Хью — Нагумо (см., например [8, 11б, 16, 17, 121б, 122, 124]), т. е. моделях, описываемых уравнениями (1.1), (1.2) с $L=0$ ($\varepsilon=\infty$), $\alpha=\tau_0/\tau_\eta \ll 1$. При исследовании этих моделей установлено, что: а) бегущий одномерный АС (импульс) устойчив в достаточно широком диапазоне изменений A от некоторого $A=A_*$, при котором его ширина \mathcal{L}_s и скорость v минимальны ($v=v_{\min} \sim \alpha^{1/2}l/\tau_0$ [122б]), до критического значения $A=A_c$ (п. 1.1, 1.3), при котором ширина и скорость АС достигают максимума ($v=v_{\max} \sim l/\tau_0$); б) сталкивающиеся бегущие АС (импульсы) аннигилируют [7, 8, 11, 16, 17, 123, 124]; в) одномерный бегущий АС в двумерных системах устойчив. Эти свойства бегущих АС (импульсов) и определяют основные свойства более сложных автоволн, реализующихся в Ω-системах [7, 8, 10, 11, 16, 17, 121—124].

11.2. В КΩ-системах (см. табл. I), кроме автоволн, могут возникать статические и пульсирующие ДС. Теория автоволн и ДС в КΩ-системах развита в [80, 172].

Автоволны в КΩ-системах по своим свойствам могут принципиально отличаться от автоволн, реализующихся в Ω-системах (п. 11.1). В КΩ-системах бегущие АС и другие автоволны при столкновении могут не аннигилировать. Это связано с тем, что благодаря $\varepsilon \ll 1$, т. е. $L \gg l$, перед бегущим АС бежит «диффузионный предвестник» — рефрактерная область размера порядка L [25, 172]. Поэтому два бегущих навстречу друг другу АС начинают взаимодействовать на расстояниях значитель-

но превышающих размер фронта АС ($\sim l$). В результате такого взаимодействия скорости АС уменьшаются и они могут не аннигилировать, а оттолкнуться друг от друга или же превратиться в статическую или пульсирующую ДС [25, 115]. Образование статических ДС при столкновении бегущих АС наблюдается при численных исследованиях различных моделей активных сред [107, 131, 132], в том числе модели типа (1.31), (1.32) с $\alpha \ll 1$.

В дву- и трехмерных КΩN- и КΩИ-системах (табл. I) одномерный бегущий АС, спиральные и другие автоволны могут оказаться неустойчивыми относительно «гофрировки» их стенок, т. е. эффекта, рассмотренного в п. 2.3 применительно к статическим стратам. Такой эффект может приводить к дроблению автоволн на более мелкие области. В результате в системе могут возникать автоволны нового типа или же турбулентность.

Свойства автоволн, статических и пульсирующих ДС в КΩ-системах прежде всего зависят от соотношения параметров, определяющих взаимодействие и инерционность процесса ингибирования по сравнению с активацией. В системах, описываемых уравнениями типа (1.1), (1.2), область существования и свойства автоволн, пульсирующих и статических ДС определяются величиной отношения $\alpha/\varepsilon \equiv (\tau_\theta/\tau_\eta) (l/L)^{-1}$ [172] (см. рис. 8 в обзоре [25]).

Из качественной процедуры построения бегущих АС в системах с $\varepsilon = l/L \ll 1$ [25, 77, 160] следует, что условие существования автоволн в КΩN- (КΩИ-) системах сводится к [172]

$$\alpha/\varepsilon < b_c,$$

т. е.

$$L/\tau_\eta < b_c l/\tau_\theta. \quad (11.1)$$

В (11.1) величина b_c порядка единицы и определяется нелинейностями системы, т. е. функциями $q(\theta, \eta)$ и $Q(\theta, \eta)$ в (1.1), (1.2). (Например, для кусочно-линейной модели активной среды, рассмотренной в п. 8.1 обзора [25], $b_c \approx 2^{-3/2}$).

С ростом отношения α/ε , точнее диффузионной длины ингибитора L , область существования бегущего АС, т. е. диапазон (A_v, A_c) , сужается. При этом значение v_{\min} увеличивается, а v_{\max} уменьшается. При стремлении отношения α/ε к пороговой величине b_c (11.1) бегущий АС можно возбудить лишь при A , близких к A_c . При уменьшении отношения α/ε граница области существования бегущего АС, т. е. величина $A = A_v$, все более отличается от величины A_c . При $\alpha < \varepsilon^4$ [172] скорость АС в точке $A = A_v$ достигает своего минимально возможного значения $v_{\min} \sim \sim \alpha^{1/2} l/\tau_\theta$.

В КΩN- и КΩИ-системах с

$$\varepsilon^2 \ll \alpha < \varepsilon \ll 1 \quad (11.2)$$

существует определенный диапазон уровней возбуждения, в котором статические ДС устойчивы [80, 172]. На границах этого диапазона статические ДС теряют устойчивость относительно пульсаций, т. е. нарастания флуктуаций, осциллирующих во времени с некоторой частотой ω_c (п. 12.4).

11.3. В однородных КΩN- и КΩИ-системах, удовлетворяющих условию (11.2), статические АС, страты и другие ДС при изменении уровня неравновесности системы A могут спонтанно превратиться в пульсирующие ДС или в автоволны. Пульсирующий АС может возникать как при увеличении, так и при уменьшении A , когда ширина статического АС становится соответственно больше или меньше критических значений \mathcal{L}_* .

или $\mathcal{L}_{\text{бв}}$, оценки которых приведены в п. 6.2 обзора [25]. Из устойчивости статического АС следует [172], что бегущий АС может возникать при A , близких к значению $A_{\text{в}}$, при котором ширина статического АС $\mathcal{L}_s = \mathcal{L}_{\text{в}}$.

11.4. В системах в виде узкого кольца при одном и том же уровне возбуждения A можно возбудить автоволны в виде одиночного бегущего АС или последовательности бегущих АС (страт) различного периода. При изменении A число таких АС может скачкообразно меняться за счет эффектов локального пробоя и перекачки активатора между стратами и изложенных в п. 2.1 и 2.2 применительно к статическим АС (стратам).

11.5. При A , близких к $A_{\text{с}}$, у бегущего АС появляется осциллирующий «хвост» в виде повторяющихся областей возбуждения и рефрактерности [1026]. Так же как и в случае статического АС (п. 2.1.2), в «хвосте» бегущего АС может произойти локальный пробой, в результате которого за бегущим АС будут возникать все новые и новые бегущие АС. На основе эффекта локального пробоя в «хвосте» бегущего АС можно объяснить существование стационарного ведущего центра (источника расходящихся автоволн) в идеально однородных КΩ-системах [1026].

11.6. Локальные неоднородности в реальных КΩ-системах в зависимости от их параметров могут приводить к спонтанному образованию статических, пульсирующих или бегущих АС. Чем меньше величина неоднородности, тем ближе соответствующее критическое значение A к величине $A_{\text{с}}$. При этом даже малые локальные неоднородности вследствие эффекта, рассмотренного в п. 11.5, могут проявлять себя как зародыши спонтанного образования ведущего центра. Спонтанное образование различного типа автоволн (спиральных, ведущего центра) у локальных неоднородностей или границ системы наблюдалось, например, при экспериментальном исследовании реакций типа Белоусова—Жаботинского [10,16].

12. Параметры и устойчивость периодических страт.

12.1. Построение формы страт [75–77]. Для анализа формы и параметров страт периода $\mathcal{L}_p \gg L$ в N- или И-системах заметим, что решения уравнений (1.1), (1.2) в виде периодических страт, так же как и для АС (п. 3.2 в [25]), с точностью до $\varepsilon = l/L \ll 1$ можно представить в виде последовательных сочетаний отрезков резких и плавных распределений.

Резкие распределения удовлетворяют уравнению

$$l^2 \frac{d^2 \theta}{dx^2} + \frac{dU_{\theta}}{d\theta} = 0, \quad U_{\theta} = - \int^{\theta} q(\theta, \eta, A) d\theta, \quad (12.1)$$

где $\eta = \text{const}$. Плавные распределения удовлетворяют уравнению

$$L^2 \frac{d^2 \eta}{dx^2} + \frac{dU_{\eta}}{d\eta} = 0, \quad U_{\eta} = - \int^{\eta} Q(\theta(\eta), \eta, A) d\eta. \quad (12.2)$$

Характерной длиной изменения активатора в резких распределениях является l , а в плавных распределениях — L . В (12.2) функция $\theta(\eta)$ есть одна из однозначных зависимостей $\theta_{\text{I}}(\eta)$, $\theta_{\text{II}}(\eta)$ или $\theta_{\text{III}}(\eta)$, определяемых уравнением (1.29), т. е. функция $\theta(\eta)$ отвечает I, II или III

ветвям кривой ЛС (рис. 2, а, в). Ветвь I соответствует значениям $\theta \leq \theta_0$, II — $\theta_0 < \theta < \theta'_0$ и III — $\theta \geq \theta'_0$. Иными словами, потенциал U_η в (12.2) состоит из трех независимых ветвей I, II и III [25].

Из (12.1), (12.2) видно, что плавные и резкие распределения можно рассматривать как траектории движения частиц соответственно с координатами θ и η , движущимися с «временем» x в потенциалах U_θ (12.1) и U_η (12.2). Вид последних однозначно определяется [25] кривой ЛС (рис. 2б). Для построения периодических страт необходимо самоогласованным образом сшить отрезки резких и плавных распределений и отвечающие им ветви потенциалов. При этом, используя симметрию периодических страт, для их описания достаточно рассмотреть фрагмент размера $\mathcal{L}_p/2$ ($0 \leq x \leq \mathcal{L}_p/2$), на границах которого $d\theta/dx = d\eta/dx = 0$ (рис. 2б, г). Процедура построения $\theta(x)$ и $\eta(x)$ в таком фрагменте аналогична процедуре построения АС, подробно изложенной в п. 3.2 обзора [25].

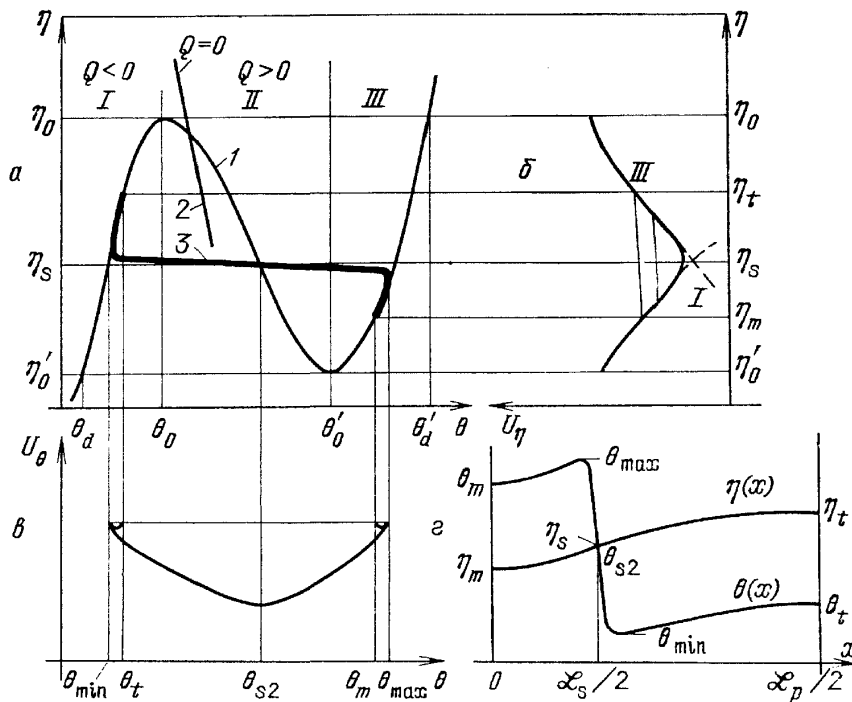


Рис. 26. К построению периодических страт в N-системах. а — Вид кривых ЛС (кривая 1), УС (2) и истинной зависимости $\eta(\theta)$ (3) в стратах (г). б — Вид истинного потенциала U_η и траекторий движения «частицы» в нем, отвечающих распределению $\eta(x)$ в стратах (г). в — Вид истинного потенциала U_θ , наивысшая траектория движения «частицы» в котором отвечает распределению $\theta(x)$ в стратах (г)

В N- и И-системах из вида кривой ЛС (рис. 26) следует, что U_θ в (12.1) имеет вид потенциальной ямы, ограниченной точками θ_1 и θ_3 (отвечающими соответственно I и III ветвям однозначной зависимости $\theta(\eta)$), в которых потенциал U_θ имеет максимумы. Из такого вида потенциала U_θ следует, что уравнение (12.1) допускает периодические и уединенные решения $\theta(x)$. Последние соответствуют наивысшим траекториям движения частицы в потенциале U_θ , т. е. отвечают сепаратрисам уравнения (12.1), замыкающимся в седловых точках θ_1 или θ_3 . При некотором значении $\eta = \eta_s$ максимумы потенциала U_θ в точках $\theta_1 = \theta_{s1}$ и $\theta_3 = \theta_{s3}$ совпадают, т. е. выполняются условия

$$\int_{\theta_{s1}}^{\theta_{s3}} q(\theta, \eta_s, A) d\theta = 0, \quad q(\theta_{si}, \eta_s, A) = 0 \quad (i = 1, 2, 3), \quad (12.3)$$

определяющие величины η_s , θ_{s1} и θ_{s3} . Наивысшая траектория движения частицы в таком потенциале U_θ описывает распределение активатора $\theta(x) = \theta_{sh}(x)$ в стенках страт, т. е. в областях размера порядка l , в которых θ меняется от $\theta_{min} = \theta_{s1}$ до $\theta_{max} = \theta_{s3}$. Значение $\theta_{s1} < \theta_0$, т. е. принадлежит I ветви кривой ЛС, а $\theta_{s3} > \theta_0$, т. е. принадлежит III ветви кривой ЛС (рис. 26, а). Поэтому резкое распределение $\theta_{sh}(x)$ сшивает решения $\eta(x)$ уравнения (12.2), отвечающие I и III ветвям потенциала U_η , т. е. зависимостям $\theta_I(\eta)$ и $\theta_{III}(\eta)$. Отсюда следует, что для построения потенциала U_η необходимо расположить его ветви I и III так, чтобы они пересекались в точке $\eta = \eta_s$ (рис. 26, б).

В моностабильных системах потенциал U_η имеет единственный экстремум, отвечающий точке $\eta = \eta_h$, $\theta = \theta_h$, соответствующей однородному состоянию системы [25]. Однородное состояние расслаивается (п. 1.1 и 1.2), когда точка $\theta = \theta_h$ и $\eta = \eta_h$ расположена на II ветви однозначной зависимости $\theta(\eta)$, где $q_\theta < 0$ [25]. Поэтому в области неустойчивости однородного состояния системы, т. е. при $A_c < A < A'_c$ (п. 1.1 — 1.3), I и III ветви потенциала U_η не имеют экстремума. При этом по знаку величины Q можно определить наклон ветвей (рис. 26, б) [25].

Различные траектории движения частицы в истинном потенциале U_η (рис. 26, б), отвечающие одной и той же «энергии» частицы, определяют распределения ингибитора $\eta(x)$ в периодических стратах и в соответствии с (1.29) описывают плавные распределения активатора $\theta(x)$ вне стенок страт. Эти плавные распределения $\theta(x)$ в точке $\eta = \eta_s$ естественным образом [25] сшиваются с резким распределением $\theta(x) = \theta_{sh}(x)$, описывающим изменение активатора в стенках страт [76, 77]. Одному и тому же потенциалу U_η отвечает множество таких траекторий (рис. 26, б). Отсюда следует, что при $A = \text{const}$ в распределенной системе реализуется множество состояний в виде страт различного периода.

Уравнения, которые определяют характерные параметры страт заданного периода \mathcal{L}_p , т. е. величины \mathcal{L}_s , η_t , θ_t , η_m и θ_m (рис. 26, в), можно найти, проинтегрировав уравнение (12.2) с учетом граничных условий

$$\left. \frac{d\eta_I}{dx} \right|_{x=\mathcal{L}_p/2} = 0, \quad \eta_I\left(\frac{\mathcal{L}_s}{2}\right) = \eta_{III}\left(\frac{\mathcal{L}_s}{2}\right) = \eta_s, \quad \left. \frac{d\eta_{III}}{dx} \right|_{x=0} = 0 \quad (12.4)$$

и плавности функции $\eta(x)$ в точке $x = \mathcal{L}_s/2$ (т. е. условия $\left. \frac{d\eta_I}{dx} \right|_{x=\mathcal{L}_s/2} = \left. \frac{d\eta_{III}}{dx} \right|_{x=\mathcal{L}_s/2}$). В результате получим [79]

$$\begin{aligned} \mathcal{L}_p &= \mathcal{L}_s + \sqrt{2}L \int_{\eta_s}^{\eta_t} \left(\int_{\eta_t}^{\eta} Q_I d\eta \right)^{-1/2} d\eta, \\ \mathcal{L}_s &= \sqrt{2}L \int_{\eta_m}^{\eta_s} \left(\int_{\eta_m}^{\eta} Q_{III} d\eta \right)^{-1/2} d\eta, \end{aligned} \quad (12.5)$$

$$\begin{aligned} \int_{\eta_s}^{\eta_t} Q_I d\eta + \int_{\eta_m}^{\eta_s} Q_{III} d\eta &= 0, \\ q(\theta_m, \eta_m, A) &= q(\theta_t, \eta_t, A) = 0. \end{aligned}$$

В (12.4), (12.5) функции $Q_{I,III} \equiv Q(\theta_{I,III}(\eta), \eta, A)$; зависимости $\theta_{I,III}(\eta)$ и функции $\eta_{I,III}(x)$, $\theta_{I,III}(x)$ соответствуют значениям η и θ , отвечающим I и III ветвям однозначной зависимости $\theta(\eta)$ на кривой ЛС (рис.

26, а). Функции $\eta_{I,III}(x)$, $\theta_{I,III}(x)$ описывают распределения ингибитора и активатора вне стенок страт.

Обобщая изложенные выше результаты [76, 77], распределения $\theta(x)$ и $\eta(x)$ в широкой страте размера $\mathcal{L}_s \gg l$, учитывая ее симметрию относительно точки $x=0$ (рис. 6, а и 26, в), можно записать в виде [79]

$$\begin{aligned}\theta(x) &= \theta_{sh}(x) + \theta_{III}(x) - \theta_{s3}, \quad 0 \leq x \leq \frac{\mathcal{L}_s}{2}, \\ &= \theta_{sh}(x) + \theta_I(x) - \theta_{s1}, \quad \frac{\mathcal{L}_s}{2} \leq x \leq \frac{\mathcal{L}_p}{2},\end{aligned}\tag{12.6}$$

$$\begin{aligned}\eta(x) &= \eta_{III}(x), \quad 0 \leq x \leq \frac{\mathcal{L}_s}{2}, \\ &= \eta_I(x), \quad \frac{\mathcal{L}_s}{2} \leq x \leq \frac{\mathcal{L}_p}{2},\end{aligned}$$

где $\theta_{sh}(x)$ — резкое распределение, описывающее стенку страты; оно отвечает сепаратрисе уравнения (12.1) при $\eta = \eta_s$, идущей из одной седловой точки $\theta_{s3} = \theta_{\max}$ в другую $\theta_{s1} = \theta_{\min}$.

Вытекающие из качественной теории ДС [75–77] формулы (12.3), (12.5), (12.6) определяют основные параметры страт с точностью до $\epsilon \ll 1$. Этот вывод можно обосновать в рамках асимптотической теории [79], идея которой базируется на том, что в стенках страт активатор резко меняется на малой длине $\sim l \ll L$ и поэтому их можно рассматривать как пограничные слои. Наличие таких погранслоев позволяет использовать для анализа страт идеи теории сингулярных возмущений, развитые для других задач с погранслоями [173–175]. Так, можно убедиться, что уравнения (1.1), (1.2) для стационарных состояний в соответствии с качественной теорией дифференциальных уравнений [26] с точностью до $\epsilon \ll 1$ сводятся [176, 177] к уравнениям для резких и плавных распределений. Однако для построения формы страт в соответствии с изложенной выше качественной теорией из множества резких и плавных распределений нужно составить такое решение, которое удовлетворяет некоторым интегральным (см. выражения (11) в [77]) и граничным условиям. Такая асимптотическая теория страт развита в [79] (применительно к АС она изложена в п. 3.3 обзора [25]).

12.2. Условия локального пробоя в стратах [75, 76, 78]. Естественно, что в системах, однородное состояние которых $\theta = \theta_h$ и $\eta = \eta_h$ неустойчиво, не могут существовать состояния в виде одного или нескольких АС, т. е. уединенных состояний, на периферии которых $\theta \rightarrow \theta_h$, а $\eta \rightarrow \eta_h$ [25]. Иными словами, при уровнях возбуждения $A_c < A < A'_c$ период страт \mathcal{L}_p ограничен сверху некоторой величиной \mathcal{L}_{\max} , значение которой при $A \rightarrow A_c$ (или при $A \rightarrow A'_c$) стремится к бесконечности (рис. 8, а). При заданном A величина \mathcal{L}_{\max} есть период страт, в которых распределение $\eta(x)$ отвечает наивысшей траектории движения «частицы» в потенциале U_η (рис. 26, б). В диапазоне $A_c < A < A'_c$ могут реализовываться две ситуации.

Первая из них изображена на рис. 27, а и осуществляется, когда

$$U_\eta(\eta'_0) - U_\eta(\eta_s) = \int_{\eta'_0}^{\eta_s} Q_{III} d\eta > U_\eta(\eta_0) - U_\eta(\eta_s) = \int_{\eta_0}^{\eta_s} Q_I d\eta.\tag{12.7}$$

При выполнении неравенства (12.7) зависимость максимального периода страт $\mathcal{L}_p = \mathcal{L}_{\max}$ от A определяется формулами (12.5)⁽¹²⁾, в которых

надо положить $\eta_t = \eta_0$, а $\theta_t = \theta_0$:

$$\begin{aligned}\mathcal{L}_{\max} &= \mathcal{L}_m + \sqrt{2}L \int_{\eta_s}^{\eta_0} \left(\int_{\eta_0}^{\eta} Q_I d\eta \right)^{-1/2} d\eta, \\ \mathcal{L}_m &= \sqrt{2}L \int_{\eta_m}^{\eta_s} \left(\int_{\eta_m}^{\eta} Q_{III} d\eta \right)^{-1/2} d\eta, \\ \int_{\eta_s}^{\eta_0} Q_I d\eta + \int_{\eta_m}^{\eta_s} Q_{III} d\eta &= 0, \quad q(\theta_m, \eta_m, A) = 0,\end{aligned}\tag{12.8a}$$

где $\mathcal{L}_s = \mathcal{L}_m$ — критическая ширина горячих областей страт.

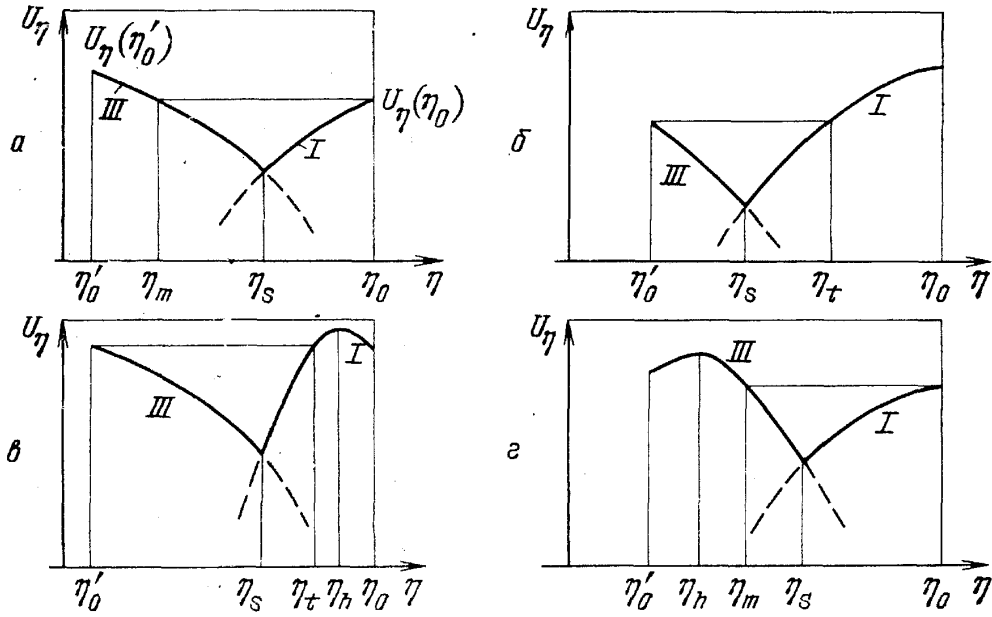


Рис. 27. Вид потенциалов U_η для плавных распределений и наивысших траекторий движения «частицы» в них, отвечающих стратам периода $\mathcal{L}_p = \mathcal{L}_{\max}$ при $A_c < A < A'_c$ (а, б), при $A_d < A < A_c$ (в) и при $A'_c < A < A'_d$ (г)

Вторая ситуация изображена на рис. 27, б и реализуется, когда по мере увеличения A условие (12.7) при некотором A сменяется на обратное. В этом случае зависимость $\mathcal{L}_{\max}(A)$ определяется формулами (12.5), в которых необходимо положить $\eta_m = \eta'_0$, а $\theta_m = \theta'_0$:

$$\begin{aligned}\mathcal{L}_{\max} &= \mathcal{L}_m + \sqrt{2}L \int_{\eta_s}^{\eta_t} \left(\int_{\eta_t}^{\eta} Q_I d\eta \right)^{-1/2} d\eta, \\ \mathcal{L}_m &= \sqrt{2}L \int_{\eta_0}^{\eta_s} \left(\int_{\eta_0}^{\eta} Q_{III} d\eta \right)^{-1/2} d\eta, \\ \int_{\eta_s}^{\eta_t} Q_I d\eta + \int_{\eta_0}^{\eta_s} Q_{III} d\eta &= 0, \quad q(\theta_t, \eta_t, A) = 0.\end{aligned}\tag{12.8б}$$

Из качественной зависимости \mathcal{L}_{\max} от A (рис. 8, а) следует, что N страт периода $\mathcal{L}_p = \mathcal{L}/N$ в системе размера \mathcal{L} существует в определенном диапазоне изменений A . На границах этого диапазона $A = A_d^{(N)}$ и

$A = A_d^{(N)}$ (рис. 8, а) число страт скачкообразно увеличивается за счет локального пробоя (п. 2.1.1). Для страт заданного периода \mathcal{L}_p критические значения $A = A_d^{(N)}$, $A = A_d^{(N)}$ (рис. 8, а) определяются из уравнений (12.8а) или (12.8б), если в них положить $\mathcal{L}_{\max} = \mathcal{L}_p$.

В некоторых системах может реализовываться ситуация, когда локальный пробой в центре уединенной страты — АС происходит при $A < A_c$. В таких системах одиночный АС можно возбудить лишь при $A < A_d < A_c$ (значение A_d определяется формулой (3.37) в обзоре [25]). Отсюда следует, что при $A \rightarrow A_d$ максимальный период страт $\mathcal{L}_p = \mathcal{L}_{\max} \rightarrow \infty$ (рис. 8, б). При $A > A_d$, но $A < A_c$, реализуется ситуация, изображенная на рис. 27, в, когда

$$U_\eta(\eta_h) - U_\eta(\eta_s) > U_\eta(\eta_0) - U_\eta(\eta_s).$$

В этом случае величина $\mathcal{L}_p = \mathcal{L}_{\max}(A)$ определяется формулами (12.8б). Из рис. 8, б следует, что при $A > A_d^{(N)}$ происходит локальный пробой в центре горячих страт (рис. 7, а).

В системах, в которых при $A > A_c$ реализуется эффект деления холодных АС [25], зависимость максимального периода страт $\mathcal{L}_p = \mathcal{L}_{\max}$ от A качественно имеет вид, изображенный на рис. 8, в. Критическое значение $A = A_d'$, при котором реализуется локальный пробой в холодном АС, определяется уравнением (3.39) в [25]. При $A < A_d'$, но $A > A_c$, реализуется ситуация, изображенная на рис. 27, г. В этом случае величина $\mathcal{L}_p = \mathcal{L}_{\max}(A)$ определяется формулами (12.8а). Из рис. 8, в следует, что при $A < A_d^{(N)}$ происходит локальный пробой в центре холодных страт (рис. 6, а).

В принципе, могут существовать системы, в которых реализуется эффект деления как горячих, так и холодных АС. В них максимальный период страт $\mathcal{L}_p = \mathcal{L}_{\max} \rightarrow \infty$ не при $A \rightarrow A_c$ и A_c' , а при $A \rightarrow A_d$ и A_d' , т. е. зависимость $\mathcal{L}_{\max}(A)$ качественно имеет вид, изображенный на рис. 8, г.

В И-системах величина $\mathcal{L}_p = \mathcal{L}_{\max}$ также определяется из уравнений (12.8а) или (12.8б).

12.3. Страты малого периода [172]. Для анализа формы страт периода $\mathcal{L}_p \ll L$ уравнения (1.1), (1.2) для стационарного случая удобно записать в виде

$$\frac{d^2\theta}{dx^2} - q(\theta, \eta, A) = 0, \quad \varepsilon^{-2} \frac{d^2\eta}{dx^2} - Q(\theta, \eta, A) = 0, \quad (12.9)$$

где x измеряется в единицах l . Будем искать решения уравнений (12.9) в виде

$$\eta = \eta^{(0)} + \varepsilon^2 \eta^{(1)} + \dots, \quad \theta = \theta^{(0)} + \varepsilon^2 \theta^{(1)} + \dots \quad (12.10)$$

Подставляя (12.10) в (12.9), получим уравнения для нулевого

$$\frac{d^2\theta^{(0)}}{dx^2} - q(\theta^{(0)}, \eta^{(0)}, A) = 0, \quad (12.11)$$

$$\frac{d^2\eta^{(0)}}{dx^2} = 0 \quad (12.12)$$

и первого приближения

$$\frac{d^2\theta^{(1)}}{dx^2} - q'_\theta(\theta^{(0)}, \eta^{(0)}, A) \theta^{(1)} = q'_\eta(\theta^{(0)}, \eta^{(0)}, A) \eta^{(1)}, \quad (12.13)$$

$$\frac{d^2\eta^{(1)}}{dx^2} = Q(\theta^{(0)}, \eta^{(0)}, A). \quad (12.14)$$

На границах периода страт производные $d\eta/dx = d\theta/dx = 0$, т. е. согласно (12.10) при $x = \pm (\mathcal{L}_p/2) + n\mathcal{L}_p$ ($n=0, 1, 2, \dots$)

$$\frac{d\eta^{(0)}}{dx} = \frac{d\theta^{(0)}}{dx} = 0, \quad \frac{d\eta^{(1)}}{dx} = \frac{d\theta^{(1)}}{dx} = 0. \quad (12.15)$$

Из (12.12) и (12.15) следует, что $\eta^{(0)} = \text{const}$. Условие разрешимости задачи (12.14), (12.15) сводится к ортогональности ее правой части решению однородной задачи, сопряженной задаче (12.14), (12.15), с правой частью, равной нулю (альтернатива Фредгольма [1781]). Поскольку такая однородная задача имеет решение $\eta^{(1)} = \text{const}$, то условие разрешимости задачи (12.14), (12.15) сводится к

$$\int_{-\mathcal{L}_p/2}^{\mathcal{L}_p/2} Q(\theta^{(0)}(x), \eta^{(0)}, A) dx = 0. \quad (12.16)$$

Уравнение (12.11) с $\eta^{(0)} = \text{const}$ совместно с условием (12.16) полностью определяют функцию $\theta^{(0)}(x)$ и величину $\eta^{(0)}$, т. е. распределения активатора и ингибитора в нулевом по ε^2 приближении. Анализ такой задачи проведен в [160] и изложен в обзоре [25]. Из этого анализа следует, что распределение $\theta^{(0)}(x)$ существенным образом определяется видом кривой ЛС (см. рис. 2).

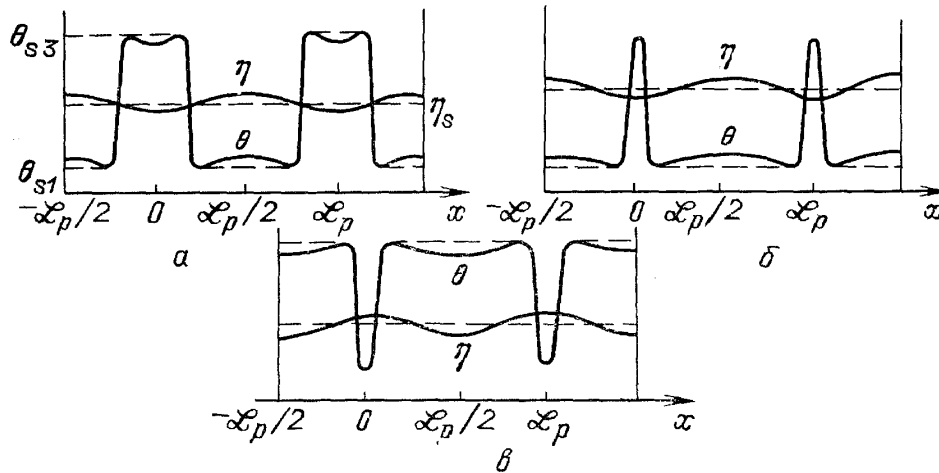


Рис. 28. Периодические страты периода $\mathcal{L}_p \ll L$: а — широкие ($\mathcal{L}_s \gg l$), б — узкие горячие, в — узкие холодные. Штриховыми линиями на рис. а—в показано распределение θ и η при $L \rightarrow \infty$

Вследствие того, что кривая ЛС имеет V-, Λ -, И- или N-образный вид, уравнение (12.11) допускает периодические решения [25]. При этом в N- и И-системах потенциально устойчивыми оказываются распределения $\theta^{(0)}(x)$ в виде страт, т. е. слоев высокого и низкого значения активатора [25]. Размер стенок страт, в которых $\theta^{(0)}(x)$ резко меняется от θ_{\min} до θ_{\max} , составляют величину порядка l (штриховые кривые на рис. 28, а). В широких стратах размера $\mathcal{L}_s \gg l$ значения $\theta_{\min} = \theta_{s1}$ и $\theta_{\max} = \theta_{s3}$, а также величина $\eta^{(0)} = \eta_s$ определяется из условий (12.3) а размер страты \mathcal{L}_s находится из уравнения (12.16) [79, 160].

В N-системах при $\eta^{(0)} > \eta_s$ реализуются распределения $\theta^{(0)}(x)$ в виде узких горячих страт (штриховые кривые на рис. 28, б), а при $\eta^{(0)} < \eta_s$ — узких холодных страт (рис. 28, в).

В И-системах узкие горячие страты реализуются при $\eta^{(0)} < \eta_s$, а узкие холодные — при $\eta^{(0)} > \eta_s$ [25, 160].

Дифференцируя уравнение (12.11) по x , получим

$$\frac{d^2}{dx^2} \frac{d\theta^{(0)}}{dx} - q'_\theta(\theta^{(0)}, \eta^{(0)}, A) \frac{d\theta^{(0)}}{dx} = 0. \quad (12.17)$$

Из сравнения (12.17) с (12.13) видно, что функция $\theta^{(1)}(x) \propto d\theta^{(0)}/dx$ есть решение самосопряженного уравнения (12.13) с правой частью равной нулю. Благодаря тому, что $\theta^{(0)}(x)$ вдали от стенок страт экспоненциально быстро стремится к константе (θ_{\min} или θ_{\max}), производная $d\theta^{(1)}/dx \propto d^2\theta^{(0)}/dx^2$ в точках $x = \pm \mathcal{L}_p/2$ (рис. 28, а) с экспоненциальной точностью близка к нулю (см. п. 3.1 в [25]), т. е. удовлетворяет граничным условиям (12.15). Отсюда вытекает, что условие разрешимости задачи (12.13), (12.15) сводится к

$$\int_{-\mathcal{L}_p/2}^{\mathcal{L}_p/2} \eta^{(1)}(x) q'_\eta(\theta^{(0)}(x), \eta^{(0)}, A) \frac{d\theta^{(0)}}{dx} dx = 0. \quad (12.18)$$

Поскольку в стратах относительно точки $x=0$ (рис. 28, а) $\theta^{(0)}(x)$ есть четная функция, а $d\theta^{(0)}/dx$ — нечетная, то из (12.18) следует, что $\eta^{(1)}(x)$ является четной функцией. В центре страты $\theta^{(0)} = \theta_{ss}$, а $\eta^{(0)} = \eta_s$. При этом в N-системах $Q(\theta_{ss}, \eta_s, A) > 0$, а в И-системах $Q < 0$ (см. п. 3.1 в [25]). Поэтому из (12.14) следует, что функция $\eta^{(1)}(x)$ в центре страт в N-системах имеет минимум (рис. 28, а), а в И-системах — максимум. Из анализа (12.13) вытекает, что как в N-, так и в И-системах функция $\theta^{(1)}(x)$ в центре страт имеет минимум, а на границах периода (в точках $x = \pm \mathcal{L}_p/2 + n\mathcal{L}_p$; $n=0, 1, \dots$) — максимум (рис. 28, а). Этот же результат вытекает и из процедуры построения страт, изложенной в п. 12.1.

12.4. Устойчивость страт [75, 76, 160]. Для исследования устойчивости страт линеаризуем уравнения (1.1), (1.2) вблизи решения в виде страт периода \mathcal{L}_p относительно флуктуаций вида

$$\delta\theta(\mathbf{r}, t) = \delta\theta(x) \exp(ik_\perp \mathbf{r}_\perp - \gamma t), \quad (12.19)$$

$$\delta\eta(\mathbf{r}, t) = \delta\eta(x) \exp(ik_\perp \mathbf{r}_\perp - \gamma t),$$

где $k_\perp^2 = k_y^2 + k_z^2$; $k_y = 2\pi n_1/\mathcal{L}_y$, $k_z = 2\pi n_2/\mathcal{L}_z$, $n_{1,2} = 0, \pm 1, \dots$; \mathcal{L}_y и \mathcal{L}_z — размеры системы в направлении осей y и z . В результате придем к системе уравнений

$$(\hat{H}_\theta - \gamma + k_\perp^2) \delta\theta = -q'_\eta \delta\eta, \quad (12.20)$$

$$\hat{H}_\theta = -\frac{d^2}{dx^2} + V_\theta, \quad V_\theta = q'_\theta(\theta(x), \eta(x), A),$$

$$(\hat{H}_\eta - \alpha^{-1}\gamma + \varepsilon^{-2}k_\perp^2) \delta\eta = -Q'_\theta \delta\theta, \quad (12.21)$$

$$\hat{H}_\eta = -\varepsilon^{-2} \frac{d^2}{dx^2} + V_\eta, \quad V_\eta = Q'_\eta(\theta(x), \eta(x), A),$$

в которых длина и время измеряются, соответственно в единицах l и τ_0 . В протяженной системе размера $\mathcal{L} \gg L$ для флуктуаций $\delta\theta(x)$ и $\delta\eta(x)$ можно использовать циклические граничные условия:

$$\delta\theta(0) = \delta\theta(\mathcal{L}), \quad \left. \frac{d\delta\theta}{dx} \right|_0 = \left. \frac{d\delta\theta}{dx} \right|_{\mathcal{L}}, \quad (12.22)$$

$$\delta\eta(0) = \delta\eta(\mathcal{L}), \quad \left. \frac{d\delta\eta}{dx} \right|_0 = \left. \frac{d\delta\eta}{dx} \right|_{\mathcal{L}}.$$

Из (12.19) видно, что рассматриваемое состояние неустойчиво, когда $\text{Re } \gamma < 0$.

12.4.1. Для анализа величины γ рассмотрим вспомогательную задачу

$$\begin{aligned} \hat{H}_\theta \delta\theta_n &= \lambda_n \delta\theta_n, \\ \delta\theta_n(0) &= \delta\theta_n(\mathcal{L}), \quad \left. \frac{d\delta\theta_n}{dx} \right|_0 = \left. \frac{d\delta\theta_n}{dx} \right|_{\mathcal{L}}, \end{aligned} \quad (12.23)$$

собственные функции $\delta\theta_n(x)$ которой нормированы. Из (12.20), (12.23) видно, что собственные функции $\delta\theta_n$ и значения λ_n описывают флуктуации активатора при $\delta\eta=0$.

Для страт периода \mathcal{L}_p (рис. 9, а) потенциал V_θ (рис. 9, б) в операторе \hat{H}_θ представляет собой периодическое повторение потенциала для одиночной страты ($0 \leq x \leq \mathcal{L}_p$, рис. 9). Последний, как следует из построения страты (п. 12.1), по виду близок к рассмотренному для АС в п. 4.2 обзора [25].

Для одиночной страты потенциал $V_\theta = q_\theta'$ представляет собой две узкие ямы (размера $\sim l$) с $\min V_\theta < 0$, локализованные в областях стенок страты, т. е. находящиеся на расстоянии \mathcal{L}_s друг от друга; вне этих ям $V_\theta = q_\theta' \sim 1$ ($0 \leq x \leq \mathcal{L}_p$, рис. 9, б). В спектре λ_n задачи (12.23) для одиночной страты, так же как и для АС [25], только значения λ_0 и $\lambda_1 < 0$. Им отвечают локализованные в стенках страты функции $\delta\theta_0$ и $\delta\theta_1$, близкие по виду к аналогичным функциям для АС (см. рис. 16 в [25]). Вне стенок страты функции $\delta\theta_0$ и $\delta\theta_1$ экспоненциально спадают с характерной длиной $\sim l$. Оценки величин λ_0 и λ_1 для одиночной страты и для АС совпадают, т. е. даются формулами [25, 79, 172]

$$\lambda_0 \sim -\frac{\varepsilon \mathcal{L}_s}{L} \exp\left(-\frac{\mathcal{L}_s}{l}\right), \quad \lambda_1 \sim -\frac{\varepsilon \mathcal{L}_s}{L}. \quad (12.24)$$

Учитывая, что функции $\delta\theta_0$ и $\delta\theta_1$ для одиночной страты сильно локализованы, для нахождения собственных функций $\delta\theta_n$ и собственных значений λ_n задачи (12.23) для периодически расположенных страт (рис. 9) можно воспользоваться теорией возмущений, называемой в теории твердого тела [179] приближением сильно связанных электронов. При таком подходе локализованные в стенках страт собственные функции $\delta\theta_n$ периодического потенциала V_θ (рис. 9, б) можно записать в виде

$$\delta\theta_n \equiv \delta\theta_{s,t}(x) = \sum_{p=1}^N \exp(ik_s x_p) \delta\theta_t(x - x_p) \quad (t = 0, 1), \quad (12.25)$$

где $k_s = 2\pi s / N\mathcal{L}_p$ ($s = 0, \pm 1, \dots, \pm(N/2 - 1), N/2$), $N = \mathcal{L} / \mathcal{L}_p$ — число горячих страт в системе; $\delta\theta_t(x - x_p)$ — собственные функции для одиночной горячей страты, локализованные в областях ее стенок, а $x_p = p\mathcal{L}_p - \mathcal{L}_p/2$ — координата центра p -й страты. Функции $\delta\theta_{s,t}(x)$ и $\delta\theta_t(x - x_p)$ ортонормированы:

$$\langle \delta\theta_{s,t} \delta\theta_{s',t}^* \rangle \equiv \frac{1}{V} \int_V \delta\theta_{s,t} \delta\theta_{s',t}^* d\mathbf{r} = \delta_{ss'}, \quad N \langle \delta\theta_t \delta\theta_{t'}^* \rangle = \delta_{tt'}, \quad (12.26)$$

где V — объем системы, а $\delta_{ss'}$ и $\delta_{tt'}$ — символы Кронекера. Функции $\delta\theta_t(x - x_p)$ для различных страт, т. е. отвечающие разным значениям p (рис. 9, а), экспоненциально слабо перекрываются. Поэтому дискретные собственные значения λ_0 и λ_1 для одиночной страты в случае N страт N -кратно расщепляются в узкие зоны шириной $\Delta\lambda_t \sim \exp(-\mathcal{L}_p/l) \ll 1$. Иными словами, с экспоненциальной точностью собственные значения

$$\lambda_n \equiv \lambda_{s,t} \approx \lambda_t \quad (t = 0, 1) \quad (12.24).$$

12.4.2. Рассмотрим вначале устойчивость страт малого периода $\mathcal{L}_p \ll L$. Для таких страт решения задачи (12.20)–(12.22) можно искать в виде рядов:

$$\delta\theta = \delta\theta^{(0)} + \varepsilon^2 \delta\theta^{(1)} + \dots, \quad \delta\eta = \delta\eta^{(0)} + \varepsilon^2 \delta\eta^{(1)} + \dots, \quad \gamma = \gamma^{(0)} + \varepsilon^2 \gamma^{(1)} + \dots \quad (12.27)$$

Подставляя (12.10) и (12.27) в (12.20)–(12.22), для $\varepsilon^2 \ll \alpha$, 1 получим уравнения нулевого

$$(\hat{H}_\theta^{(0)} - \gamma^{(0)} + k_\perp^2) \delta\theta^{(0)} = -q'_\eta \delta\eta^{(0)}, \quad (12.28)$$

$$\begin{aligned} \hat{H}_\theta^{(0)} &= -\frac{d^2}{dx^2} + V_\theta^{(0)}, \quad V_\theta^{(0)} = q'_\theta, \\ -\frac{d^2 \delta\eta^{(0)}}{dx^2} + k_\perp^2 \delta\eta^{(0)} &= 0 \end{aligned} \quad (12.29)$$

и первого приближения

$$(\hat{H}_\theta^{(0)} - \gamma^{(0)} + k_\perp^2) \delta\theta^{(1)} = -q'_\eta \delta\eta^{(1)} - (\psi - \gamma^{(1)}) \delta\theta^{(0)} - \varphi \delta\eta^{(0)}, \quad (12.30)$$

$$\begin{aligned} \psi &= q''_{\theta\theta} \theta^{(1)} + q''_{\theta\eta} \eta^{(1)}, \quad \varphi = q''_{\eta\theta} \theta^{(1)} + q''_{\eta\eta} \eta^{(1)}, \\ -\frac{d^2 \delta\eta^{(1)}}{dx^2} + k_\perp^2 \delta\eta^{(1)} &= -Q'_\theta \delta\theta^{(0)} - (Q'_\eta - \alpha^{-1} \gamma^{(0)}) \delta\eta^{(0)}, \end{aligned} \quad (12.31)$$

где $q'_\theta \equiv q'_\theta(\theta^{(0)}, \eta^{(0)}, A)$ и т. д., а функции $\delta\eta^{(i)}$ и $\delta\theta^{(i)}$ ($i=0, 1$) удовлетворяют циклическим граничным условиям:

$$\begin{aligned} \delta\theta^{(i)}(0) &= \delta\theta^{(i)}(\mathcal{L}), \quad \left. \frac{d\delta\theta^{(i)}}{dx} \right|_0 = \left. \frac{d\delta\theta^{(i)}}{dx} \right|_{\mathcal{L}}, \\ \delta\eta^{(i)}(0) &= \delta\eta^{(i)}(\mathcal{L}), \quad \left. \frac{d\delta\eta^{(i)}}{dx} \right|_0 = \left. \frac{d\delta\eta^{(i)}}{dx} \right|_{\mathcal{L}} \quad (i=0, 1). \end{aligned} \quad (12.32)$$

Из (12.29), (12.32) следует, что $\delta\eta^{(0)}=0$ при $k_\perp \neq 0$ и $\delta\eta^{(0)} = \text{const}$ при $k_\perp = 0$.

Из условия разрешимости задачи (12.31), (12.32) при $k_\perp = 0$ (альтернатива Фредгольма) следует, что

$$\delta\eta^{(0)} = -\langle Q'_\theta \delta\theta^{(0)} \rangle (\mu_0 - \alpha^{-1} \gamma^{(0)})^{-1}, \quad (12.33)$$

где $\mu_0 = \langle Q'_\eta \rangle$, а символ $\langle \dots \rangle$, как и выше, означает усреднение функции по объему системы.

Из (12.28) и (12.33) следует, что рассматриваемая задача (12.20)–(12.22) в нулевом по ε^2 приближении отвечает случаю $L = \infty$, т. е. совпадает с изученной в [80, 160] (см. пп. 4.1 и 6.1 в обзоре [25]).

12.4.2-1. Рассмотрим сначала устойчивость страт относительно флуктуаций (12.19) с $k_\perp = 0$. Среди флуктуаций $\delta\theta^{(0)}$, для которых $\delta\eta^{(0)} \neq 0$, наиболее опасной является флуктуация $\delta\theta^{(0)} \approx \delta\theta_{0,0}$, не имеющая узлов (рис. 9, в).

В КΩ-системах (п. 1.3) с $\varepsilon^2 \ll \alpha \ll 1$ может быть выполнено условие [80]

$$\lambda_0 + \alpha \mu_0 < 0 \quad (12.34)$$

возникновения пульсирующих страт, т. е. нарастания флуктуаций $\delta\theta^{(0)} \approx \delta\theta_{0,0}$ с некоторой выделенной частотой ω_c . Из (12.34), (12.24) и формулы (6.2) в [25] следует, что на пороге возникновения пульсаций

величина ω_c и критическая ширина страт периода \mathcal{L}_p приближенно равны

$$\begin{aligned}\mathcal{L}_s(A_{b\omega}) &= \mathcal{L}_{b\omega} \sim l \ln(\alpha \mu_0)^{-1}, \\ \omega_c &= (\tau_\theta \tau_\eta)^{-1/2} \left(\frac{l}{\mathcal{L}_p} \right)^{1/2}.\end{aligned}\quad (12.35)$$

В К-системах (п. 1.3) благодаря $\alpha > 1$ и $\varepsilon \ll 1$ условие (12.34) согласно (12.24) не выполняется, и опасная флуктуация $\delta\theta^{(0)} \approx \delta\theta_{0,0}$ не нарастает вплоть до точки $A = A_b^{(N)}$, где величина $d\eta_s/dA = \infty$, а ширина страт

$$\mathcal{L}_s(A_b^{(N)}) \equiv \mathcal{L}_b^{(N)} \sim l \ln(\mathcal{L}_p/l)$$

(см. п. 4.1 в [25]). Вместе с тем, периодические страты теряют устойчивость не доходя до точки $A = A_b^{(N)}$, когда их ширина $\mathcal{L}_s > \mathcal{L}_b^{(N)}$.

Это связано с тем, что для страт в спектре флуктуаций $\delta\theta^{(0)}$ имеются такие, для которых $\delta\eta^{(0)} = 0$. Для таких флуктуаций исходная задача (12.20)–(12.22) и рассмотренная выше вспомогательная задача (12.23) в нулевом по ε^2 приближении в точности совпадают, т. е. $\delta\theta^{(0)} = \delta\theta_n^{(0)}$, а $\gamma^{(0)} = \lambda_n^{(0)}$. Наиболее опасные флуктуации $\delta\theta_n^{(0)} = \delta\theta_{s,t}^{(0)}$ имеют вид (12.25), точнее

$$\begin{aligned}\delta\theta_{s,t}^{(0)}(x) &= \sum_{p=1}^N \exp(ik_s x_p) \delta\theta_t^{(0)}(x - x_p), \\ s &= \pm 1, \dots, \pm \left(\frac{N}{2} - 1 \right), \quad \frac{N}{2}; \quad t = 0, 1.\end{aligned}\quad (12.36)$$

Для флуктуаций $\delta\theta^{(0)} = \delta\theta_{s,t}^{(0)}$ величина $\gamma^{(0)} = \lambda_n^{(0)} \equiv \lambda_{s,t}^{(0)} \sim -\exp(-\mathcal{L}_s/l)$ [25], а $\delta\eta^{(0)} = 0$. В последнем можно убедиться, подставляя в (12.33) функцию $\delta\theta^{(0)} = \delta\theta_{s,t}^{(0)}$ из (12.36) и используя свойства функций $\delta\theta_t^{(0)}(x - x_p)$ (п. 12.4.1).

В следующем по ε^2 приближении величину γ , отвечающую опасным флуктуациям $\delta\theta^{(0)} = \delta\theta_{s,t}^{(0)}$ (12.36), можно найти из условия разрешимости задачи (12.30), (12.32) (альтернативы Фредгольма). Для этого учтем, что решением задачи, сопряженной задаче (12.30), (12.32) с правой частью в (12.30), равной нулю, являются функции $\delta\theta^{(0)*} = \delta\theta_{s,t}^{(0)*}$, сопряженные функциям (12.36). Из условия разрешимости задачи (12.30), (12.32) следует, что

$$\gamma^{(1)} = \langle \psi \delta\theta_{s,t}^{(0)} \delta\theta_{s,t}^{(0)*} \rangle + \langle q \delta\eta^{(1)} \delta\theta_{s,t}^{(0)*} \rangle. \quad (12.37)$$

При выводе (12.37) учтено, что функции $\delta\theta_{s,t}^{(0)}$ ортонормированы:

$$\langle \delta\theta_{s,t}^{(0)} \delta\theta_{s',t'}^{(0)*} \rangle = \delta_{ss'}.$$

Выражение для $\delta\eta^{(1)}(x)$ можно найти из (12.31), (12.32). При $k_\perp = 0$ и $\delta\eta^{(0)} = 0$ оно равно

$$\delta\eta^{(1)}(x) = - \langle \Gamma(x, x') Q'_\theta \delta\theta^{(0)} \rangle, \quad (12.38a)$$

где

$$\begin{aligned}\Gamma(x, x') &= \sum_{m=-\infty}^{\infty} k_m^{-2} \exp[ik_m(x - x')], \\ k_m &= \frac{2\pi m}{N\mathcal{L}_p} \quad (m = 0, \pm 1, \dots), \quad N = \frac{\mathcal{L}}{\mathcal{L}_p}.\end{aligned}\quad (12.38b)$$

Подставим (12.38) в (12.37). Учитывая далее, что для рассматриваемых флуктуаций $\delta\theta^{(0)} = \delta\theta_{s,t}^{(0)}$ — (12.36) величина $\langle Q_\theta \delta\theta^{(0)} \rangle = 0$, т. е. $\delta\eta^{(0)} = 0$, получим

$$\gamma = \gamma^{(0)} + \varepsilon^2 \gamma^{(1)} = \lambda_{s,t} + \tilde{a}_{s,t} \varepsilon^2 k_s^{-2} \left(s = \pm 1, \dots, \pm \left(\frac{N}{2} - 1 \right), \frac{N}{2}; t = 0, 1 \right), \quad (12.39)$$

где $k_s = 2\pi s / N \mathcal{L}_p$,

$$\tilde{a}_{s,t} = - \mathcal{L}_p^{-2} \int_{-\mathcal{L}_p/2}^{\mathcal{L}_p/2} \exp(ik_s x) q_\eta' \delta\theta_t^{(0)*}(x) dx \int_{-\mathcal{L}_p/2}^{\mathcal{L}_p/2} \exp(-ik_s x) Q_\theta' \delta\theta_t^{(0)}(x) dx, \quad (12.40)$$

а

$$\lambda_{s,t} = \lambda_{s,t}^{(0)} + \varepsilon^2 \langle \psi \delta\theta_{s,t}^{(0)} \delta\theta_{s,t}^{(0)*} \rangle \approx \lambda_t \quad (t = 0, 1), \quad (12.41)$$

λ_t — собственные значения вспомогательной задачи (12.23), оценка которых дается формулами (12.24). При выводе (12.39) учтены также условия периодичности функций $q_\eta(x)$, $Q_\theta(x)$, равенство [179]

$$N^{-1} \sum_{p=1}^N \exp[ix_p(k_s - k_m)] = \delta_{sm} \quad (12.42)$$

и условия нормировки функций $\delta\theta_t^{(0)}$:

$$N \langle \delta\theta_t^{(0)} \delta\theta_t^{(0)*} \rangle = 1 \quad (t = 0, 1). \quad (12.43)$$

Для рассматриваемых систем величина $q_\eta' Q_\theta' < 0$ (см. п. 2.2 в обзоре [25]), поэтому коэффициенты $\tilde{a}_{s,t} > 0$. При этом из (12.39) следует, что условие неустойчивости страт ($\gamma < 0$) легче всего выполняется для $s = s_{\max} = N/2$, а наиболее опасной⁽²⁰⁾ является флуктуация $\delta\theta^{(0)} = \delta\theta_{N/2,0}^{(0)}$ периода $2\mathcal{L}_p$ (рис. 9, с).

Порог нарастания такой флуктуации согласно (12.39), (12.40) сводится к условию

$$\lambda_0 + \frac{\tilde{a}_0 \mathcal{L}_p^2}{\pi^2 L^2} = 0, \quad (12.44)$$

где учтено, что коэффициенты $\tilde{a}_{s,0} \approx \tilde{a}_{0,0} \equiv \tilde{a}_0$, т. е. слабо зависят от индекса s . Последнее связано с тем, что функции $\delta\theta_0^{(0)}$ в (12.36) сильно локализованы в области размера $\sim l \ll \mathcal{L}_p$. Учитывая это обстоятельство, а также условие нормировки функций $\delta\theta_t^{(0)}$ (12.43), из (12.40) можно найти, что $\tilde{a}_0 \sim l / \mathcal{L}_p$. Используя оценку (12.24), из (12.44) получим, что на пороге потери устойчивости страт их критическая ширина $\mathcal{L}_c^{(N)} = \mathcal{L}_s(A_p^{(N)}) > \mathcal{L}_b^{(N)} \sim l \ln(\mathcal{L}_p / l)$ и при $\mathcal{L}_p < L$ величина $\mathcal{L}_c^{(N)}$ приближенно дается формулой (2.1). Минимальный период устойчивых; страт \mathcal{L}_{\min} (п. 2.2) определяется формулами (12.5), если в них положить $\mathcal{L}_p = \mathcal{L}_{\min}$ и $\mathcal{L}_s = \mathcal{L}_c^{(N)}$ — (2.1).

Страты периода $\mathcal{L}_p \gg L$ представляют собой слабо взаимодействующие АС, поэтому они теряют устойчивость при A , близком к A_b , т. е. вблизи точки, где $d\mathcal{L}_s/dA = d\eta_s/dA = \infty$ [25]. При этом их критическая ширина практически совпадает с шириной автосолитона $\mathcal{L}_b \sim l \ln(L/l)$ в критической точке $A = A_b$ [25].

12.4.2-2. В дву- или трехмерном случае при анализе условий нарастания флуктуаций (12.19) с $k_\perp \neq 0$, как вытекает из анализа уравнений (12.28) — (12.31), множитель k_m^{-2} в (12.38б) необходимо заменить на:

$(k_m^2 + k_\perp^2)^{-1}$ и учесть, что величина $\gamma^{(0)} = \lambda_n^{(0)} + k_\perp^2$. Иными словами, вместо (12.39), получим

$$\gamma = \lambda_{s,t} + k_\perp^2 + \tilde{a}_{s,t} \varepsilon^2 (k_s^2 + k_\perp^2)^{-1} \quad (12.45)$$

$$\left(s = 0, \pm 1, \dots, \pm \left(\frac{N}{2} - 1 \right), \frac{N}{2}; t = 0, 1 \right).$$

Из (12.45) вытекает рассмотренное в п. 2.3 условие $\mathcal{L}_s < \mathcal{L}_{b1}^{(N)}$ неустойчивости страт относительно гофрировки их стенок. Подчеркнем, что для страт периода $\mathcal{L}_p < L(l/L)^{1/3}$ условие $\mathcal{L}_s < \mathcal{L}_{b1}^{(N)}$ оказывается более жестким, чем условие $\mathcal{L}_s < \mathcal{L}_c^{(N)}$ неустойчивости страт вследствие эффекта перекачки (п. 2.2).

12.4.3. Для анализа устойчивости страт произвольного периода, в том числе $\mathcal{L}_p \gg L$, рассмотрим вспомогательную задачу

$$\hat{H}_\eta \delta \eta_k = \mu_k \delta \eta_k, \quad (12.46)$$

$$\delta \eta_k(0) = \delta \eta_k(\mathcal{L}), \quad \left. \frac{d\delta \eta_k}{dx} \right|_0 = \left. \frac{d\delta \eta_k}{dx} \right|_{\mathcal{L}},$$

в которой оператор \hat{H}_η определен в (12.21), а функции $\delta \eta_k$ ортонормированы:

$$\langle \delta \eta_k \delta \eta_{k'}^* \rangle = \delta_{kk'}. \quad (12.47)$$

В «гамильтониане» \hat{H}_η «потенциал» $V_\eta = Q'_\eta > 0$, поэтому все собственные значения $\mu_k > 0$, причем их величина согласно осцилляционной теореме возрастает с ростом индекса k . Учитывая периодичность «потенциала» V_η , собственные функции $\delta \eta_k$ можно записать в виде блоховских функций [179]:

$$\delta \eta_k \equiv \delta \eta_{\beta, \nu}(x) = u_{\beta, \nu}(x) \exp(ik_\beta x), \quad (12.48)$$

где $u_{\beta, \nu}(x)$ — блоховские множители, имеющие период \mathcal{L}_p , а

$$k_\beta = \frac{2\pi\beta}{N\mathcal{L}_p}, \quad \beta = 0, \pm 1, \dots, \pm \left(\frac{N}{2} - 1 \right), \frac{N}{2}; \nu = 0, 1, \dots$$

Из проведенного в пп. 12.4.1 и 12.4.2 анализа вытекает, что среди собственных функций $\delta \theta(x)$ задачи (12.20)–(12.22) «опасными» оказываются флуктуации $\delta \theta \approx \delta \theta_{s,t}$ — (12.25), для которых, как уже отмечалось, $\lambda_{s,t} \approx \lambda_t < 0$. Нарастание таких флуктуаций активатора может подавляться соответствующими изменениями ингибитора, которые, как следует из (12.21), равны [75]

$$\delta \eta(x) = - \langle \Gamma(x, x', \gamma) Q'_\theta \delta \theta_{s,t} \rangle =$$

$$= - \sum_{\beta, \nu} \delta \eta_{\beta, \nu}(x) \langle \delta \eta_{\beta, \nu}^* Q'_\theta \delta \theta_{s,t} \rangle (\mu_{\beta, \nu} + \varepsilon^{-2} k_\perp^2 - \alpha^{-1} \gamma)^{-1}, \quad (12.49)$$

где $\Gamma(x, x', \gamma)$ — функция Грина задачи (12.21), (12.22) с правой частью в (12.21), равной нулю. (В (12.49) функция $\Gamma(x, x', \gamma)$ выражена через собственные функции $\delta \eta_k \equiv \delta \eta_{\beta, \nu}(x)$ и собственные значения $\mu_k \equiv \mu_{\beta, \nu}$ вспомогательной задачи (12.46).) Подставим (12.49) в (12.20) с функцией $\delta \theta = \delta \theta_{s,t}$ — (12.25), домножим полученное уравнение слева на $\delta \theta_{s,t}^*$ и усредним его по V . В результате, учитывая (12.42) и условие периодичности функций $u_{\beta, \nu}(x)$, получим уравнения для оценки критических

значений γ [80]:

$$\Phi_{s,t}(\gamma) = \lambda_t + k_{\perp}^2 - \gamma + \sum_{v=0}^{\infty} a_{s,t}^{(v)} \mu_{s,v} (\mu_{s,v} + \varepsilon^{-2} k_{\perp}^2 - \alpha^{-1} \gamma)^{-1} = 0, \quad (12.50)$$

где коэффициенты

$$a_{s,t}^{(v)} = -\mu_{s,v}^{-1} \mathcal{L}_p^{-2} \int_{-\mathcal{L}_p/2}^{\mathcal{L}_p/2} \mu_{s,v}(x) \exp(ik_s x) q_{\eta}' \delta \theta_t^*(x) dx \times \\ \times \int_{-\mathcal{L}_p/2}^{\mathcal{L}_p/2} \mu_{s,v}^*(x) \exp(-ik_s x) Q_{\theta}' \delta \theta_t(x) dx \geq 0, \quad (12.51)$$

$$s = 0, \pm 1, \dots, \pm \left(\frac{N}{2} - 1\right), \frac{N}{2}; \quad t = 0, 1.$$

12.4.4. В К-системах условие (12.34) не выполняется. В этом случае из анализа уравнений (12.50), аналогичного проведенному в п. 4.2 и 6.2 обзора [25] при исследовании устойчивости АС, следует, что величина γ вблизи порога устойчивости страт равна [75, 77]

$$\gamma = \lambda_t + k_{\perp}^2 + \sum_{v=0}^{\infty} a_{s,t}^{(v)} \mu_{s,v} (\mu_{s,v} + \varepsilon^{-2} k_{\perp}^2)^{-1}. \quad (12.52)$$

Учитывая, что величины $\mu_{s,v}$ возрастают с ростом индекса v , для оценок критических параметров страт можно ограничиться лишь первым членом суммы в (12.52) и учесть, что $a_{0,0}^{(0)} \mu_{0,0} \approx \tilde{a}_0 \sim l/\mathcal{L}_p$.

В этом случае из (12.52) следуют приведенные в п. 2.3 критические значения для величин k_{\perp} и ширины страт (2.2) в точках потери устойчивости страт относительно нарастания флуктуации

$$\delta \theta \approx \delta \theta_{0,0}(x) \exp(ik_{\perp} \mathbf{r}_{\perp}).$$

Условие неустойчивости горячих страт (рис. 9, а) относительно перекачки активатора следует из выражения (12.52), если в нем положить $k_{\perp} = 0$ и $t = 0$ [75, 78]:

$$\lambda_0 + a_{0,0}^{(0)} \mu_{0,0}^{-1} < 0 \quad \left(s = 0, \pm 1, \dots, \pm \left(\frac{N}{2} - 1\right), \frac{N}{2}\right). \quad (12.53)$$

Так как $\mu_{s,0}$ возрастает с ростом s , то наиболее опасной оказывается флуктуация $\delta \theta \approx \delta \theta_{s,0}(x)$ с $s = s_{\max} = N/2$. Из (12.24) и (12.53) следует, что критическая ширина страт в точке неустойчивости (типа перекачки активатора) равна

$$\mathcal{L}_s(A_p^{(N)}) \equiv \mathcal{L}_c^{(N)} \sim l \ln [\mu_{N/2,0} (a_{0,0}^{(0)} \mu_{0,0})^{-1}]. \quad (12.54)$$

Оценим величину $\mu_{N/2,0}$ для страт периода $\mathcal{L}_p \ll L$. В этом случае решения задачи (12.46) можно искать в виде рядов

$$\delta \eta_k = \delta \eta_k^{(0)} + \varepsilon^2 \delta \eta_k^{(1)} + \dots, \quad \mu_k = \varepsilon^{-2} \tilde{\mu}_k^{(0)} + \tilde{\mu}_k^{(1)} + \dots \quad (12.55)$$

Подставляя (12.55) в (12.46), в нулевом приближении получим

$$-\frac{d^2 \delta \eta_k^{(0)}}{dx^2} = \tilde{\mu}_k^{(0)} \delta \eta_k^{(0)}, \quad (12.56)$$

$$\delta \eta_k^{(0)}(0) = \delta \eta_k^{(0)}(\mathcal{L}), \quad \left. \frac{d \delta \eta_k^{(0)}}{dx} \right|_0 = \left. \frac{d \delta \eta_k^{(0)}}{dx} \right|_{\mathcal{L}}.$$

Задача (12.56) имеет решения $\delta\eta_k^{(0)}(x) = \exp(2\pi i k x / N\mathcal{L}_p)$, $\tilde{\mu}_k^{(0)} = 2\pi k / (N\mathcal{L}_p)^2$, $k = 0, \pm 1, \dots$. Таким образом, при $\mathcal{L}_p \ll L$ величина $\mu_{N/2,0} \approx \varepsilon^{-2} \tilde{\mu}_{N/2}^{(0)} = \pi^2 L^2 / \mathcal{L}_p^2$. Поскольку $a_{0,0}^{(0)} \mu_{0,0} \approx \tilde{a}_0 \sim l / \mathcal{L}_p$, то из (12.54) следует формула (2.1), полученная выше из условия (12.44).

12.4.5. В КΩ-системах, как следует из анализа уравнений (12.50), аналогичного изложенному в п. 6.2 обзора [25], нарастающей может оказаться флуктуация $\delta\theta \approx \delta\theta_{0,0}(x) \cos(\omega_c t)$ с $\omega_c \neq 0$. Частота пульсаций страт ω_c дается (12.35), а условие возникновения пульсирующих страт сводится к (12.34). Из (12.34) и (12.24) следует, что ширина устойчивых относительно пульсаций страт, так же как и ширина АС [25], заключена в диапазоне $\mathcal{L}_{b\omega} < \mathcal{L}_s < \mathcal{L}_\omega$, где величина $\mathcal{L}_{b\omega}$ дается (12.35), а $\mathcal{L}_\omega \sim L\mu_{0,0}(\alpha/\varepsilon)$.

Заключение. Приведенные в данном обзоре результаты позволяют проанализировать картину самоорганизации при изменении не только уровня возбуждения системы, но и других ее параметров. Так, при уменьшении длины системы, когда \mathcal{L} достигает величины $N\mathcal{L}_{\min}(A)$, число страт N скачкообразно уменьшается в результате неустойчивости типа перекачки (п. 2.2). Напротив, при увеличении размера системы \mathcal{L} (в полупроводниках и газах расстояния между электродами) период страт возрастает, и при некоторой критической длине $\mathcal{L} = N\mathcal{L}_{\max}(A)$ происходит локальный пробой в центре страт или между ними (п. 2.1). В результате такой динамической перестройки число страт увеличивается.

Эти результаты представляются важными для биологии, в том числе для анализа эмбрио и морфогенеза, т. е. изменения формы зародыша или организма по мере их роста. Для описания таких процессов часто используют модели типа (1.11) и (1.12), а определяющая роль в них отводится флуктуациям [3, 5, 6, 8, 12]. Вместе с тем, как мы видим, явления самоорганизации, реализующиеся по мере роста системы, происходят, как правило, благодаря динамической перестройке (п. 2.1). Таким образом, флуктуации могут не играть существенной роли в выборе вида образующейся ДС [78, 115].

В реальных системах, т. е. в эксперименте, картина самоорганизации определяется их неоднородностью. Малые локальные неоднородности играют роль зародышей для скачкообразного возникновения автосолитонов, дальнейшая эволюция которых и определяет процесс самоорганизации (раздел 4 и п. 5.3).

Подчеркнем, что в большинстве случаев спонтанное образование и эволюция ДС реализуются в моностабильных системах, т. е. в системах, внешние параметры которых однозначно или даже линейно зависят от уровня возбуждения. При этом образование шнуров или доменов электрического поля в общем случае не связано с видом вольтамперной характеристики (ВАХ) системы. Так, многошнуровые и многодоменные состояния могут возникать в моностабильной электронно-дырочной плазме с однозначной ВАХ (раздел 8); газовый разряд имеет S-образную ВАХ, а в нем образуются страты (домены электрического поля) [45, 466]; напротив, в транзисторной структуре образуются шнуры тока, а ее ВАХ может иметь N-образный вид (п. 7.3). Отметим, что эффект локального пробоя (п. 2.1.1) непосредственно связан с моностабильностью систем, поскольку в них могут образовываться лишь страты конечной ширины. Действительно, реализация широких страт большого периода по существу означает существования в системе двух устойчивых однородных состояний, т. е. возможна лишь в бистабильных системах (раздел 6).

Подчеркнем, что картина самоорганизации, в том числе и возникновения турбулентности (раздел 9), не зависит от природы системы, т. е. механизмов, определяющих процессы активации и ингибирования, а прежде всего определяется видом ее нелинейности, точнее кривой ЛС, а также степенью инерционности и дальности действия активатора по сравнению с ингибитором (п. 1.3). Поэтому экспериментально изучая свойства ДС в сложных химических и биологических системах, можно сделать выводы о качественном виде кривой ЛС и других параметрах математической модели, которую можно использовать для описания наблюдаемой картины самоорганизации. С другой стороны, изучая конкретные физические системы, для которых уравнения, описывающие ДС, удается корректно вывести (например, электронно-дырочную плазму (п. 8.1 — 8.3) или наиболее удобные для экспериментальных исследований полупроводниковые структуры (раздел 7)), можно сделать выводы о сценариях самоорганизации, относящихся к системам различной природы, в том числе химическим и биологическим.

Список основных аббревиатур и обозначений

- АС — автосолиiton.
 ВАХ — вольт-амперная характеристика.
 ДС — диссипативная структура.
 Кривая ЛС — кривая локальной связи.
 Кривая УС — кривая уравнения состояния.
 ОПЗ — область пространственного заряда (p — n -перехода).
 ЭДП — электронно-дырочная плазма.
 θ — значение активатора.
 η — значение ингибитора.
 θ_h и η_h — значения активатора и ингибитора в однородной среде.
 l и τ_θ — характерная длина и время изменения активатора.
 L и τ_η — характерная длина и время изменения ингибитора.
 $\varepsilon = l/L$,
 $\alpha = \tau_\theta/\tau_\eta$.
 A — уровень возбуждения системы (управляющий или бифуркационный параметр).
 A_c и A'_c — критические значения A , ограничивающие снизу и сверху области неустойчивости однородного состояния среды.
 A_b (A'_b) — граничное значение A , ниже (выше) которого статические АС и другие ДС не реализуются.
 $A_p^{(N)}$ ($A'_p^{(N)}$) — значение A , при котором N «горячих» («холодных») страт периода \mathcal{L}_p в системе размера $\mathcal{L} = N\mathcal{L}_p$ теряют устойчивость вследствие эффекта «перекачки».
 A_d (A'_d) или $A_d^{(N)}$ ($A'_d^{(N)}$) — значения A , при которых происходит локальный пробой в центре «горячего» («холодного») АС или в центре «горячих» («холодных») периодических страт.
 \mathcal{L}_p — период страт.
 \mathcal{L}_s ($\tilde{\mathcal{L}}_s$) — ширина «горячих» («холодных») страт и автосолиитонов.
 \mathcal{L}_{\min} — минимально возможный период страт.
 \mathcal{L}_{\max} — максимально возможный период страт.
 K -, Ω -, $K\Omega$ -, KN - и другие обозначения систем пояснены в табл. I.

ПРИМЕЧАНИЯ К ТЕКСТУ

¹ В общем случае под термином ДС, предложенным Пригожиным, иногда подразумевают не только пространственно-неоднородные состояния, но и однородные автоколебания, которые могут спонтанно возникать в распределенных средах [3, 10, 16]. Изучение различного рода автоколебаний [26], в том числе и стохастических [27—

29], представляет собой самостоятельную проблему, которая в данном обзоре не обсуждается.

² В общем смысле самоорганизация представляет собой изменение характера упорядоченности неравновесной системы при изменении уровня ее возбуждения. По этой причине процессы самоорганизации называют также неравновесными, или кинетическими фазовыми переходами [3—6]. Критерии степени упорядоченности в процессах самоорганизации предложены Климонтовичем [30]. Как правило, ДС представляет собой макроскопически неоднородное состояние, поэтому их можно рассматривать и как несоразмерные фазовые переходы в неравновесных системах. Вопросы аналогии и отличия равновесных и неравновесных фазовых переходов, критические явления вблизи неравновесных фазовых переходов, а также обсуждение статистических подходов к анализу явлений самоорганизации представляют собой самостоятельную проблему, которая в данном обзоре не затрагивается.

³ Поэтому в англоязычной литературе такие среды также называются Activator — Inhibitor Systems. В системах, в которых процесс ингибирования отсутствует, неустойчивость приводит либо к неограниченному нарастанию активатора в некоторой области системы, или же к скачкообразному переходу системы из одного однородного состояния в другое. Первый из этих процессов реализуется, например, при пробое диэлектрика или при очаговом взрыве [20]. Теория такого нестационарного процесса (режима с обострением) изложена в [42]. Второй — реализуется, например, в полупроводниках, газах и других системах с S-образной вольт-амперной характеристикой (ВАХ). При наличии внешней цепи падение напряжения на структуре играет роль однородно меняющегося ингибитора, поэтому в системах с S-образной ВАХ образуется одиночный шнур [21—24], представляющий собой простейшую ДС.

⁴ Условия неустойчивости трехкомпонентных активных систем обсуждаются в [114, 8, 17].

⁵ При нейтральных граничных условиях в одномерных системах размера \mathcal{L} величина $k = k_m = \pi m / \mathcal{L}$, где $m = 0, 1, \dots$. Поэтому расслоение реализуется относительно флуктуаций с волновым числом $k = k_{m_0}$, значение которого близко к величине k_0 , определяемой (1.9) [3]. Однако дискретный характер значений k практически не проявляется в излагаемой ниже картине самоорганизации в распределенных системах размера $\mathcal{L} \gg k_0^{-1}$.

⁶ Выражения (1.11)—(1.13) представлены в виде, при котором длины l и L практически не зависят от управляющего параметра A , т. е. являются характерными длинами изменения активатора и ингибитора.

⁷ Учет отличия параметров электронов и дырок по существу приведет к простой перенормировке коэффициентов (коэффициент диффузии электронов заменяется на коэффициент биполярной диффузии и т. п.) [75, 76].

⁸ Приведенное условие расслоения является гораздо более мягким, чем условие перегретной неустойчивости в монополярных полупроводниках: $\alpha + s > 1$ [21]. Это связано с тем, что в ЭДП, благодаря подвижности не только электронов, но и дырок, могут образовываться неоднородные квазинейтральные распределения концентрации носителей.

⁹ В некоторой области устойчивости однородного состояния Ω -систем в них внешним кратковременным возмущением можно возбудить бегущие автосолитоны и другие более сложного вида автоволны, свойства которых рассматриваются во многих работах (см., например [7, 8, 10—11, 17, 121—124]).

¹⁰ Этот вывод по существу вытекает и из теории шнуров тока и доменов поля в полупроводниках с S- и N-образной ВАХ. Действительно, расслоение однородного состояния полупроводника реализуется относительно наиболее длинноволновой моды с $k = \pi / \mathcal{L}$ (\mathcal{L} — размер системы), а образующее устойчивое состояние (шнур или домен) представляет собой ступеньку, переходная область которой имеет размер $l \ll \mathcal{L}$ [21—24]. В формировании такой ступеньки участвуют все моды, включая и самую коротковолновую с $k = \pi / l$, которая в критической точке является сильно затухающей.

¹¹ В некоторых системах состояния в виде устойчивых страт не реализуются и при расслоении однородного состояния может возникать турбулентность (разд. 9).

¹² Одному значению \mathcal{L}_{\max} может отвечать несколько значений A , т. е. зависимость $\mathcal{L}_{\max}(A)$, в принципе, может иметь несколько минимумов (штриховая кривая на рис. 8, а). Это замечание относится ко всем кривым, изображенным на рис. 8.

¹³ Появление вблизи неоднородности при $A \rightarrow A_c$ осциллирующего распределения $\theta(x)$ и $\eta(x)$ [143] по существу следует из вида функции пространственной корреляции флуктуаций вблизи точки расслоения ($A = A_c$), проанализированного Нитзаном, Ортолевой, Детчем и Россом [144], а также из вида гриновской функции рассматриваемой неоднородной задачи при $A \rightarrow A_c$ [145].

¹⁴ С процессом самопроизводства электронов, обусловленным возрастающей зависимостью скорости ударной ионизации электронов ν_i от их концентрации n , связано и образование страт в газовом разряде [14]. Однако в этом случае в отличие от систем, рассматриваемых в данном разделе, процессы активации и ингибирования протекают в одном и том же объеме газоразрядной трубки.

¹⁵ В транзисторах из-за наличия специального базового электрода обычно выполняется условие $L \gg \mathcal{L}$ (\mathcal{L} — линейный размер структуры), когда образуется лишь одиночное «горячее пятно». Впервые «горячие пятна» экспериментально обнаружены в [152], а затем качественно объяснены в [153, 154]. Нелинейная теория «горячих пятен» в транзисторах развита в работе [151], в которой, в частности, показано, что при шнуровании тока ВАХ транзистора может иметь N-образный вид (рис. 23, в).

¹⁶ ДС могут возникать и в бистабильных сэндвич структурах, ВАХ которых, несмотря на наличие области ингибирования, остается S-образной. Особенности явлений самоорганизации для таких бистабильных структур рассмотрены в разд. 6.

¹⁷ Структуры со «скрытой» S-образной ВАХ исследуются также в качестве электронных моделей нейристоров (см., например [156—158]), в которых можно возбудить бегущие АС. Такие структуры по своим параметрам отвечают Ω -системам (п. 1.3).

¹⁸ Картина эволюции ДС может заметно измениться, если внешняя цепь имеет сложный импеданс [80].

¹⁹ В уравнениях типа (1.1), (1.2) появляются слагаемые, пропорциональные $\nabla\theta$, $\nabla\eta$ (см., например [14, 46]).

²⁰ Это утверждение справедливо для горячих страт (рис. 9, а), ширина которых $\mathcal{L}_s < \mathcal{L}_p/2$. В противоположном случае, т. е. для холодных страт (рис. 9, д), наиболее опасной является флуктуация $\delta\theta^{(0)} = \delta\theta^{(0)}_{N/2,1}$. Эта флуктуация описывает увеличение ширины «холодной» области в одной страте и сужение «холодной» области в соседней страте. Другими словами, нарастание такой флуктуации приводит к «перекачке» активатора между холодными стратами.

СПИСОК ЛИТЕРАТУРЫ

- [1] Ландау Л. Д., Лифшиц Е. М. Гидродинамика.— М.: Наука, 1986.
2. а) Джозеф Д. Устойчивость движений жидкости.— М.: Мир., 1981.
б) Гершуни Г. З., Жуховицкий Е. М., Непомнящий А. А. Устойчивость конвективных течений.— М.: Наука, 1989.
3. Николис Г., Пригожий И. Самоорганизация в неравновесных системах.— М.: Мир, 1979.
4. Эбелинг В. Образование структур при необратимых процессах.— М.: Мир, 1979.
5. Хакен Г. Синергетика.— М.: Мир, 1980.
6. Хакен Г. Синергетика: Иерархии неустойчивостей в самоорганизующихся системах и устройствах.— М.: Мир, 1985.
7. а) Wiener N., Rosenblueth A.//Arch. Inct. Cardiol. Mech. 1946. V. 16. P. 205.
б) Полак Л. С., Михайлов А. С. Самоорганизация в неравновесных физико-химических системах.— М.: Наука, 1983.
8. а) Васильев В. А., Романовский Ю. М., Яхно В. Г.//УФН. 1979. Т. 128. С. 625.
б) Васильев В. А., Романовский Ю. М., Яхно В. Г. Автоволновые процессы.— М.: Наука, 1987.
9. Гапонов-Грегов А. В., Рабинович М. И.//Нелинейные волны: Структуры и бифуркации.— М.: Наука, 1987.— С. 7.
10. Жаботинский А. М. Концентрационные колебания.— М.: Наука, 1974.
- [11] а) Романовский Ю. М., Степанова Н. В., Чернавский Д. С. Математическое моделирование в биофизике.— М.: Наука, 1975.
б) Романовский Ю. М., Степанова Н. В., Чернавский Д. С. Математическая биофизика.— М.: Наука, 1984.
12. Белинцев Б. Н.//УФН. 1983. Т. 141. С. 55.
13. Sivashinsky G. I.//Ann. Rev. Fluid. Mech. 1983. V. 15. P. 179.
14. а) Недоспасов А. В.//УФН. 1968. Т. 94. С. 439.
Недоспасов А. В., Хаит В. Д. Колебания и неустойчивости низкотемпературной плазмы.— М.: Наука, 1979.
б) Пекарек Л.//УФН. 1968. Т. 94. С. 463.
15. Кадомцев Б. Б.//[91.— С. 45.
16. Колебания и бегущие волны в химических системах.— М.: Мир, 1988.
17. Vasilev V. A., Romanovskii Yu. M., Chernavskii D. S., Yakhno V. G. Autowave Processes in Kinetic Systems.— Berlin: Veb Deutscher Verlag der Wissenschaften; Dordrecht; Boston; Lancaster; Tokyo: D. Reidel, 1987.
18. Ланда П. С. Автоколебания в распределенных системах.— М.: Наука, 1983.
19. Гуревич А. В., Миц Р. Г. Тепловые автоволны в нормальных металлах и сверхпроводниках.— М.: ИВТ АН СССР, 1987.
20. Мержанов А. Г., Риманов Э. Н.//УФН. 1987. Т. 151. С. 554.
- 21] Волков А. В., Коган. Ш. М.//УФН. 1968. Т. 96. С. 633.
22. Осипов В. В., Холодное В. А. //Микроэлектроника. 1973. Т. 2. С. 529.
23. Бонч-Бруевич В. Л., Звягин И. П., Миронов А. Г. Доменная электрическая неустойчивость в полупроводниках.— М.: Наука, 1972.
24. Scholl E. Nonequilibrium Phase Transitions in Semiconductors.— Berlin; Heidelberg, New York; London; Paris; Tokyo: Springer-Verlag, 1987—(Springer Series in Synergetics. V. 35).

25. Кернер Б. С., Осипов В. В.//УФН. 1989. Т. 157. С. 201.
26. Андронов А. А., Витт А. А., Хайкин С. Э. Теория колебаний.— М.: Физматгиз, 1959.
27. Гапонов-Грехов А. В., Рабинович М. И.//УФН. 1979. Т. 28. С. 579.
28. Рабинович М. И., Трубецков Д. М. Введение в теорию колебаний и волн.— М.: М.: Наука, 1984.
29. Заславский Г. И., Сагдеев Р. З. Введение в нелинейную физику.— М.: Наука, 1988.
30. Климонтович Ю. Л.//УФН. 1989. Т. 158. С. 58.
- [31] а) Кернер Б. С., Синкевич В. Ф.//Письма ЖЭТФ. 1982. Т. 36. С. 359.
 б) Кернер Б. С., Осипов В. В., Романко М. Т., Синкевич В. Ф.//Ibidem. 1986. Т. 44. С. 77.
- Ващенко В. А., Кернер Б. С., Осипов В. В., Синкевич В. Ф.//ФТП. 1989. Т. 23. С. 1378.
32. Mayer K. M., Parisi J., Huebener R. P.//Zs. Phys. Kl. B. 1988. Bd. 71. S. 171.
33. а) Jäger D., Baumann H., Sytańczyk R.//Phys. Lett. Ser. A. 1986. V. 117. P. 141.
 б) Горбатюк А. В., Линийчук И. А., Свириг А. В.//Письма ЖТФ. 1989. Т. 15. С. 42
34. Кернер Б. С., Литвин Д. П., Санкин В. И.//Ibidem. 1987. Т. 13. С. 819.
35. Ващенко В. А., Кернер Б. С., Осипов В. В., Синкевич В. Ф.//ФТП. 1990. Т. 24. № 10.
36. Radehaus C. R., Dirksmeyer T., Witlebrand H., Purwins H.-G.//Phys. Lett. Ser. A. 1987. V. 125. P. 92.
37. Абрамов В. П., Кленов С. Л.//Радиотехн. и электрон. 1989. Т. 34. С. 652.
38. Akhmetov A. A., Baev V. P.//Cryogenics. 1984. V. 24. P. 67.
- Keilin V. E., Kruglov S. L.//Ibidem. P. 525.
39. Langer J. S.//Rev. Mod. Phys. 1980. V. 52. P. 1.
 Wollkind D. J., Sriranganathan R., Oulton D. B.//Physica. Ser. D. 1984. V. 12. P. 215.
- McFadden G. B., Coriell S. R.//Ibidem. P. 253.
40. Барелко В. В., Бейбутия В. М., Володин Ю. Е., Зельдович Я. Б.//Автоволновые процессы в системах с диффузией.— Горький: ИПФ АН СССР, 1981.— С. 135.
- [41] а) Ахманов С. А., Воронцов М. А.//Нелинейные волны: Динамика и эволюция.— М.: Наука, 1989.— С. 228.
 б) Ахманов С. А., Воронцов М. А., Иванов В. Ю.//Новые физические принципы оптической обработки информации.— М.: Наука, 1989.— Гл. 6.
42. Самарский А. А., Галактионов В. А., Курдюмов С. П., Михайлов А. П. Режимы с обострением в задачах для квазилинейных параболических уравнений.— М.: Наука, 1987.
43. Зельдович Я. Б. Теория горения и детонации газов.— М.; Л.: Изд-во АН СССР, 1944; Избранные труды: Химическая физика и гидродинамика.— М.: Наука, 1984.— С. 165.
44. Turing A. M.//Phil. Trans. Roy. Soc. Ser. B. 1952. V. 237. P. 37.
45. Кернер Б. С., Осипов В. В.//Радиотехн. и электрон. 1982. Т. 27. С. 2415.
46. Кернер Б. С., Осипов В. В.//а) ДАН СССР. 1981. Т. 257. С. 1352; б) Радиотехн. и электрон. 1983. Т. 28. С. 132.
47. Кернер Б. С., Осипов В. В.//ЖЭТФ. 1976. Т. 71. С. 1542.
48. Кернер Б. С., Осипов В. В.//ФТП. 1979. Т. 13. С. 891.
49. Кернер Б. С., Осипов В. В.//ФТТ. 1979. Т. 21. С. 2342.
50. Гафийчук В. В., Кернер Б. С., Осипов В. В.//а) ФТТ. 1981. Т. 23. С. 2305; б) ФТП. 1981. Т. 15. С. 2171; в) 1985. Т. 19. С. 1871.
- [51] Кернер Б. С., Осипов В. В.//[41a].— С. 127; перевод: Kerner B. S., Osipov V. V.//Nonlinear Waves. 1: Dynamics and Evolution,— Berlin a. o.: Springer-Verlag, 1989.— Р. 126.
52. Кернер Б. С., Осипов В. В.//Письма ЖЭТФ. 1973. Т. 18. С. 122; Микроэлектроника. 1974. Т. 3. С. 9.
53. Балкарей Ю. И., Никулин М. Г.//ФТП. 1976. Т. 10. С. 1455, 2039.
54. Балкарей Ю. И., Елинсон М. И.//Микроэлектроника. 1979. Т. 8. С. 428.
55. Балкарей Ю. И., Евтихов М. Г., Елинсон М. И.//Микроэлектроника. 1985. Т. 14. С. 67.
56. Балкарей Ю. И., Никулин М. Г., Елинсон М. И.//[40].— С. 117.
57. Purwins H.-G., Radehaus Ch., Berkemeier J.//Zs. Naturforsch. 1988. Bd. 43a. S. 17.
58. Kardell K., Radehaus Ch., Dokrnen R., Purwins H.-G.//J. Appl. Phys. 1988. V. 64. P. 6336.
59. Nitzan A., Ross J.//J. Chem. Phys. 1973. V. 59. P. 241.
60. Nitzan A., Ortoleva P., Ross J.//Ibidem. 1974. V. 60. P. 3134.
- [61] Бункин Ф. В., Кириченко Н. А., Лукьянчик Б. С., Морозов Ю. Ю.//КЭ. 1983. Т. 10. С. 2136.
32. Поляков С. В., Яхно В. Г. //Физ плазмы. 1980. Т. 6. С. 383.
63. Kuramoto Y., Tsuzuki T. //Prog. Theor. Phys. 1975. V. 54. P. 687; 1976. V. 55. P. 356

64. Nitzan A., Ortoleva P.//Phys. Rev. Ser. A. 1980. V. 21. P. 1735.
65. Newell A. C., Whitehead J. A.//J. Fluid Mech. 1969. V. 38. P. 279.
66. Segel L. A.//J. Fluid Mech. 1969. V. 38. P. 203.
67. Siggia E. D., Zippelius A.//Phys. Rev. Ser. A. 1981. V. 26. P. 1036.
68. Swift L., Hohenberg R. S.//Ibidem. 1977. V. 15. P. 319.
69. Gertsberg V. S., Sivashinsky G. I.//Progr. Theor. Phys. 1981. V. 66. P. 1219.
70. Malomed B. A.//Zs. Phys. 1984. Bd. 55. S. 241.
- [71] Маломед Б. А.//[9].— С. 251.
72. Гапонов-Грехов А. В., Ломов А. С., Осипов Г. В., Рабинович М. И.//[41 а].— С. 61.
73. Ахромеева Т. С., Курдюмов С. П., Малинецкий Г. Г., Самарский А. А.//Итоги науки и техники. Сер. «Современные проблемы математики. Новейшие достижения».—М.: ВИНТИ АН СССР. 1987.—Т. 28. С. 207.
74. Рабинович М. И., Сущик М. М.//УФН. 1990. Т. 160. С. 3.
75. Кернер Б. С., Осипов В. В.//ЖЭТФ. 1978. Т. 74. С. 1675.
76. Кернер Б. С., Осипов В. В.//ФТП. 1979. Т. 13. С. 721.
77. Кернер Б. С., Осипов В. В.//ЖЭТФ. 1980. Т. 79. С. 2218.
78. Кернер Б. С., Осипов В. В.//ДАН СССР. 1982. Т. 264. С. 1366.
79. Кернер Б. С., Осипов В. В.//Микроэлектроника. 1985. Т. 14. С. 389.
80. Кернер Б. С., Осипов В. В.//ЖЭТФ. 1982. Т. 83. С. 2201.
- [81] Кернер Б. С., Осипов В. В.//ДАН СССР. 1983. Т. 270. С. 1104.
82. Васынюк З. И., Гафийчук В. В., Кернер Б. С., Осипов В. В.//ФТТ. 1989. Т. 31. С. 66.
83. Gafijchuk V. V., Kerner B. S., Osipov V. V., Vasyunyk Z.I.//Proc. of the IVth Intern. Workshop in Nonlinear and Turbulent Processes in Physics.—Kiev: Naukova Dumka, 1989.—V. 1. P. 107; Noise in Physical Systems: Proc. of the Xth Intern. Conference.—Budapest, 1990.—P. 609.
84. Винославский М. Н.//ФТТ. 1989. Т. 31. С. 315.
Vinoslavskil M. N., Kerner B. S., Osipov V. V., Sarbej O. G.//J. Phys.—Condensed Matter. 1990. V. 2. P. 686.
85. Астров Ю. А. Генерация автосолиитонов при двойной инжекции в высокоомный полупроводник.—Препринт ФТИ АН СССР.—Ленинград, 1990.
86. Berkemeier J., Dirksmeyer T., Klempt G., Purwins H.-G.//Zs. Phys. Kl. B. 1986. Bd. 65. S. 255.
Purwins H.-G., Klempt G., Berkemeier J.//Festkörperprobleme. 1987. Bd. 27. S. 27.
87. а) Purwins H.-G., Radehaus Ch.//Neural and Synergetic Computers. Springer Series in Synergetics.—Berlin a. o.: Springer-Verlag. 1988.—V. 42. P. 137.
б) Purwins H.-G., Radehaus Ch., Dirksmeyer T., Dohmen R., Schmeling R., Willsbrand H.//Phys. Lett. Ser. A. 1989. V. 136. P. 480.
88. Koga S., Kuramoto Y. I.//Prog. Theor. Phys. 1980. V. 63. P. 106.
89. Chernavskii D. S., Ruijgrok Th. W.//Biosystems. 1982. V. 15. P. 75.
90. Кернер Б. С., Кузнецова Е. М., Осипов В. В.//ДАН СССР. 1984. Т. 277. С. 1114.
- [91] Кернер Б. С., Кузнецова Е. М., Осипов В. В.//Микроэлектроника. 1984. Т. 13. С. 407–456.
92. Gierer A., Meinhardt H.//Kyberaetik. 1972. Bd. 12. S. 30.
93. Meinhardt H., Gierer A.//J. Cell. Sci. 1974. V. 15. P. 321.
Meinhardt H.//Ibidem. 1977. V. 23. P. 117.
Gierer A.//Naturwissenschaften. 1981. Bd. 68. S. 245.
94. Балкарей Ю. И., Евтихов М. Г., Елинсон М. И.//Микроэлектроника. 1979. Т. 8. С. 493; 1980. Т. 9. С. 141, 144; 1981. Т. 10. С. 78.
95. Балкарей Ю. И., Евтихов М. Г., Елинсон М. И.//Микроэлектроника. 1982. Т. П. С. 25; 1984. Т. 12. С. 65, 171.
96. Еленин Г. Г., Крылов В. В., Полежаев А. А., Чернавский Д. С.//ДАН СССР. 1983. Т. 271. С. 84.
97. Ахметов А. А., Миц Р. Г.//Письма ЖТФ. 1983. Т. 9. С. 1306.
98. Дубицкий А. Л., Кернер Б. С., Осипов В. В.//ФТП. 1986. Т. 20. С. 1195.
99. Дубицкий А. Л., Кернер Б. С., Осипов В. В.//ФТТ. 1986. Т. 28. С. 1280.
100. Гафийчук В. В., Кернер Б. С., Осипов В. В., Южанин А. Г.//Письма ЖТФ. 1987. Т. 13. С. 1299.
- [101] Гафийчук В. В., Гашпар В. Э., Кернер Б. С., Осипов В. В.//ФТП. 1988. Т. 22. С. 1836.
102. Гафийчук В. В., Кернер Б. С., Лазурчак И. И., Осипов В. В.//Микроэлектроника. а) 1986. Т. 15. С. 180; б) 1990. Т. 19. В. 6.
103. Осипов В. В., Лазурчак И. И., Гафийчук В. В., Кернер Б. С.//Микроэлектроника. 1987. Т. 16. С. 23.
104. Гафийчук В. В., Кернер Б. С., Осипов В. В., Южанин А. Г.//ФТП. 1988. Т. 22. С. 2051.
105. Балкарей Ю. И., Евтихов М. Г., Елинсон М. И.//ЖТФ. 1987. Т. 57. С. 209; Микроэлектроника. 1988. Т. 17. С. 313.
106. Балкарей Ю. И., Григорьянц А. В., Ржаное Ю. А.//КЭ. 1987. Т. 14. С. 128.
107. Розанов Н. Н., Ходова Г. В.//Опт. и спектр. 1988. Т. 65. С. 761.
Rosanov N. N., Khodova G. V.//J. Opt. Soc. Am. Ser. B. 1990. V. 7. № 6.

108. Еленин Г. Г., Лысак Т. М.//Мат. моделирование. 1989. Т. I. № 9. С. 92.
109. Гафийчук В. В., Кернер Б. С., Осипов В. В., Южанин А. Г. Статистические авто-солитоны и диссипативные структуры в разогретой электронно-дырочной плазме: — Препринт ИППММАН УССР.— Львов. 1988.
110. Гафийчук В. В., Кернер Б. С., Осипов В. В., Южанин А. Г.//ЖТФ. 1990. Т. 60. С. 8.
- [111] Гафийчук В. В., Кернер Б. С., Осипов В. В., Тыслук И. В.//ФТТ. 1989. Т. 31. С. 46.
112. Гафийчук В. В., Дацко Б. И., Кернер Б. С., Осипов В. В.//ФТП. 1990. Т. 24. С. 724.
113. Гафийчук В. В., Дацко Б. И., Кернер Б. С., Осипов В. В.//Ibidem. Вып. 7.
114. Васильев В. А.//Термодинамика биологических процессов.— М.: Наука. 1976— С. 198.
115. Kerner B. S., Krinskii V. I., Osipov V. V.//Thermodynamics and Pattern Formation in Biology.— Berlin; New York: Walter de Gruyter, 1988.— P. 265.
116. Таланов В. И.//ДАН СССР. 1981. Т. 258. С. 604.
117. Гуревич А. В., Шварцбург А. Б. Нелинейная теория распространения радиоволн в ионосфере.— М.: Наука, 1973.
118. Голант В. Е., Жилинский А. П., Сахаров С. А. Основы физики плазмы.— М.: Атомиздат, 1977.
119. Басс Ф. Г., Гуревич Ю. Г. Горячие электроны и сильные электромагнитные волны в плазме полупроводников и газового разряда.— М.: Наука, 1975.
120. Kerner B. S., Osipov V. V.//Selforganization by Nonlinear Irreversible Process. Springer Series in Synergetics.— Berlin a. o.: Springer-Verlag, 1986.—V. 33. P. 118.
- [121] а) Hodgkin A. L., Huxley A. F.//J. Physiol. 1952. V. 116. P. 449.
Noble D.//Ibidem. 1962. V. 160. P. 317.
б) Fitz-Hugh R.//Biophys. J. 1961. V. 1. P. 445; 1962. V. 2. P. 11; Biological Engineering/Ed. H. P. Schwan.— New York: McGraw-Hill, 1969.— P. 1.
Nagumo I., Arimoto S., Yoshizawa S.//Proc. IRE, 1962. V. 50. P. 2061. Rinzel J.//Keller J. .//Biophys. 1973. V. 13. P. 1313.
122. а) Скотт А. Волны в активных и нелинейных средах в приложении к электронике.— М.: Сов. радио, 1977.
Островский Л. А., Яхно В. Г.//Биофизика. 1975. Т. 20. С. 489.
б) Casten R. G., Cohen H., Lagerstrom P. A.//Quart. Appl. Math. 1975. V. 32. P. 365.
123. Winfree A. T.//Sci. Amer. 1974. V. 230. P. 82.; The Geometry of Biological Time.— New York; Berlin; Heidelberg: Springer-Verlag, 1980.
Кринский В. И., Агладзе К. И.//ДАН СССР. 1982. Т. 263. С. 335.
Nature, London. 1982. V. 296. P. 424.
Перцов А. М., Панфилов А. .//[40].— С. 77.
124. Зыков В. С. Моделирование волновых процессов в возбудимых средах.— М.: Наука, 1984.
Давыдов В. А., Михайлов А. С.//[9].— С. 261.
125. Фролов А. А., Муравьев И. П. Нейтронные модели ассоциативной памяти.— М.: Наука, 1987.
126. Веденов А. А. Моделирование элементов мышления.— М.: Наука, 1988.
127. Дубинин Ф. Т. Оптоэлектронные модели однородных сред.— М.: Радио и связь, 1984.
128. Abraham R.//Lecture Notes in Mathematics.— Berlin: Springer-Verlag, 1976.— V. 525. P. 10.
129. Ferraro G., Hausler G.//Opt. Eng. 1980. V. 19. P. 422.
130. Crutchedfield J. P.//Phisica. Ser. D. 1984. V. 10. P. 229.
- [131] Мастеров А. В., Толков В. Н., Яхно В. Г.//[41a].— С. 166.
132. Мастеров А. В., Рабинович М. И., Толков В. Н., Яхно В. Г.//Коллективная динамика возбуждений и структурообразование в биологических тканях.— Горький: ИПФ АН СССР, 1988.— С. 89.
133. Мастеров А. В., Яхно В. Г.//[132].— С. 198.
134. Nicolis G., Auchmuty J. F. G.//Proc. Nat. Acad. Sci. 1974. V. 71. P. 2748.
135. Гафийчук В. В. Автореферат кандидатской диссертации... канд. физ.-мат. наук.— М.: МФТИ, 1982.
136. Malomed B. A., Perotnyashchy A. A.//[83].— V. 2. P. 291.
137. Петвиашвили В. И., Сергеев А. М.//ДАН СССР. 1984. Т. 276. С. 1380.
138. Кернер Б. С.//Микроэлектроника. 1976. Т. 5. С. 257.
139. Дубицкий А. Л., Кернер Б. С., Осипов В. В.//ДАН СССР. 1989. Т. 308. С. 857.
140. Кернер Б. С., Осипов В. В.//Письма ЖЭТФ. 1985. Т. 41. С. 386.
- [141] Кернер Б. С., Осипов В. В.//ДАН СССР. 1987. Т. 292. С. 82.
142. Гуревич А. В., Миц Р. Г., Рахманов А. Л. Физика композитных сверхпроводников.— М.: Наука, 1987.
143. Кернер Б. С., Осипов В. В., Шнейдер М. Н.//Радиотехн. и электрон. 1987. Т. 32. С. 1909.

144. Nitzan A., Ortoleva P., Deutch J., Ross J.//J. Chem. Phys. 1974. V. 61. P. 1056.
145. Балкарей Ю. И., Сандомирский В. В.//ФТП. 1979. Т. 13. С. 1006.
146. Зайцев А. А., Джерпетов Х. А.//ЖЭТФ. 1953. Т. 24. С. 516.
147. Кернер Б. С., Осипов В. //Биофизика. 1982. Т. 27. С. 137.
148. Балкарей Ю. И., Никулин М. Г.//ФТП. 1978. Т. 12. С. 347.
149. Кернер Б. С., Осипов В. В.//ЖЭТФ. 1985. Т. 89. С. 589.
150. Radehaus Ch., Kordell K., Baumann H., Jäger D., Purwins H.-G.//Zs. Phys. Kl. B. 1987. Bd. 67. S. 515.
[151] Кернер Б. С., Осипов В. В.//Микроэлектроника. 1977. Т. 6. С. 337.
152. Thronton C. G., Simmons C. D.//IEEE Trans. on Electron. Dev. 1958. V. ED-5. P. 6.
153. Bergman F., Gertsner D.//Arch. Electr. Ubertzagung. 1963. Bd. 17. P. 467.
154. Scarlett R. M., Shockley W.//IEEE Intern. Conv. Rec. 1963. Pt. 3. P. 3.
155. Нечаев А. М., Рубаха Е. А., Синкевич В. Ф.//Обзоры по электронной технике.— М.: ЦНИИ «Электроника», 1978.— Сер. 2. В. 10.
156. Крейн Г. Д.//ТИРИ. 1962. Т. 50. С. 2081.
157. Комаровских К. Ф., Мурыгин В. Н., Осипов В. В., Стафеев В. И.//Электронная техника. Сер. 6. «Микроэлектроника». 1967. № 3. С. 11.
158. Стафеев В. И., Комаровских К. Ф., Фурсин Г. И. Нейристорные и другие функциональные схемы с обратной связью.— М.: Радио и связь, 1981.
159. Беркович С. Я.//Радиотехника и электроника. 1966. Т. 11. С. 353.
160. Кернер Б. С., Осипов В. В.//Микроэлектроника. 1981. Т. 10. С. 407.
[161] Ross D. W.//Phys. Rev. 1966. V. 146. P. 176.
162. Blötekjar K., Weissglas P.//J. Appl. Phys. 1968. V. 39. P. 1645.
163. Гантмахер В. Ф., Левинсон И. Б. Рассеяние носителей тока в металлах и полупроводниках.— М.: Наука. 1984.
164. Кернер Б. С., Козлов Н. А., Нечаев А. М., Синкевич В. Ф.//Микроэлектроника. 1983. Т. 12. С. 217; ФТП. 1983. Т. 17. С. 1931.
165. Гафийчук В. В.//ФТТ. 1984. Т. 26. С. 2230.
166. Celler G. K., Robinson Mc. D., Trimble L. E., Lischner D. J.//Appl. Phys. Lett. 1983. V. 43. P. 868.
167. Allmen M., Von. Lüthy W., Affolter K.//Ibidem. 1978. V. 33. P. 824.
168. Кияк С. Г., Бончик А. Ю., Гафийчук В. В., Южанин А. Г., Тысялюк И. В.//Изв. АН СССР. Сер. физ. 1988. Т. 52. С. 1883.
169. Sterword A. B.//J. Appl. Phys. 1956. V. 27. P. 911.
170. Дубицкий А. Л., Кернер Б. С., Осипов В. В.//Тезисы докладов Всесоюзной конференции «Физические и физико-химические основы микроэлектроники».— Вильнюс, 1987.— С. 431.
[171] Клярфельд Б. Я.//ЖЭТФ. 1952. Т. 22. С. 66.
172. Кернер Б. С., Осипов В. //Микроэлектроника. 1983. Т. 12. С. 512.
173. Васильева А. Б., Бутузов В. Ф. Асимптотические разложения решений сингулярных уравнений.— М.: Наука, 1973.
174. Марри Дж. Нелинейные дифференциальные уравнения в биологии. Лекции о моделях.— М.: Мир. 1982.
175. Найфе А. Введение в методы возмущений.— М.: Мир. 1984.
176. Ortoleva P., Ross I.//J. Chem. Phys. 1975. V. 63. P. 3398.
177. Fife P. C.//Ibidem. 1976. V. 64. P. 554.
178. Корн Г., Корн Т. Справочник по математике.— М.: Наука. 1973.
179. Ансельм А. И. Введение в теорию полупроводников.— М.: Наука. 1978.